

ความสัมพันธ์ของไซโตไคโนกับตัวชี้วัดทางคลินิกภายในห้องการผ่าตัดเปลี่ยนข้อเข่าเทียมและ  
ความหลากหลายทางพันธุกรรมของอินเตอร์ลิวโคโนหกในผู้ป่วยข้อเข่าเสื่อม

นางสาวเบญจมาศ ดีไพรดาลสกุล

# สถาบันวิทยบริการ จุฬาลงกรณ์มหาวิทยาลัย

วิทยานิพนธ์นี้เป็นส่วนหนึ่งของการศึกษาตามหลักสูตรปริญญาวิทยาศาสตร์รวม habilitat

สาขาวิทยาศาสตร์รากฐานแพทย์

คณะแพทยศาสตร์ จุฬาลงกรณ์มหาวิทยาลัย

ปีการศึกษา 2551

ลิขสิทธิ์ของจุฬาลงกรณ์มหาวิทยาลัย

INFLAMMATORY CYTOKINES IN RELATION TO CLINICAL OUTCOMES FOLLOWING  
TOTAL KNEE ARthroPLASTY AND INTERLEUKIN-6 GENE POLYMORPHISM OF  
KNEE OSTEOARTHRITIS

Miss Benjamad Deepaisarnsakul

สถาบันวิทยบริการ

A Thesis Submitted in Partial Fulfillment of the Requirements  
for the Degree of Master of Science Program in Medical Science

Faculty of Medicine

Chulalongkorn University

Academic Year 2008

Copyright of Chulalongkorn University

หัวขอวิทยานิพนธ์

โดย

สาขาวิชา

อาจารย์ที่ปรึกษาวิทยานิพนธ์หลัก

อาจารย์ที่ปรึกษาวิทยานิพนธ์ร่วม

ความสัมพันธ์ของไฮโดรคอร์กับตัวชี้วัดทางคลินิกภายนอก  
การผ่าตัดเปลี่ยนหัวเข้าเทียมและความหลากหลายทาง  
พันธุกรรมของอินเตอร์ลิวินหกในผู้ป่วยหัวเข้าเฉื่อม

นางสาวเบญจมาศ ดีไพบูลย์  
วิทยาศาสตร์การแพทย์  
ผู้ช่วยศาสตราจารย์ นายแพทย์สิทธิศักดิ์ ธรรมชาติ  
รองศาสตราจารย์ นายแพทย์อธี ตนวงศ์

คณะกรรมการคุณภาพสากล อนุมัติให้นับวิทยานิพนธ์ฉบับนี้เป็นส่วน  
หนึ่งของการศึกษาตามหลักสูตรปริญญามหาบัณฑิต

..... ลงชื่อ ..... คณบดีคณะแพทยศาสตร์

(ศาสตราจารย์ นายแพทย์อดิศร ภัทรคุณย์)

คณะกรรมการสอบวิทยานิพนธ์

..... ประชานกรรมการ

(รองศาสตราจารย์ 医師 หงษ์วนิช ชินเนศ)

..... ลงชื่อ ..... อาจารย์ที่ปรึกษาวิทยานิพนธ์หลัก

(ผู้ช่วยศาสตราจารย์ นายแพทย์สิทธิศักดิ์ ธรรมชาติ)

..... ลงชื่อ ..... อาจารย์ที่ปรึกษาวิทยานิพนธ์ร่วม

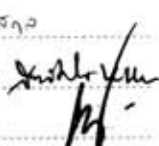
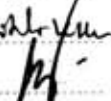
(รองศาสตราจารย์ นายแพทย์อธี ตนวงศ์)

..... ลงชื่อ ..... กรรมการภายนอกมหาวิทยาลัย

(รองศาสตราจารย์ ดร. กอบเชิญ สดิรกุล)

เมญจน์มาศ ดีไพบูลย์สกุล : ความสัมพันธ์ของไขโตไนกับตัวชี้วัดทางคลินิกภายหลังการผ่าตัดเปลี่ยนข้อเข่าเทียมและความหลากหลายทางพันธุกรรมของอินเตอร์เลิคินในผู้ป่วยข้อเข่าเสื่อม. (Inflammatory Cytokines in Relation to Clinical Outcomes Following Total Knee Arthroplasty and Interleukin-6 Gene Polymorphism of Knee Osteoarthritis) อ.ที่ปรึกษาวิทยานิพนธ์หลัก: ผศ. นพ. สิงห์ศักดิ์ ธรรมชาติ, อ.ที่ปรึกษาวิทยานิพนธ์ร่วม: รศ. นพ. อาทิตย์ ธนาวัฒน์, 96หน้า.

การผ่าตัดเปลี่ยนข้อเข่าเทียม เป็นวิธีการรักษาผู้ป่วยโรคข้อเข่าเสื่อมที่ได้รับความนิยมในปัจจุบัน ผู้ป่วยส่วนใหญ่เป็นผู้สูงอายุ ภาวะแทรกซ้อนภายหลังการผ่าตัดที่สำคัญคือการอักเสบติดเชื้อ ปัจจุบันตัวชี้วัดสำหรับการติดตามการอักเสบ ได้แก่ erythrocyte sedimentation rate (ESR) และ C-reactive protein (CRP) จากการศึกษาที่ผ่านมาสามารถกลุ่มไขโตไนก์ เช่น interleukin-6 (IL-6) พบว่ามีความไวและความจำเพาะในการตรวจติดตามการอักเสบได้ดีกว่าตั้งนั้นในการศึกษานี้ จึงศึกษาตัวชี้วัดที่จำเพาะต่อผู้ป่วยที่เข้ารับการผ่าตัดเปลี่ยนข้อเข่าเทียม ได้แก่ ESR, CRP, IL-6 และอุณหภูมิผิวนังบริเวณข้อเข่า จากผู้ป่วยที่เข้ารับการผ่าตัด 52 ราย จากผลการวิจัยพบว่า ระดับ ESR เพิ่มขึ้นสูงสุดในสปดาห์ที่ 2 หลังการผ่าตัด หลังจากนั้นระดับ ESR จึงมีแนวโน้มลดลงจนระดับใกล้เคียงกับระดับก่อนการผ่าตัดในสปดาห์ที่ 6 หลังการผ่าตัด สำหรับระดับ CRP และ IL-6 มีค่าเพิ่มขึ้นจนถึงระดับสูงสุดในช่วง 24 ชั่วโมงภายหลังการผ่าตัด แล้วจึงเริ่มลดลงในสปดาห์ที่ 2 หลังการผ่าตัด นอกจากนี้ผลการวัดอุณหภูมิผิวนังบริเวณข้อเข่า พบว่าข้อเข้าซ้ายที่ทำการผ่าตัดมีอุณหภูมิสูงกว่าข้างปกติอย่างมีนัยสำคัญทางสถิติ ( $p < 0.001$ ) โดยอุณหภูมิผิวนังลดลงใกล้เคียงกับข้อเข้าซ้ายปกติภายในหลังจาก 26 สปดาห์ของการผ่าตัด ทั้งนี้ จากการศึกษา SNP (single nucleotide polymorphism; SNP) IL-6 ตำแหน่ง -174 จากผู้ป่วยข้อเข่าเสื่อม 70 รายและกลุ่มควบคุม 100 ราย พนักงานจะของเจในไทยปี 3 แบบ คือ GG, GC และ CC โดยมีความถี่ในกลุ่มผู้ป่วยเป็น 53, 16 และ 1 ตามลำดับ สำหรับความถี่ในกลุ่มควบคุมเป็น 88, 12 และ 0 ตามลำดับ จากการวิเคราะห์ด้วย logistic regression พบว่า GC และเพทายูงไม่ได้เป็นปัจจัยเสี่ยงที่ทำให้เกิดโรคข้อเข่าเสื่อมอย่างมีนัยสำคัญทางสถิติ (โดยมีค่า odds ratio เท่ากับ 2.21 และ 1.71  $p = 0.06$  และ 0.15 ตามลำดับ) ตั้งนั้น IL-6 อาจนำมาใช้ในการบ่งชี้ภาวะการอักเสบภายหลังการผ่าตัดได้

สาขาวิชา วิทยาศาสตร์การแพทย์ ลายมือชื่อนิติ ๑๖๗๐๙๗ สิงห์ศักดิ์  
ปีการศึกษา ๒๕๕๑ ลายมือชื่อ อ.ที่ปรึกษาวิทยานิพนธ์หลัก   
ลายมือชื่อ อ.ที่ปรึกษาวิทยานิพนธ์ร่วม 

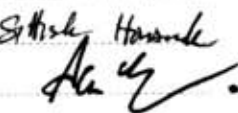
# # 5074793630 : MAJOR MEDICAL SCIENCE

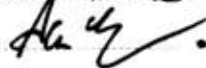
KEYWORDS : Total Knee Arthroplasty / Cytokines / Erythrocyte Sedimentation Rate / C-Reactive Protein / Single Nucleotide Polymorphism

BENJAMAD DEEPAISARNSAKUL: INFLAMMATORY CYTOKINES IN RELATION TO CLINICAL OUTCOMES FOLLOWING TOTAL KNEE ARTHROPLASTY AND INTERLEUKIN-6 GENE POLYMORPHISM OF KNEE OSTEOARTHRITIS. ADVISOR: ASST. PROF. SITTISAK HONSAWEK, PH.D., M.D.CO-ADVISOR: ASSOC.PROF. AREE TANAVALEE, M.D., 96 pp.

Total knee arthroplasty (TKA) is a well-established surgical treatment for knee osteoarthritis patients. Most of the patients are aging. The most common complications after operation that orthopedic surgeons concerns are inflammation and infection of the surgical wound. Erythrocyte sedimentation rate (ESR) and C-reactive protein (CRP) are routinely used as inflammatory markers. Previous studies have demonstrated that interleukin-6 (IL-6) had sensitivity and specificity more than ESR and CRP. The aim of this study was to determine serum IL-6 level, ESR, CRP and knee skin temperature before and after TKA. The results revealed that ESR was elevated to maximum in 2 weeks after surgery and then went slightly down to nearly preoperative level within 6 months. CRP and IL-6 levels were maximum at 24 hours after surgery and will decreased within 2 weeks. Skin temperature of operative knee differed significantly ( $p<0.001$ ) compared with that of normal knee and was nearly normal at 6 months after surgery. Additionally, single nucleotide polymorphism (SNP) of -174 IL-6 from 70 osteoarthritis patients and 100 controls expressed GG, GC and CC genotype. Frequencies of the osteoarthritis patients were 53 GG, 16 GC, 1CC and frequencies of the controls were 88 GG, 12 GC, 0 CC, respectively. Logistic regression analysis showed GC and female independence with risk knee osteoarthritis (odds ratio 2.21 and 1.71,  $p = 0.06$  and 0.15). The serum level of IL-6 could be useful to identify inflammation during the postoperative period.

Field of Study : Medical science Student's Signature Bengamad Deepaisamsakul

Academic Year : 2008 Advisor's Signature 

Co-Advisor's Signature 

## กิตติกรรมประกาศ

วิทยานิพนธ์เล่มนี้สามารถสำเร็จลุล่วงอย่างสมบูรณ์ โดยได้รับความร่วมมือจาก  
หลายฝ่าย ขอกราบขอบพระคุณ พศ. นพ. สิทธิศักดิ์ บรรษาเวก อารยที่ปรึกษาวิทยานิพนธ์ ที่  
ให้โอกาสในการศึกษาต่อระดับปริญญาโท และให้คำแนะนำ คำสั่งสอน ตลอดช่วงระยะเวลาใน  
การศึกษา และเป็นที่ปรึกษาที่ดีในการทำวิทยานิพนธ์ทั้งในเรื่องการรวบรวมข้อมูล การทดลอง  
การทำรูปเล่ม และการนำเสนอ จนสำเร็จอย่างสมบูรณ์ ขอกราบขอบพระคุณ รศ. นพ. อารี ธนาวัล  
อารยที่ปรึกษาวิทยานิพนธ์ร่วมที่ได้ให้คำปรึกษา คำแนะนำ และความอนุเคราะห์ในการคัด  
กรองตัวอย่างผู้ป่วยที่ใช้ในการวิจัยเป็นอย่างดี ขอกราบขอบพระคุณ รศ. พญ. วีไล ชินธเนศ และ<sup>๑</sup>  
รศ. ดร. กอบชัย สถิรภุล ประธานและกรรมการสอบวิทยานิพนธ์ ที่ช่วยตรวจสอบและแก้ไข<sup>๒</sup>  
วิทยานิพนธ์จนสำเร็จลุล่วง ขอกราบขอบพระคุณคณาจารย์ทุกท่านที่ช่วยประสิทธิ์ประสาทวิชา  
ความรู้ต่างๆ ที่จะนำมาใช้ในการทำวิทยานิพนธ์และที่จะนำไปใช้ต่อในการประกอบอาชีพในอนาคต  
ขอกราบขอบพระคุณ นพ. สีหัส งามอุมาวงศ์ นพ. มณฑุ ศักดินาเกียรติกุล นพ. ธนา ใจดีประดิษฐ์  
นพ. สุกవิรุต์ วงศ์วราห์ ที่ให้ความอนุเคราะห์ในการคัดกรองและให้ความช่วยเหลือเก็บตัวอย่างทั้งหมด  
ในการทำวิทยานิพนธ์ครั้งนี้

ขอขอบพระคุณ นพ. กนก วุฒิวัฒน์ และภาควิชาสหเวชกรรม สำหรับคำแนะนำและ  
ความช่วยเหลือในวิธีการทดลอง อุปกรณ์สำหรับการวิจัยและการแปลผลการในวิจัย  
ขอขอบพระคุณเจ้าหน้าที่ทุกท่านทั้งฝ่ายผู้ป่วยนอกและห้องผ่าตัด แผนกอโรมีโอปิดิกส์ ตึกผู้ป่วย  
เจริญสมศรีชั้น 4, 5 และ 6 ตึกผู้ป่วย กปร. 16 และ 17 ห้องปฏิบัติการชันสูตรโรค ตึกกปร. 4 ที่ให้  
ความอนุเคราะห์และช่วยเหลือการเก็บตัวอย่าง ขอขอบพระคุณเจ้าหน้าที่ฝ่ายธุรการภาควิชาเคมี  
และฝ่ายบันทึกศึกษา คณะแพทยศาสตร์ จุฬาลงกรณ์มหาวิทยาลัยทุกท่านที่ให้ความช่วยเหลือ  
รอบด้าน ขอขอบพระคุณเจ้าหน้าที่ทุกท่านในศูนย์วิจัยคณะแพทยศาสตร์ จุฬาลงกรณ์  
มหาวิทยาลัย ที่กรุณาให้ความช่วยเหลือ ความรู้ คำแนะนำในการใช้อุปกรณ์วิจัยภายในศูนย์วิจัย  
ขอขอบพระคุณทุนการศึกษาและห่วงเรียนจากบัณฑิตวิทยาลัย จุฬาลงกรณ์มหาวิทยาลัย ได้แก่  
ทุนผู้ช่วยสอนและทุนวิจัยรัชดาภิเษกสมโภช คณะแพทยศาสตร์ จุฬาลงกรณ์มหาวิทยาลัย

ท้ายสุดนี้ ขอกราบขอบพระคุณ คุณพ่อ คุณแม่ ที่เป็นผู้อุปการะทุกด้านของชีวิต  
ขอบคุณญาติพี่น้อง เพื่อนๆ ระดับปริญญาตรี ปริญญาโท และเพื่อนๆ ในห้องปฏิบัติการทุกคนที่  
ช่วยทำงานและเคยให้กำลังใจเสมอมา

## สารบัญ

หน้า

บทคัดย่อภาษาไทย.....	๑
บทคัดย่อภาษาอังกฤษ.....	๑
กิตติกรรมประกาศ.....	๑
สารบัญ.....	๒
สารบัญตราสาร.....	๓
สารบัญภาพ.....	๔
บทที่ 1 บทนำ.....	๑
ความเป็นมาและความสำคัญของปัจุหา.....	๑
วัตถุประสงค์ของการวิจัย.....	๓
ขอบเขตของการวิจัย.....	๓
ข้อตกลงเบื้องต้น.....	๓
ข้อจำกัดของการวิจัย.....	๔
คำจำกัดความที่ใช้ในการวิจัย.....	๔
ประโยชน์ที่คาดว่าจะได้รับ.....	๕
วิธีดำเนินการวิจัย.....	๕
กรอบแนวคิดวิจัย.....	๖
ลำดับขั้นตอนในการเสนอผลการวิจัย .....	๗
บทที่ 2 เอกสารและงานวิจัยที่เกี่ยวข้อง.....	๘
โรคข้อเข่าเสื่อม.....	๑๒
ไซโตคีโน.....	๑๒
ขัตตราการตกของเม็ดเลือดแดง (ESR) และ C-reactive protein (CRP) .....	๑๔
อุณหภูมิผิวนังบวมข้อเข่า .....	๑๕
การศึกษาความสัมพันธ์ของตัวชี้วัดภาวะการณ์อักเสบในผู้ป่วยเปลี่ยนข้อเทียม ๑๕	
ความหลากหลายทางพันธุกรรมในมนุษย์ .....	๑๘
ปฏิกิริยาลูกโซ่โพลีเมอเรส .....	๒๒
การศึกษาความสัมพันธ์ของ SNP IL-6 กับการเกิดโรค.....	๒๓
บทที่ ๓ วิธีดำเนินการวิจัย.....	๒๖
ประชากร.....	๒๖
เครื่องมือและสารเคมีที่ใช้ในการวิจัย.....	๒๗

การเก็บรวบรวมข้อมูล.....	30
การทำเนินการวิจัย.....	31
การวิเคราะห์ข้อมูล .....	42
<b>บทที่ 4 ผลการวิเคราะห์ข้อมูล.....</b>	<b>43</b>
ผลของการเปลี่ยนแปลง ESR, CRP และ IL-6.....	43
ผลของการเปลี่ยนแปลงอุณหภูมิผิวนังบวีเฒาข้อเข่า.....	50
ผลการเปรียบเทียบความสัมพันธ์ของตัวชี้วัด .....	52
ความสัมพันธ์ของระดับ IL-6 ในน้ำไขข้อและในซีรั่ม .....	53
ผลการศึกษา Restriction enzyme ที่เหมาะสมต่อ IL-6 polymorphism.....	55
ผลการตรวจหาจีโนไทป์ของ SNP IL-6.....	56
<b>บทที่ 5 สรุปผลการวิจัย อภิปรายผล และข้อเสนอแนะ.....</b>	<b>60</b>
สรุปผลการวิจัย.....	60
อภิปรายผลการวิจัย.....	62
ข้อเสนอแนะ.....	66
รายการข้างอิง.....	67
<b>ภาคผนวก.....</b>	<b>71</b>
ภาคผนวก ก.....	72
ภาคผนวก ข.....	79
ภาคผนวก ค.....	81
ภาคผนวก ง.....	83
ภาคผนวก จ.....	93
ประวัติผู้เขียนนิพนธ์.....	96

## สารบัญตาราง

ตาราง	หน้า
ตารางที่ 1 คุณสมบัติของ primer IL-6 ที่ใช้ในการทำ PCR.....	35
ตารางที่ 2 ปริมาณสารต่าง ๆ สำหรับการทำ PCR.....	36
ตารางที่ 3 Condition สำหรับการทำ PCR .....	36
ตารางที่ 4 ปริมาณสารต่าง ๆ สำหรับการทำ ligation .....	37
ตารางที่ 5 ปริมาณสารต่าง ๆ สำหรับการทำ Colony PCR .....	38
ตารางที่ 6 Condition สำหรับการทำ colony PCR .....	39
ตารางที่ 7 ปริมาณสารต่าง ๆ สำหรับการทำ PCR เพื่อหา SNP IL-6 .....	40
ตารางที่ 8 Condition สำหรับการทำ PCR เพื่อหา SNP IL-6.....	41
ตารางที่ 9 ปริมาณสารที่ใช้ในการทำ digestion .....	41
ตารางที่ 10 ปริมาณสารที่ใช้ในการเตรียม 8% polyacrylamide gel ต่อ 1 gel.....	42
ตารางที่ 11 ค่ามัธยฐานของตัวชี้วัดต่าง ๆ ในแต่ละช่วงเวลา.....	43
ตารางที่ 12 ค่าเฉลี่ยของอุณหภูมิผิวนังบrixen ข้อเข่าที่ได้รับการผ่าตัดและไม่ได้ผ่าตัดเปลี่ยน ข้อเข่าเทียม .....	50
ตารางที่ 13 ลำดับเบสของ IL-6 ในผู้ป่วยข้อเข่าเสื่อมและกลุ่มควบคุม.....	55
ตารางที่ 14 การกระจายตัวของจีโนไทป์, อัลลิลของ IL-6 และเพต .....	58
ตารางที่ 15 ปัจจัยที่มีผลต่อกำลังเชิงของการเกิดโรคข้อเข่าเสื่อมวิเคราะห์โดยใช้ Logistic regression.....	59
ตารางที่ 16 การเปรียบเทียบช่วงเวลาที่ระดับของตัวชี้วัดขึ้นสูงสุดในผู้ป่วยผ่าตัดเปลี่ยนข้อเข่าเทียม ระหว่างการศึกษาในครั้งนี้และการศึกษาที่ผ่านมา .....	61

## สารบัญภาพ

ภาพประกอบ

หน้า

รูปที่ 1 ลักษณะข้อเข่าของผู้ป่วยที่เป็นโรคข้อเข่าเสื่อม.....	9
รูปที่ 2 ภาพถ่ายรังสีบริเวณข้อเข่าซึ่งแบ่งตามความรุนแรงของโรคในแต่ระดับตามหลักเกณฑ์ ของ Kellegren และ Lawrence.....	10
รูปที่ 3 ภาพถ่ายรังสีบริเวณข้อเข่าของผู้ป่วยที่ได้รับการผ่าตัดเปลี่ยนข้อเข่าเทียม.....	11
รูปที่ 4 การทำงานของเซลล์ชนิดต่าง ๆ เมื่อมีการอักเสบ.....	13
รูปที่ 5 การกระตุ้นเซลล์ตับของไซโตคินที่ทำให้มีการหลั่งโปรตีนชนิดต่าง ๆ .....	15
รูปที่ 6 ความหลากหลายทางพันธุกรรมชนิด RFLPs ซึ่งสามารถตรวจสอบความแตกต่างในลำดับ เบสได้โดยใช้เอนไซม์ตัดจำเพาะ EcoR I.....	19
รูปที่ 7 ลักษณะของ VNTR ชนิด minisatellite และ microsatellite .....	20
รูปที่ 8 แผนภาพแสดงตัวอย่าง SNP จำนวน 1 ตำแหน่ง.....	21
รูปที่ 9 วิธีการเก็บตัวอย่าง .....	32
รูปที่ 10 กราฟแสดงความเปลี่ยนแปลงของ ESR ในเวลาที่แตกต่างกัน.....	45
รูปที่ 11 กราฟแสดงความเปลี่ยนแปลงของ CRP ในเวลาที่แตกต่างกัน.....	47
รูปที่ 12 กราฟแสดงความเปลี่ยนแปลงของ IL-6 ในเวลาที่แตกต่างกัน.....	49
รูปที่ 13 กราฟแสดงการเปลี่ยนแปลงของอุณหภูมิบริเวณเข่าทั้ง 2 ข้างของผู้ป่วยที่ได้รับการผ่าตัด เปลี่ยนข้อเข่าเทียม.....	51
รูปที่ 14 กราฟแสดงความเปลี่ยนแปลงของ biomarker ในเวลาที่แตกต่างกัน.....	53
รูปที่ 15 กราฟแสดงการเปลี่ยนแปลงของ IL-6 ในน้ำไขข้อและในชีร์รัม.....	54
รูปที่ 16 ดีเอ็นเอจากการทำ PCR ขนาด 198 bp.....	56
รูปที่ 17 ลักษณะของดีเอ็นเอในแบบจีโนไทป์ต่าง ๆ .....	57
รูปที่ 18 ลักษณะของดีเอ็นเอในแบบจีโนไทป์ต่าง ๆ .....	57

## บทที่ 1

### บทนำ

#### ความเป็นมาและความสำคัญของข้อเข่า

โรคข้อเข่าเสื่อม (knee osteoarthritis) เป็นโรคที่ก่อให้เกิดความทุกข์ ความทรมานแก่ผู้ป่วยเป็นอย่างมาก อีกทั้งยังทำให้คุณภาพชีวิตของผู้ป่วยด้อยลงและไม่สามารถดำรงชีวิตประจำวันได้อย่างปกติ และอาจเป็นปัจจัยเสริมหรือพบร่วมกับโรคในระบบอื่น เช่น โรคหัวใจและหลอดเลือด โรคความดันโลหิตสูง โรคเบาหวาน และภาวะอ้วน เป็นต้น เนื่องจากผู้ป่วยไม่สามารถดำเนินกิจวัตรตามปกติหรือไม่สามารถออกกำลังกายบางชนิดได้ รวมทั้งผู้ป่วยส่วนใหญ่เป็นผู้สูงอายุ และมีน้ำหนักตัวค่อนข้างมาก ดังนั้นการรักษาโรคดังกล่าวจึงเป็นสิ่งที่จำเป็น แม้ว่าการรักษาจะไม่สามารถทำให้กลับมาอยู่ในสภาพปกติได้ แต่การรักษาโรคนี้มีวัตถุประสงค์เพื่อช่วยในการบรรเทาอาการเจ็บปวด และลดปัจจุบันเรื่องข้อติดหรือข้อตีบ เป็นต้น ในกรณีที่ผู้ป่วยมีอาการรุนแรงและข้อเข่าโกร่งพิการมากจนจำเป็นต้องได้รับการรักษาที่ถูกต้องเหมาะสม วิธีการรักษาที่ได้รับความนิยมในปัจจุบันคือ การผ่าตัดเปลี่ยนข้อเข่าเทียม (total knee arthroplasty: TKA) เนื่องจากได้ผลดี ผู้ป่วยฟื้นตัวเร็ว มีโรคแทรกซ้อนน้อย หลังการผ่าตัดน้อย และใช้เวลาในการอยู่ในโรงพยาบาลไม่นานนัก

สิ่งสำคัญที่ต้องคำนึงถึงและพึงระวังเป็นอย่างมากคือ การอักเสบ (inflammation) และการติดเชื้อ (infection) ของแผลภายหลังการผ่าตัด เนื่องจากผู้ป่วยส่วนใหญ่เป็นผู้สูงอายุ ซึ่งหากเกิดการอักเสบติดเชื้อแล้วจะทำให้การรักษาเป็นไปได้ยากและใช้ระยะเวลาในการพักฟื้นที่โรงพยาบาลนานกว่าปกติ รวมทั้งต้องมาทำการตรวจติดตามหลังการผ่าตัด ดังนั้นถ้าหากสามารถวินิจฉัยว่ามีการเกิดการติดเชื้อภายในแผลหลังการผ่าตัดได้อย่างรวดเร็ว ก็จะทำให้สามารถช่วยให้การรักษามีประสิทธิภาพมากขึ้น

ในปัจจุบันพบว่ามี inflammation markers อยู่หลายชนิดที่สามารถใช้ในการประเมินถึงภาวะการอักเสบภายในแผลหลังการผ่าตัดได้ แต่ก่อนแพทย์นิยมเลือกใช้เป็นตัวบ่งชี้ตามปกติคือ erythrocyte sedimentation rate (ESR) และ C-reactive protein (CRP) เนื่องจากสามารถบ่งบอกถึงการตอบสนองของภูมิคุ้มกันของร่างกายแบบ acute phase ได้ โดยภายในแผลถูกกระตุ้นจากสิ่งแผลคอมแล้วจะทำให้ค่าทั้ง 2 ชนิดเพิ่มสูงขึ้นอย่างรวดเร็วและจะลดลงอย่างช้าๆ ในช่วงระยะเวลาสั้นๆ ทำให้สามารถสังเกตเห็นได้อย่างชัดเจน และค่าใช้จ่ายในการตรวจไม่สูงเท่าไหร่ มากจนเกินไป<sup>(1, 2, 3)</sup> ดังนั้นจึงมีความสำคัญต่อการวินิจฉัยภาวะการอักเสบติดเชื้อภายในแผลหลังการผ่าตัดเปลี่ยนข้อเข่าเทียม แต่ก็ยังพบว่าการใช้ ESR และ CRP เพื่อพิจารณาถึงภาวะการอักเสบติดเชื้อภายในแผลหลังการผ่าตัดยังไม่ชัดเจนพอ เนื่องจากว่าค่าดังกล่าวไม่จำเพาะเจาะจงกับภาวะการ

อักเสบติดเชื้อก่อนและหลังการผ่าตัดและยังมีความแปรปรวนอย่างมากทั้งในช่วงก่อนและหลังการผ่าตัดเรื่องกัน<sup>(4, 5, 6)</sup>

จากการศึกษาของ Di Cesare PE. และคณะ ในปี ค.ศ.2005 พบร่วมกันว่า IL-6 (cytokines) ได้แก่ interleukin 6 (IL-6) สามารถนำมาใช้ในการวินิจฉัยการเกิดภาวะการติดเชื้อภายในช่องท้องที่ทำการผ่าตัดในผู้ป่วยที่ทำการผ่าตัดเปลี่ยนข้อเข่าเทียมได้ โดยมีค่าความไว (sensitivity) ความจำเพาะ (specificity) positive predictive value, negative predictive value และความถูกต้อง (accuracy) เท่ากับ 1.0, 0.95, 0.89, 1.0 และ 97% ตามลำดับ โดยที่การเพิ่มขึ้นของ IL-6 สมพันธ์กับภาวะการติดเชื้อบริเวณข้อเทียมของผู้ป่วยที่ได้รับการผ่าตัดเปลี่ยนข้อเข่าและข้อสะโพกเทียม ดังนั้นสามารถนำมาใช้ในการวินิจฉัยกับผู้ป่วยในภาวะดังกล่าวได้<sup>(7)</sup>

จากที่ผ่านมาโดยส่วนใหญ่แพทย์ให้ความสำคัญกับเรื่องภาวะการอักเสบติดเชื้อของผู้ป่วยในช่วงระยะเวลา ภายหลังการผ่าตัดและพักฟื้นอยู่ในโรงพยาบาลเท่านั้น แต่สำหรับในผู้ป่วยที่ทำการเปลี่ยนข้อเข่าเทียมแล้วการระวังเรื่องการอักเสบติดเชื้อยังเป็นเรื่องที่สำคัญถึงแม่ว่าระยะเวลาในการผ่าตัดจะผ่านไปนานแล้วก็ตาม หากมีการอักเสบติดเชื้อเกิดขึ้นมาอีกอาจทำให้การรักษาอยู่ยากขึ้น ถ้าหากมีการอักเสบรุนแรงมากก็อาจจำเป็นต้องได้รับการผ่าตัดซ้ำซึ่งทำให้ผู้ป่วยต้องเสียเวลาและค่าใช้จ่ายในการรักษามากขึ้น

เนื่องจากการศึกษาลักษณะความสัมพันธ์ของ IL-6 กับค่า ESR, CRP และอุณหภูมิผิวนังบบริเวณข้อเข่า ที่ผ่านมาพบว่าไม่ได้ศึกษาจำเพาะเฉพาะเจาะจงกับผู้ป่วยข้อเข่าเสื่อมที่ได้รับการผ่าตัดเปลี่ยนข้อเข่าเทียมเท่านั้น และส่วนใหญ่จะทำการวินิจฉัยในผู้ป่วย osteoarthritis (OA) ร่วมกับผู้ป่วย rheumatoid arthritis (RA) ในช่วงสัปดาห์แรกหลังการผ่าตัดเท่านั้น ดังนั้น การศึกษาในครั้นนี้จึงทำการศึกษาถึงความสัมพันธ์ของ IL-6 กับค่า ESR, CRP และ อุณหภูมิผิวนังบบริเวณข้อเข่า ในผู้ป่วย osteoarthritis ที่ได้รับการผ่าตัดเปลี่ยนข้อเข่าเทียมตั้งแต่ช่วงเริ่มต้นก่อนการผ่าตัด จนถึงระยะเวลาภายหลังการผ่าตัด 6 เดือน และศึกษาลักษณะการแสดงออกของ IL-6, ESR, CRP และ อุณหภูมิผิวนังบบริเวณข้อเข่า ในผู้ป่วยที่มีความรุนแรงของโรคที่แตกต่างกันเพื่อประเมินการฟื้นตัวภายหลังการผ่าตัดเปลี่ยนข้อเข่าเทียม

นอกจากนี้การศึกษาที่ผ่านมายังพบว่าความหลากหลายทางพันธุกรรม (polymorphism) ของยีน IL-6 ในโครโมโซมคู่ที่ 7 เหนือส่วนของ promoter ซึ่งมีความยาว 303 คู่เบส และในตำแหน่งที่ 174 ของ single nucleotide polymorphism (SNP) หรือ SNP ที่มีจีโนไทป์ (genotype) 3 ลักษณะ ได้แก่ GG, GC และ CC มีความสัมพันธ์กับความซุกของโรค (prevalence) อุบัติการณ์ (incidence) หรือ การทำนายของการขึ้นของโรคหล่ายโรค ได้แก่ โรคอัลไซเมอร์ โรคหลอดเลือดแข็งตัว (atherosclerosis) โรคหัวใจและหลอดเลือด

(cardiovascular) โรคเมะเร็ง โรคเบาหวานชนิดขาดอินสูลิน โรคกระดูกพูน การติดเชื้อในกระเพาะ มือหิต และโรคข้ออักเสบเรื้อรังในเด็ก (systemic-onset juvenile chronic arthritis) เป็นต้น<sup>(8)</sup>

ดังนั้นในการศึกษาครั้งนี้จึงศึกษาถึงความสัมพันธ์ของจีโนไทป์ SNP IL-6 กับการเกิดโรคข้อเข่าเสื่อมเพื่อศึกษาถึงจีโนไทป์ที่จะทำให้เกิดความเสี่ยงต่อการเกิดโรคซึ่งอาจนำไปใช้เพื่อเป็นแนวทางในการวินิจฉัยหรือการรักษาโรคดังกล่าวต่อไปในอนาคต

### วัตถุประสงค์ของการวิจัย

- เพื่อศึกษาตรวจวัดระดับและการเปลี่ยนแปลงของ IL-6, ESR, CRP และ อุณหภูมิผิวนังบวมข้อเข่า เพื่อใช้เป็นค่ามาตรฐานของผู้ป่วยที่มารับการผ่าตัดเปลี่ยนข้อเข่าเทียม
- เพื่อศึกษาความสัมพันธ์ระหว่าง IL-6, ESR, CRP และ อุณหภูมิผิวนังบวมข้อเข่า ในผู้ป่วยที่มารับการผ่าตัดเปลี่ยนข้อเข่าเทียม
- เพื่อศึกษาความหลากหลายทางพันธุกรรมของ IL-6 ในผู้ป่วยโรคข้อเข่าเสื่อม

### ขอบเขตของการวิจัย

- ผู้ป่วยโรคข้อเข่าเสื่อมที่ได้รับการรักษา แผนกอโรมบิดิกส์ โรงพยาบาลจุฬาลงกรณ์ สภากาชาดไทย ซึ่งยินยอมเข้าร่วมโครงการด้วยความสมัครใจตลอดระยะเวลาของ การศึกษาวิจัย
- กลุ่มควบคุม (control) เป็นอาสาสมัครคนปกติที่ไม่มีประวัติการเกิดโรคข้อเข่าเสื่อม ที่มีอายุและเพศตรงกัน เคียงกับผู้ป่วยข้อเข่าเสื่อม ซึ่งมารับการตรวจสุขภาพประจำปี

### ข้อตกลงเบื้องต้น

- เครื่องมือและชุดการทดสอบต่างๆ ที่ใช้ในการทดสอบเป็นเครื่องมือที่ผ่านการทดสอบ ความเที่ยงตรงและความแม่นยำของการทดสอบเครื่องมือและชุดการทดสอบนั้นๆ
- ผู้เข้าร่วมโครงการศึกษาวิจัยเป็นผู้ป่วยที่มารับการผ่าตัดเปลี่ยนข้อเข่าเทียม และ ผู้ป่วยข้อเข่าเสื่อม ณ โรงพยาบาลจุฬาลงกรณ์ สภากาชาดไทย
- ผู้เข้าร่วมโครงการศึกษาวิจัยให้ความร่วมมือด้วยความเต็มใจตลอดการศึกษาวิจัย โดยมีการลงลายมือชื่อในใบยินยอม (informed consent) ด้วยความสมัครใจ ภายหลังได้รับการชี้แจงให้ทราบในทุกด้าน ซึ่งรวมถึงความเสี่ยงที่อาจเกิดขึ้น

## ข้อจำกัดของการวิจัย

การวิจัยในครั้งนี้ได้ทำการเก็บตัวอย่างของผู้ป่วยแต่ละรายจึงต้องใช้ระยะเวลาในการเก็บ 6 เดือน แต่เนื่องจากผู้ทำการวิจัยมีเวลาในการทำวิจัยเพียง 1 ปี จึงทำให้ขนาดของประชากรตัวอย่างมีจำนวนน้อย

## คำจำกัดความที่ใช้ในการวิจัย

**ELISA** - วิธีการตรวจหาสารโดยอาศัยหลักการการจับกันของแอนติเจนและแอนติบอดี โดยทำการเคลือบพื้นผิวของ plate ด้วยแอนติบอดีที่จำเพาะต่อแอนติเจนที่ต้องการตรวจหาในสารตัวอย่าง ซึ่งจะถูกเติมลงไปพร้อมกับแอนติเจน ที่ติดคลากด้วยเอนไซม์คอนjugate (enzyme conjugate) โดยทั้งคู่จะแย่งกันลงไปจับกับแอนติบอดีที่เคลือบผิวเอาไว้ซึ่งจะขึ้นอยู่กับปริมาณกับสารที่ต้องการตรวจหา ดังนั้นถ้าตัวอย่างมีแอนติเจนมากกว่าก็จะจับกับแอนติบอดีได้มากกว่า และเมื่อเติมสับสเตรท (substrate) ก็จะได้สีที่เข้มต่างกันตามจำนวนของแอนติเจนและแอนติบอดีคงเหลือ

**Buffy coat** – ชั้นของเซลล์เม็ดเลือดขาวที่ได้จากการปั่นแยกพลาสมากับเซลล์เม็ดเลือดแดงออกจากกัน

**Ligation** – การเชื่อมต่อชิ้นส่วนของโมเลกุลเดียวกัน

**Transformation** – การนำโมเลกุลของดีเอ็นเอ เข้าไปในสิ่งมีชีวิต ส่วนใหญ่จะใช้แบคทีเรีย เพื่อให้มีการถ่ายทอดทางพันธุกรรมไปยังรุ่นต่อไป

**Plasmid** – Extrachromosomal หรือ circular DNA ที่พบในแบคทีเรีย

**Gel electrophoresis** – เทคนิคที่ใช้ในการแยกโมเลกุลของดีเอ็นเอ หรือ โปรตีนที่สนใจ โดยอาศัยหลักการความสามารถในการเคลื่อนที่ที่แตกต่างกันในสนามไฟฟ้า

**Genotype** - รูปแบบที่พบในอัลลิลที่มีความจำเพาะในแต่ละบุคคล

**Promoter** – ลำดับของดีเอ็นเอ ซึ่ง RNA polymerase ไปจับเพื่อเริ่มต้นกระบวนการสังเคราะห์แม่แบบของ RNA

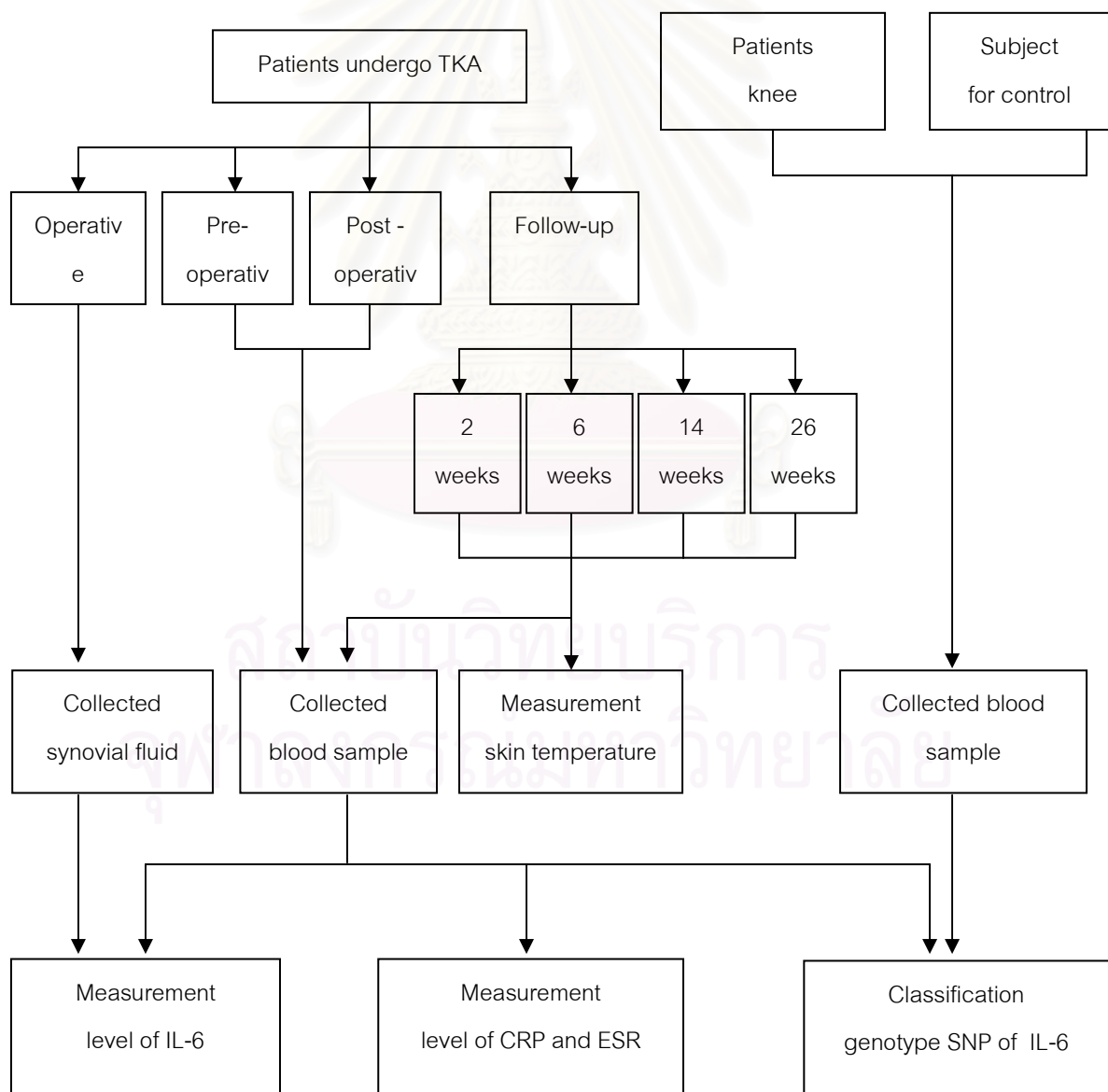
**Primer** – Oligonucleotide หรือ ดีเอ็นเอสายสั้น ๆ ที่ใช้ในการเป็นแม่แบบของ การสร้างดีเอ็นเอสายใหม่

**Restriction enzyme** – เอนไซม์ที่ได้จากแบคทีเรียที่สามารถตัดสายดีเอ็นเอ ในตำแหน่งที่จำเพาะ

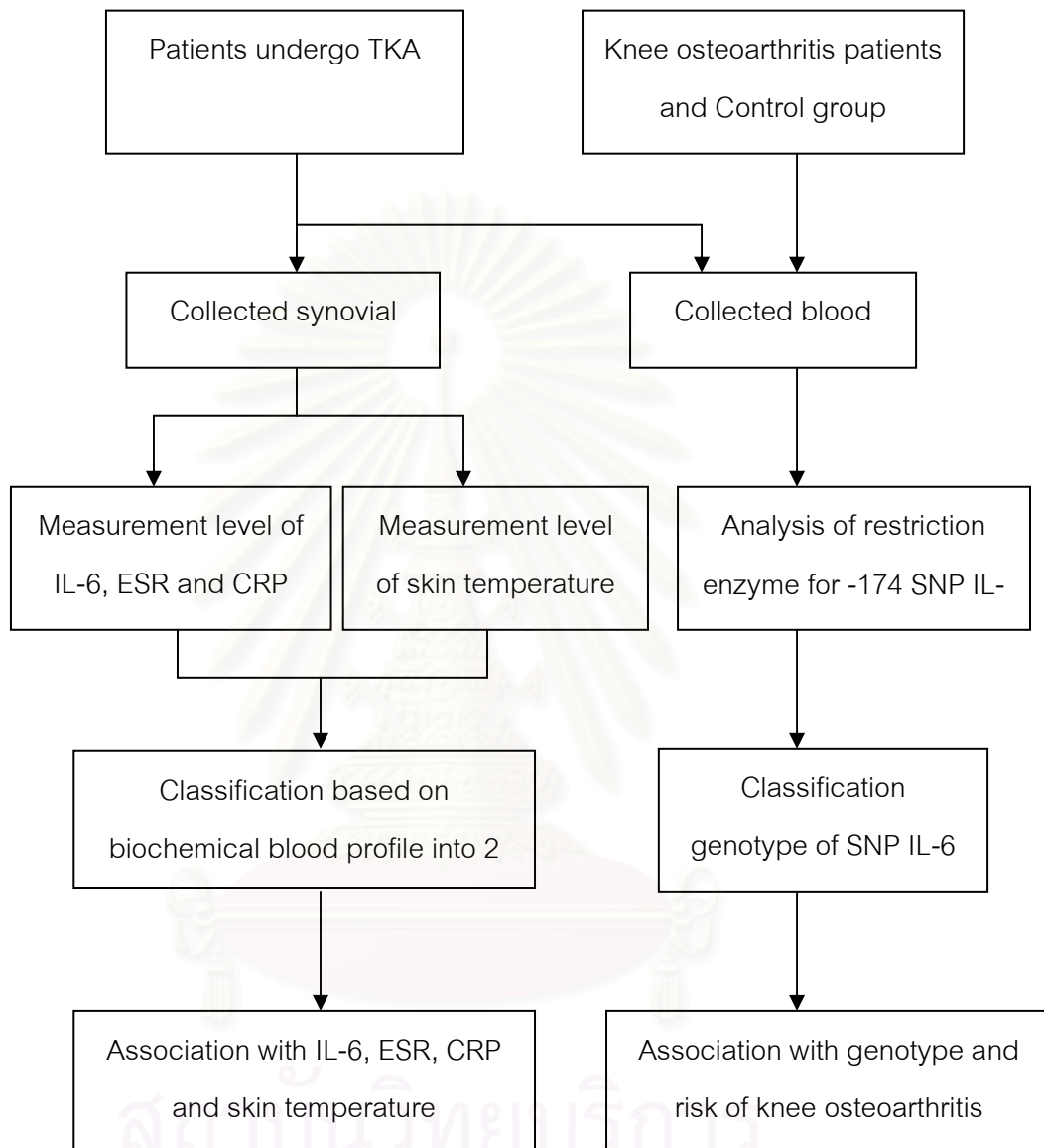
## ประโยชน์ที่คาดว่าจะได้รับ

1. เพื่อเป็นแนวทางให้แพทย์สามารถใช้เป็นมาตรฐานในการประเมินการอักเสบติดเชื้อในภายหลังของผู้ป่วยที่ทำการผ่าตัดเปลี่ยนข้อเข่าเทียมได้
2. เพื่อใช้เป็นประโยชน์ในการประเมินถึงภาวะการฟื้นตัวของผู้ป่วยที่ได้รับการผ่าตัดเปลี่ยนข้อเข่าเทียม
3. เพื่อทราบถึงความหลากหลายทางพันธุกรรมของผู้ป่วยโรคข้อเข่าเสื่อม โดยอาจใช้ใน การประยุกต์ทางคลินิกให้ทราบถึงปัจจัยเสี่ยงทางพันธุกรรมต่อการเกิดโรค

## วิธีดำเนินการวิจัย



## กรอบแนวคิดการวิจัย



## **ลำดับขั้นตอนในการเสนอผลการวิจัย**

1. เยี่ยมเสนอโครงร่างวิทยานิพนธ์ต่อคณะกรรมการวิทยานิพนธ์ หลักสูตร วท.ม.  
(สาขาวิชาศศิศาสตร์การแพทย์) คณะแพทยศาสตร์ จุฬาลงกรณ์มหาวิทยาลัย
2. เยี่ยมเสนอโครงร่างวิทยานิพนธ์ต่อคณะกรรมการพิจารณาจริยธรรมในการวิจัย  
คณะแพทยศาสตร์ จุฬาลงกรณ์มหาวิทยาลัย
3. ดำเนินการวิจัย รวบรวมข้อมูล สรุปและวิเคราะห์ผลการวิจัย
4. จัดทำบทความวิจัยและโปสเทอร์จากบางส่วนของวิทยานิพนธ์ เพื่อตีพิมพ์และ  
นำเสนอผลงานวิจัยในการประชุมเสนอผลงานวิจัยระดับบัณฑิตศึกษาแห่งชาติ ครั้งที่  
12 ณ มหาวิทยาลัยขอนแก่น

สถาบันวิทยบริการ  
จุฬาลงกรณ์มหาวิทยาลัย

## บทที่ 2

### เอกสารและงานวิจัยที่เกี่ยวข้อง

#### โรคข้อเข่าเสื่อม (Knee Osteoarthritis)

โรคข้อเข่าเสื่อม เป็นโรคที่เกิดจากอาการที่กระดูกอ่อนผิวข้อมีการเสื่อมสภาพทำให้กระดูกอ่อนไม่สามารถรับน้ำหนักได้ และมีการสูญเสียคุณสมบัติของน้ำไขข้อ (synovial fluid) ดังนั้นในขณะที่ข้อเข้ามีการเคลื่อนไหวจะเกิดการเสียดสีของกระดูกอ่อนผิวข้อและเกิดการสึกหรอของกระดูกอ่อนภายในข้อ เมื่อข้อเข่าเสื่อมมากขึ้นทำให้กระดูกอ่อน (cartilage) มีขนาดบางลง ผิวขุขระ และเกิดมีกระดูกงอกขึ้นมาใหม่เรียกว่า osteophytes เมื่อข้ออักเสบก็จะมีการสร้างน้ำไขข้อเพิ่มขึ้นทำให้ข้อเข้ากระดูกและเอ็นรอบข้อมีขนาดใหญ่ขึ้น กล้ามเนื้อลีบลง การเปลี่ยนแปลงของข้อดังกล่าวจะดำเนินไปอย่างช้าๆ ในรายที่เป็นรุนแรงกระดูกอ่อนจะบางมาก ปลายกระดูกเข้ามาชนกันทำให้เวลาขยับเจ็บเสียงเสียดสีในข้อ

ปัจจัยที่ทำให้เกิดข้อเข่าเสื่อม ได้แก่ อายุ ส่วนใหญ่จะพบในผู้สูงอายุเนื่องจากมีอายุการใช้งานของข้อมาก เพศ โดยเฉพาะเพศหญิงมีโอกาสเกิดข้อเข่าเสื่อมมากกว่าเพศชาย เพราะความแข็งแรงของกระดูกและกล้ามเนื้อน้อยกว่าเพศชาย น้ำหนักตัว ยิ่งมีน้ำหนักตัวมากจะทำให้ข้อเข่าเสื่อมเร็วขึ้น การใช้ข้อเข่า สำหรับผู้ที่ชอบนั่งยองๆ หรือ ขัดสมาธิส่วนใหญ่พบรข้อเข่าเสื่อมได้เร็ว หากมีการได้รับการบาดเจ็บบริเวณข้อเข่าสามารถทำให้เกิดข้อเข่าเสื่อมได้ และความแข็งแรงของกล้ามเนื้อและกระดูก โดยผู้ที่ออกกำลังกายอย่างสม่ำเสมอผู้ที่ควบคุมน้ำหนักให้อยู่ในเกณฑ์ปกติและได้รับแคลเซียมในปริมาณที่เพียงพอสามารถลดการเสื่อมของข้อเข่าได้ แต่ในผู้ป่วยที่มีโรคข้อเรื้อรัง เช่น โรครูมาตอยด์ โรคเกาต์ หรือผู้ที่ได้รับอุบัติเหตุบริเวณข้อเข่าอาจจะทำให้เกิดโรคข้อเข่าเสื่อมในขณะที่อายุยังไม่น้อยได้

ลักษณะของโรคข้อเข่าเสื่อม สามารถแบ่งออกเป็น 2 ชนิด คือ ข้อเข่าเสื่อมชนิดปฐมภูมิ (primary osteoarthritis) เป็นภาวะที่ข้อเข่าเกิดความผิดปกติไม่ทราบสาเหตุ อาจเนื่องจากสภาพร่างกายที่เปลี่ยนแปลงแบบถดถอย ซึ่งสัมพันธ์โดยตรงกับอายุที่มากขึ้น และข้อเข่าเสื่อมชนิดทุติภูมิ (secondary osteoarthritis) เป็นโรคข้อเข่าเสื่อมที่เกิดจากมีความผิดปกติหรือทราบสาเหตุที่ทำให้ข้อเสื่อมมาก่อน เช่น การติดเชื้อ การบาดเจ็บต่อข้อ กระดูกหัก เป็นต้น ต่อมาก็จะเป็นผิวข้อผิดปกติ และเกิดข้อเสื่อมตามมา อาการที่สำคัญสำหรับโรคข้อเข่าเสื่อม ได้แก่ อาการปวดเข่า เป็นอาการที่สำคัญ เริ่มแรกจะปวดเมื่อยตึงทั้งด้านหน้าและด้านหลังของเข่า หรือบริเวณน่อง หากเป็นมากขึ้นจะมีอาการปวดขณะที่มีการเคลื่อนไหว ลูกนั่งหรือเดินขึ้นบันไดไม่คล่อง หรือเดินไม่เสียงลับในข้อ เมื่อเคลื่อนไหวผู้ป่วยรู้สึกมีเสียงในข้อและปวดเข่า ข้อเข้าบวม ถ้าข้อมือ

การอักเสบเกิดข้อบวม ข้อเข่าโกร่ง ก่อให้เกิดด้านนอกหรือด้านใน ทำให้ขาสั่นลง เดินลำบาก มีอาการปวดเวลาเดินและการเกิดข้อเข้ายึดติดจะทำให้ผู้ป่วยจะไม่สามารถเหยียดหรืองอขาได้สุดเหมือนเดิม เนื่องจากมีการยึดติดภายในข้อ



รูปที่ 1 ลักษณะข้อเข่าของผู้ป่วยที่เป็นโรคข้อเข้าเสื่อม

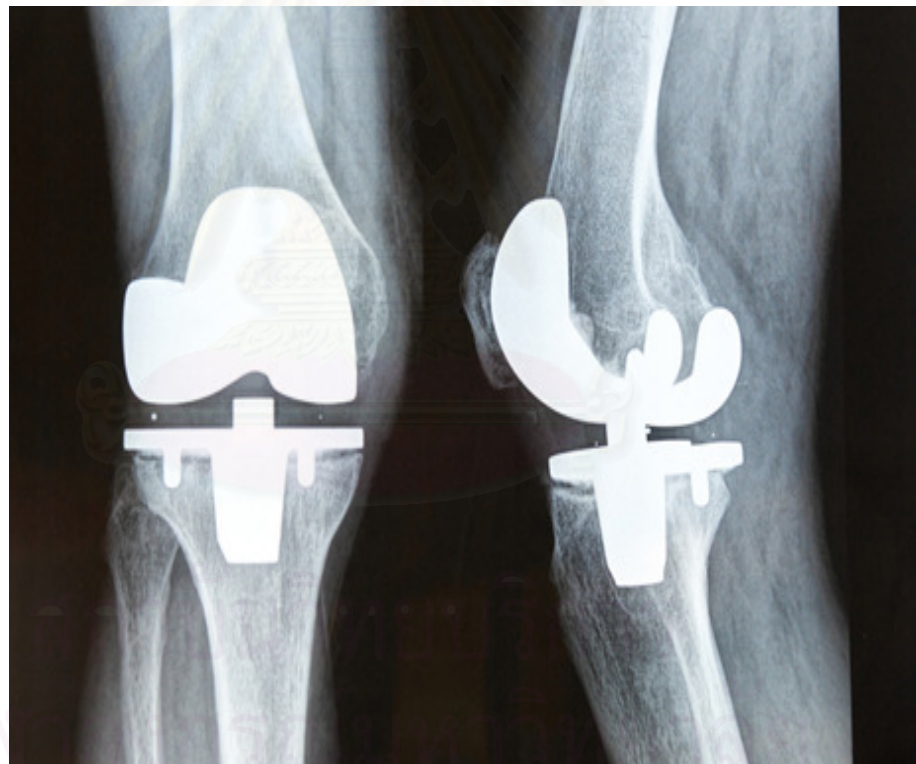
การวินิจฉัยโรคข้อเข้าเสื่อม แพทย์จะทำการซักประวัติและตรวจร่างกายโดยทำการตรวจบริเวณข้อเข่า ลักษณะที่สำคัญคือ ข้อบวม หรือขนาดข้อใหญ่และมีการอ่อนแรงของข้อเข่า เมื่อทำการถ่ายภาพรังสีพบว่ามีช่องว่างระหว่างปลายกระดูกภายในข้อแคบลงซึ่งเกิดจากการที่กระดูกอ่อนมีการสึกหรอ จากนั้นจึงทำการเจาะเลือดเพื่อแยกโรคที่อาจเป็นสาเหตุของโรคปวดเข่าเรื้อรัง เช่น โรคเกาต์ หรือ โรคครูมาโตยด ถ้าในกรณีที่มีเข้าบวมจะมีการเจาะน้ำไขข้อออกมาเพื่อตรวจสอบโดยสังเกตุสีและปริมาณ และตรวจสอบโดยกล้องจุลทรรศน์เพื่อตรวจนับจำนวนเม็ดเลือดขาว

โรคข้อเข่าเสื่อมสามารถแบ่งตามความรุนแรงของโรคได้เป็น 5 ระดับ คือ grade 0: Normal, grade 1: Doubtful narrowing of joint space and possible osteophytic lapping, grade 2: Definite osteophytes and possible narrowing of joint space, grade 3: Moderate multiple osteophytes, definite narrowing of joint space, some sclerosis and possible deformity of bone ends และ grade 4: Large osteophytes, marked narrowing of joint space, severe sclerosis and definite deformity of bone ends. Subchondral cysts may be present. โดยการแบ่งความรุนแรงดังกล่าวตามหลักเกณฑ์ของ Kellegren และ Lawrence ซึ่งพิจารณาจากภาพถ่ายรังสีบวินข้อเข่า<sup>(9, 10)</sup>



**รูปที่ 2** ภาพถ่ายรังสีบวินข้อเข่าซึ่งแบ่งตามความรุนแรงของโรคในแต่ละระดับตามหลักเกณฑ์ของ Kellegren และ Lawrence a) grade 0 b) grade 1 c) grade 2 d) grade 3 และ e) grade 4

การรักษาโรคข้อเข่าเสื่อม จะเลือกวิธีการรักษาโดยดูจากระดับความรุนแรงของโรค ในรายที่ยังไม่มีอาการรุนแรงของโรคมากนัก ส่วนใหญ่จะใช้การรักษาทางกายภาพบำบัดและใช้ยา แต่สำหรับในรายที่มีอาการรุนแรงจะใช้วิธีการรักษาโดยการผ่าตัด สำหรับการผ่าตัดมีหลายวิธี ได้แก่ การผ่าตัดโดยการส่องกล้อง ใช้สำหรับข้อเสื่อมไม่มาก การผ่าตัดแก้ความโกร่งของเข่า วิธีนี้ต้องตัดกระดูกบางส่วนและจัดแนวกระดูกของข้อ ซึ่งใช้ระยะเวลาฟื้นตัวภายหลังการผ่าตัดนานกว่า ทำให้ปัจจุบันความนิยมในการผ่าตัดด้วยวิธีดังกล่าวลดลง แต่วิธีที่นิยมกันอย่างมากในปัจจุบันคือ การผ่าตัดเปลี่ยนข้อเข่าเทียม การรักษาโดยการผ่าตัดทำให้เกิดการอักเสบบริเวณแผลซึ่งเป็นสิ่งที่ไม่สามารถหลีกเลี่ยงได้ ทำให้การประเมินภาวะการอักเสบของแผลภายหลังการผ่าตัดเพื่อดูการฟื้นตัวของผู้ป่วยจึงเป็นสิ่งสำคัญที่แพทย์จำเป็นต้องคำนึงถึง โดยในปัจจุบันมี markers อยู่หลายชนิดที่สามารถนำมาใช้ในการพิจารณาถึงภาวะการอักเสบ



รูปที่ 3 ภาพถ่ายรังสีบริเวณข้อเข่าของผู้ป่วยที่ได้รับการผ่าตัดเปลี่ยนข้อเข่าเทียม

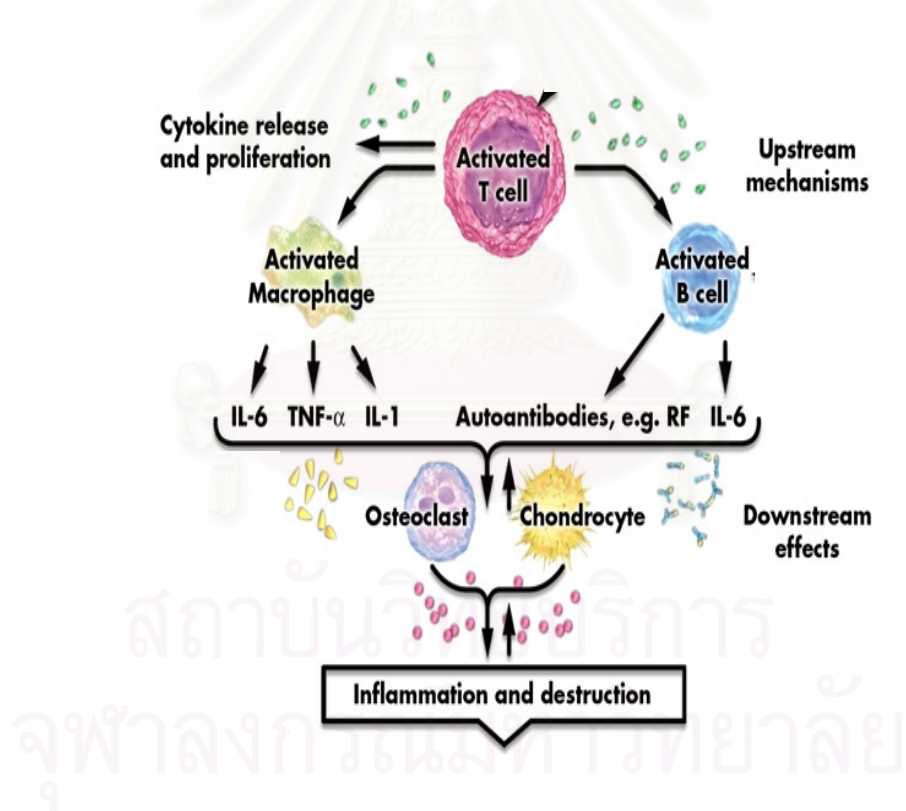
## ไซโตไคน์ (Cytokines)

ไซโตไคน์ เป็นโปรตีนหรือไกลโคโปรตีนที่สร้างและหลังโดยเซลล์ของระบบภูมิคุ้มกัน ได้แก่ เซลล์เม็ดเลือดขาวและเซลล์ต่างๆ ในร่างกายที่ตอบสนองต่อสิ่งที่กระตุ้นทั้งจาก innate และ adaptive immunity สารจำพวกไซโตไคน์เหล่านี้มีหน้าที่ป้องคุณและชักนำให้เกิดการทำงานของเซลล์ โดยถูกสร้างขึ้นมาจากการตอบสนองของเซลล์ต่อสิ่งกระตุ้น เช่น เชื้อจุลชีพ และแอนติเจน เป็นต้น ไซโตไคน์นิดต่างๆ สามารถกระตุ้นให้เกิดการตอบสนองของเซลล์ที่แตกต่างกันไปโดยมีผลต่อระบบภูมิคุ้มกันและการอักเสบ ไซโตไคน์สามารถออกฤทธิ์โดยการจับกับ cytokine receptor ด้วย affinity ที่สูงทำให้สามารถออกฤทธิ์ได้แม้มีปริมาณน้อย รวมทั้งไซโตไคน์มีผลต่อระบบภูมิคุ้มกันหลายลักษณะที่สำคัญคือ บทบาทในการปรับสภาพภูมิคุ้มกัน ถ้าเซลล์ประগeth monocytes หรือ macrophages ถูกกระตุ้นด้วย lipopolysaccharide ของแบคทีเรีย หรือ เกิดกระบวนการ phagocytosis เป็นเหตุให้มีการสร้าง IL-1, IL-6 และ tumor necrosis factor- $\alpha$  (TNF- $\alpha$ ) สารเหล่านี้มีการเพร่งผ่านผนังหลอดเลือดและชักนำให้เซลล์ mononuclear cells manyangบริเวณที่มีการอักเสบ ทำให้เซลล์ lymphocytes เจริญเพิ่มจำนวนและกระตุ้นให้มีการหลัง proinflammatory cytokines ออกมากขึ้น จึงมีผลช่วยเพิ่มและขยายสัญญาณการตอบสนองต่อภาวะการอักเสบ

สารจำพวกไซโตไคน์ที่ควบคุมการตอบสนองภาวะการอักเสบเรียกว่า anti-inflammatory cytokines เช่น IL-4 สร้างโดย lymphocytes ส่วน IL-10 สร้างโดย monocytes และ lymphocytes ทั้ง IL-4 และ IL-10 มีผลลดการหลัง proinflammatory cytokines โดยที่ IL-1, IL-6 และ TNF- $\alpha$  เป็นตัวควบคุมการสร้างกระดูก ไซโตไคน์เหล่านี้กระตุ้นให้ osteoclasts มาชุมนุมกันจึงมีผลทำให้เกิดการสร้างกระดูกเพิ่มขึ้น ซึ่งพบได้ในภาวะที่มีการอักเสบ เช่น การติดเชื้อ การสลายเนื้อกระดูกรอบข้อเทียม (periprosthetic osteolysis) และทำให้เกิดข้อเทียมหลวมคลอน (loosening) รวมทั้งโรคข้ออักเสบ (inflammatory arthritis) เนื้องอกบางชนิด เช่น pigmented villonodular synovitis มะเร็ง Ewing sarcoma และมะเร็งที่แพร่กระจายไปยังกระดูก ก็สามารถสร้างและหลัง proinflammatory cytokines ได้ นอกจากนี้ IL-6 อาจมีบทบาทสำคัญในการเกิดโรคกระดูกโปรงบางหลังวัยหมดประจำเดือน (postmenopausal osteoporosis) เซลล์ osteoclasts สามารถผลิต IL-1, IL-6 และ TNF- $\alpha$  และอาจกระตุ้นให้มีการสร้างกระดูกอย่างต่อเนื่องโดยผ่านกลไกกระตุ้นตัวเซลล์เอง (autocrine) เช่น โรค giant cell tumor ของกระดูกพบ เซลล์ osteoclasts จำนวนมาก เป็นต้นเซลล์ osteoblasts สามารถสร้างและหลัง IL-6 หลังจากถูกกระตุ้นด้วย parathyroid hormone (PTH) หรือ prostaglandins พบว่า PTH มีผลทำให้เกิดการสร้างกระดูกโดยกระตุ้นให้เซลล์ osteoblasts สร้าง IL-6 และยังพบว่า IL-6 สามารถกระตุ้นให้

เซลล์เจริญเพิ่มจำนวนและเปลี่ยนแปลงเป็นเซลล์ osteoblasts และอาจสามารถเป็นตัวกระตุ้นให้มีการสร้างกระดูกได้<sup>(11)</sup>

โดยทั่วไปแล้ว IL-6 สร้างมาจาก monocytes, macrophages, lymphocytes, endothelial cells, และ fibroblasts สามารถกระตุ้น hepatocytes ให้สร้าง acute phase protein นอกจากนี้ IL-6 ยังมีความสำคัญในกระบวนการเจริญเติบโตของ B cells และการสร้าง IgG, IgM และ IgA ของ activated B cells จึงมีบทบาทสำคัญทั้ง innate และ adaptive immune response และ IL-6 ยังสามารถกระตุ้นให้สร้าง neutrophils จากไขกระดูก ในภาวะติดเชื้อรุนแรง จะพบมีการเพิ่มขึ้นของ IL-6 ซึ่งเป็นผลมาจากการกระตุ้นโดย IL-1, TNF พบร่วมกับ human herpes virus type 8 (HHV8) สามารถสร้างโปรตีนที่มีความเหมือนกับ IL-6 ซึ่งมีความสำคัญต่อการติดเชื้อ HHV8 อีกด้วย<sup>(12)</sup>



รูปที่ 4

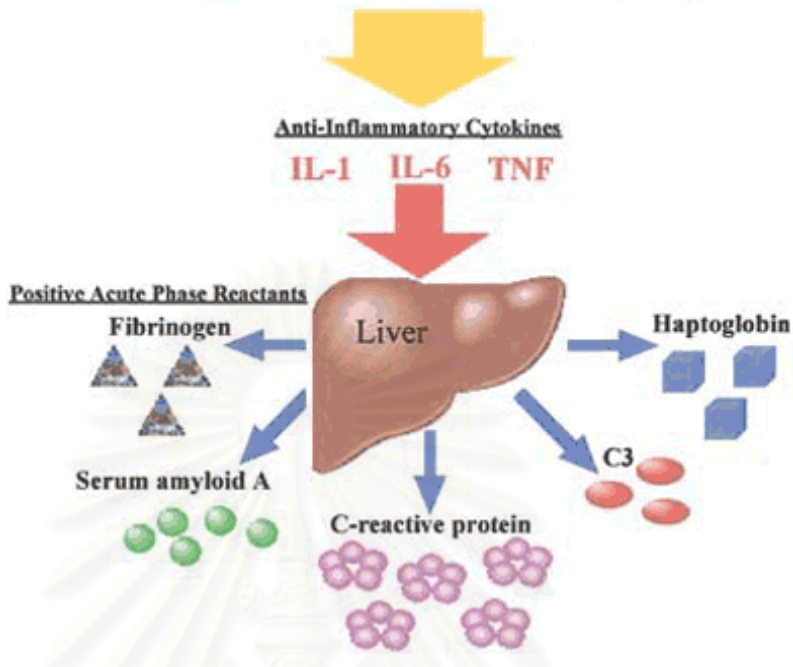
การทำงานของเซลล์ชนิดต่าง ๆ เมื่อมีการอักเสบ

## อัตราการตกของเม็ดเลือดแดง (Erythrocyte Sedimentation Rate: ESR) และ C-Reactive Protein (CRP)

การตรวจวัด ESR เป็นการวัดอัตราการตกของเม็ดเลือดแดงในพลาสma จากตัวอย่างตรวจที่เป็น whole blood โดยที่การตกของเม็ดเลือดแดงเกิดขึ้น เนื่องจากเม็ดเลือดแดงมีความถ่วงจำเพาะมากกว่าพลาสma นอกจากนี้แล้วยังเกิดจากการที่เม็ดเลือดแดงมารวบรวมกันในลักษณะที่เรียกว่า Rouleaux formation ซึ่งปกติแล้วที่ผิวของเม็ดเลือดแดงจะมีประจุลบทำให้เม็ดเลือดแดงเกิดการผลักกันเอง ดังนั้นในภาวะปกติการเกิด Rouleaux formation จึงเป็นไปได้ยากแต่ในภาวะที่มีการเพิ่มขึ้นของ fibrinogen หรือ globulin จะทำให้ความเป็นประจุลบของเม็ดเลือดแดงลดลงทำให้มีโอกาสเกิด formation ได้ง่ายขึ้น ทั้งนี้ค่า ESR ยังเป็นสัดส่วนโดยตรงกับมวลของเม็ดเลือดแดง แต่เป็นสัดส่วนผกผันกับความหนืดของพลาสma ดังนั้นค่า ESR จะสูงกว่าปกติในภาวะที่มีการอักเสบ เนื่องจากมีการเพิ่มขึ้นของระดับ fibrinogen และยังพบได้ในภาวะที่มี acute และ chronic infection ด้วย<sup>(13)</sup>

จากการศึกษาที่ผ่านมาพบว่า IL-6 สร้างมาจากเซลล์จำพวก macrophages, monocytes, fibroblasts และ T helper 2 lymphocytes เมื่อมีบาดแผลเกิดขึ้นแล้ว IL-6 สามารถกระตุ้นให้ตับเกิดการสร้าง CRP และ serum amyloid A protein เมื่อกีดภาวะการอักเสบอย่างเฉียบพลัน (acute inflammation)<sup>(14)</sup> CRP ที่ถูกสร้างมาจากการเซลล์ตับ (hepatocytes) จะถูกควบคุมโดย proinflammatory cytokines ได้แก่ IL-6 และ IL-1 โดยมีหน้าที่สำคัญในระบบภูมิคุ้มกันของ innate immune response เมื่อมีการทำลายของเนื้อเยื่อเกิดขึ้น CRP จะไปกระตุ้นระบบของคอมพลีเมนต์ (complements) และเพิ่มกระบวนการ phagocytosis<sup>(15)</sup> จึงทำให้ CRP เป็นตัวชี้วัดที่สำคัญสำหรับภาวะการติดเชื้ออ่อนแรงพลันจากการผ่าตัด จากหลายการศึกษาที่ผ่านมาพบว่า CRP จะเพิ่มขึ้นในช่วง 1-2 วันแรกหลังการผ่าตัดและมีการลดลงจนถึงระดับปกติอย่างรวดเร็วในเวลาต่อมา<sup>(5, 16, 17)</sup> อย่างไรก็ตามพบว่าค่า CRP ไม่ได้สูงขึ้นจากการผ่าตัดหรือในภาวะที่มีการติดเชื้อเพียงเท่านั้นแต่ยังสามารถพบได้ในผู้ป่วยที่เป็น rheumatoid arthritis ได้เช่นกัน<sup>(15)</sup>

# INFLAMMATION



รูปที่ 5

การกระตุ้นเซลล์ตับของไซโตคีนที่ทำให้มีการหลังโปรดีนชนิดต่างๆ

## อุณหภูมิบริเวณผิวนัง (Skin Temperature)

บริเวณเนื้อเยื่อที่มีการเกิดภาวะการอักเสบจะทำให้มีการรวมตัวของเซลล์ที่จะมาทำการกำจัดสิ่งแผลกปломในร่างกาย เช่น เซลล์เม็ดเลือดขาวชนิดต่างๆ และมีการปล่อยสารที่ทำให้เกิด toxic ต่อเนื้อเยื่อบริเวณนั้น ทำให้มีอาการปวด บวม แดง และร้อน ขึ้นมากกว่าปกติ ดังนั้น อุณหภูมิบริเวณผิวนังจึงเป็นตัวชี้วัดที่สำคัญในการใช้ประเมินถึงภาวะการอักเสบได้

## การศึกษาความสัมพันธ์ของตัวชี้วัดภาวะการอักเสบในผู้ป่วยเปลี่ยนข้อเทียม

ในปี ค.ศ. 2001 Laiho K และคณะ ได้ทำการศึกษาการเพิ่มขึ้นของ CRP ในผู้ป่วย RA หลังจากการทำ TKA และ total hip arthroplasty (THA) จำนวน 37 ราย เป็นเวลา 1 สัปดาห์ ภายหลังการผ่าตัด พบร่วมกันว่า CRP จะมีระดับสูงสุดในวันที่ 1 และ 2 ภายหลังการผ่าตัดโดยเพิ่มมากกว่าค่าก่อนการผ่าตัดประมาณ 7 เท่า หลังจากนั้นใช้เวลาอีกประมาณ 1 สัปดาห์ ระดับ CRP จึงจะลดลงเท่ากับระดับก่อนการผ่าตัด ซึ่งในการศึกษาครั้งนี้ไม่พบว่าผู้ป่วยมีการติดเชื้อแต่อย่างใด ดังนั้นจึงเป็นปกติที่พบว่ามีการเพิ่มขึ้นของ CRP ภายหลังการผ่าตัดในผู้ป่วย RA หลังจากการทำ TKA และ THA แต่ก็สามารถลดลงได้เท่ากับก่อนการผ่าตัดภายใน 1 สัปดาห์<sup>(18)</sup>

ในปี ค.ศ. 2001 Bilgen O และคณะ ทำการศึกษาความเปลี่ยนแปลงของ CRP และ ESR ในผู้ป่วย primary osteoarthritis ที่ได้รับการผ่าตัดเปลี่ยนข้อเทียม ซึ่งได้ศึกษาทั้งในกลุ่มเป็น TKA และ THA พบร่วมกันหลังการผ่าตัดทั้ง 2 กลุ่มจะมีระดับ CRP เพิ่มขึ้นอย่างรวดเร็วและขึ้นสูงสุดในวันที่ 2 ภายหลังการผ่าตัด แต่ในผู้ป่วย THA เริ่มลดลงเท่ากับระดับค่าก่อนการผ่าตัด ในวันที่ 21 และ TKA จะลดลงในเดือนที่ 2 ภายหลังการผ่าตัด ส่วน ESR พบร่วมทั้ง 2 กลุ่มจะเพิ่มขึ้นสูงสุดในวันที่ 5 ภายหลังการผ่าตัด สำหรับกลุ่ม THA พบร่วม ESR จะลดลงจนถึงเท่ากับก่อนได้รับการผ่าตัดในเดือนที่ 3 ภายหลังการผ่าตัด ส่วนในกลุ่ม TKA นั้นจะลดลงในเดือนที่ 9 ภายหลังการผ่าตัด ดังนั้นแสดงให้เห็นว่า CRP มีระดับการเปลี่ยนแปลงที่รวดเร็วและกลับสู่ค่าปกติได้รวดเร็วกว่า ESR โดยที่ทั้งค่า CRP และ ESR ในผู้ป่วย TKA มีแนวโน้มสูงกว่า THA<sup>(4)</sup>

ในปี ค.ศ. 2008 Park KK และคณะ ทำการศึกษาเพื่อหาระดับพื้นฐาน CRP และ ESR ในผู้ป่วย OA ที่ผ่านการทำ unilateral และ bilateral TKA ช่วงเวลาที่ใช้ในการศึกษาคือช่วงก่อนการผ่าตัด และภายหลังการผ่าตัด ในวันที่ 1, 2, 5, 7, 14, 42 และ 90 วัน โดยแบ่งกลุ่มผู้ป่วยออกเป็น 3 กลุ่ม คือ unilateral, first knee bilateral และ second knee bilateral พบร่วมผู้ป่วยทั้ง 3 กลุ่มมีรูปแบบของ CRP และ ESR ที่เหมือนกันคือค่าเฉลี่ยของ CRP จะสูงขึ้นอย่างรวดเร็วโดยจะสูงสุดในวันที่ 2 ภายหลังการผ่าตัด ในวันที่ 42 ภายหลังการผ่าตัดจะลดลงต่ำกว่าค่าปกติ และจะลดลงจนถึงค่าก่อนการผ่าตัดในวันที่ 90 ภายหลังการผ่าตัด ส่วนค่าเฉลี่ยของ ESR นั้นจะขึ้นสูงสุดในวันที่ 5 ภายหลังการผ่าตัดและลดลงจนถึงก่อนการผ่าตัดในวันที่ 90 ภายหลังการผ่าตัดแต่จากการศึกษาในครั้งนี้ทำให้พบว่ามีผู้ป่วยถึง 43% ที่ไม่เป็นไปตามรูปแบบดังกล่าวเช่นกัน<sup>(19)</sup>

จากการศึกษาของ Wirtz DC และคณะในปี ค.ศ. 2000 พบร่วมผู้ป่วยที่ผ่านการทำ total knee replacement (TKR) จะมีค่า IL-6 สูงที่สุดภายหลังการผ่าตัด 12 ชั่วโมง และจะเริ่มลดลงภายหลังการผ่าตัด 24 ชั่วโมง ส่วน CRP จะขึ้นสูงสุดในวันที่ 2 หลังการผ่าตัดและเริ่มลดลงในวันที่ 3 และพบว่าในผู้ป่วยในกลุ่มที่ได้รับและไม่ได้รับ non-steroidal anti-inflammatory drugs (NSAID) พบร่วมไม่มีความแตกต่างกันอย่างมีนัยสำคัญทางสถิติ ความเข้มข้นของ IL-6 มีความสัมพันธ์กับระดับของการอักเสบโดยจะเพิ่มขึ้นเร็วกว่าและลดลงได้เร็วกว่า CRP ซึ่งแสดงว่าการตรวจวัด IL-6 ในผู้ป่วยหลังทำ TKR สามารถติดตามการอักเสบได้กีว่าการตรวจวัด CRP<sup>(20)</sup>

จากนั้นในปี ค.ศ. 2007 Lisowska B และคณะ ได้ทำการศึกษาผู้ป่วย RA ที่ได้รับการผ่าตัดเปลี่ยนข้อเทียมโดยเบรี่ยบเทียบระดับ IL-6 และ IL-8 ในชีรั่ม และ drainage fluid ก่อนและหลังการผ่าตัด พบร่วมระดับ IL-6 มีแนวโน้มสูงขึ้นทั้งในชีรั่ม และใน drainage fluid โดยมีระดับสูงสุด 24 ชั่วโมงภายหลังการผ่าตัด ซึ่ง drainage fluid พบร่วมมีค่าสูงกว่าในชีรั่มส่วนระดับ IL-8 ใน drainage fluid จะเริ่มสูงขึ้นที่ 6 ชั่วโมง หลังการผ่าตัด แต่ในชีรั่มไม่มีการเปลี่ยนแปลง

โดยที่ใน drainage fluid ระดับ IL-6 จะมีค่าสูงกว่า IL-8 อย่างมีนัยสำคัญที่ 24 ชั่วโมงหลังการผ่าตัด ส่วนค่า CRP ในชีรั่ม พบว่ามีการเพิ่มขึ้นอย่างมีนัยสำคัญเช่นกัน โดยจะเพิ่มขึ้นจนถึง 36 ชั่วโมงหลังการผ่าตัด ส่วนใน drainage fluid พบว่าในช่วงระหว่าง 6-36 ชั่วโมง ไม่แตกต่างกัน ดังนั้น การวัดระดับ IL-6 โคลินใน drainage fluid จะบ่งบอกถึงการเกิด local inflammation จากการผ่าตัดได้ดีกว่าเมื่อเปรียบเทียบกับในชีรั่ม เนื่องจากในผู้ป่วย RA พบว่ามีการอักเสบเรื้อรังทำให้ระดับ IL-6 โคลินในเลือดสูงกว่าคนที่เข้ารับการผ่าตัด<sup>(21)</sup>

จากการศึกษาของ Mehra A และคณะ ในปี ค.ศ. 2005 ได้ทำการศึกษาความสมพนธ์ของ CRP และ อุณหภูมิผิวนังบวมในข้อเข่า โดยแยกกลุ่มผู้ป่วยที่เป็น OA และ RA พบว่าผู้ป่วยทั้งหมดจะมีค่า CRP สูงสุดในวันที่ 5-7 หลังการผ่าตัด ส่วนในผู้ป่วยที่ได้รับการผ่าตัดจาก OA จะลดลงมาที่ระดับปกติในสัปดาห์ที่ 6 หลังการผ่าตัด และผู้ป่วยที่เป็น RA จะค่อยๆ ลดลงในสัปดาห์ที่ 6 หลังการผ่าตัดและกลับมาเท่ากับก่อนการผ่าตัดในสัปดาห์ที่ 18 แต่จะพบว่ามีผู้ป่วยจาก OA 5 รายที่จะมีค่า CRP สูงขึ้นในสัปดาห์ที่ 18 โดยผู้ป่วยกลุ่มนี้จะกลับมาตรวจที่คลินิกซ้ำ จากการตรวจ พบว่าผู้ป่วยทั้งหมดไม่มีอาการปวด ลักษณะแผลแห้งดี และอุณหภูมิผิวนังบวมในข้อเข่าที่วัดได้มีค่าต่ำ และพบว่าผู้ป่วย TKR มีค่าอุณหภูมิผิวนังบวมในข้อเข่า สูงขึ้นในช่วงแรกหลังการผ่าตัดหลังจากนั้นจะลดลงสู่ปกติในสัปดาห์ที่ 18 หลังการผ่าตัด ส่วน CRP จะสูงขึ้นในสัปดาห์แรกหลังการผ่าตัดเช่นกัน แต่จะมีค่าลดลงใกล้เคียงกับก่อนผ่าตัดในสัปดาห์ที่ 6 ซึ่งทั้ง 2 ปัจจัยดังกล่าวจะมีการลดลงภายใน 18 สัปดาห์หลังการผ่าตัด ดังนั้น ค่า CRP และอุณหภูมิผิวนังบวมในข้อเข่า เมื่อมีค่าสูงขึ้นสามารถสนับสนุนให้เชื่อว่ามีอาการแทรกซ้อนของการอักเสบจากการผ่าตัดเปลี่ยนข้อเข่าได้<sup>(22)</sup>

การศึกษาของ Haidar SG และคณะ ในปี ค.ศ. 2006 ที่ได้ทำการวัดอุณหภูมิผิวนังบวมในข้อเข่าพบว่า อุณหภูมิผิวนังบวมในข้อเข่าที่ทำการผ่าตัดจะสูงกว่าเมื่อเปรียบเทียบกับเข่าที่ไม่ได้รับการผ่าตัดโดยจะมีความแตกต่างกันจนถึงเดือนที่ 6 หลังการผ่าตัด ซึ่งแสดงว่าการลดลงของอุณหภูมิผิวนังบวมในข้อเข่าบวมที่ได้รับการผ่าตัดจะต้องใช้เวลานานหลายเดือนกว่าจะลดลงเท่าเข้าข้างปกติแต่ถึงแม้ว่ามีอุณหภูมิที่สูงอยู่ก็ไม่ได้พบว่ามีการติดเชื้อแต่อย่างใด<sup>(23)</sup>

ในปี ค.ศ. 2006 Matsumoto T และคณะ ทำการศึกษาเปรียบเทียบความสมพนธ์ของระดับ IL-6 จาก synovial fluid และจำนวนเซลล์ที่บ่งบอกถึงการเกิดภาวะการอักเสบที่พบบวมใน synovial membrane ในผู้ป่วย RA ที่ทำการผ่าตัดเปลี่ยนข้อเทียม พบว่าจำนวนของเซลล์ที่บ่งบอกถึงการอักเสบและระดับของ IL-6 เพิ่มขึ้นอย่างมีนัยสำคัญ ดังนั้น ระดับของ IL-6 สามารถใช้ในการประเมินภาวะการอักเสบได้<sup>(24)</sup>

ดังนั้นจากหลักการศึกษาที่ผ่านมาจะเห็นได้ว่า markers ส่วนใหญ่จะทำการศึกษาโดยรวมซึ่งไม่จำเพาะเจาะจงในผู้ป่วยโรคข้อเสื่อมที่ได้รับการผ่าตัดเปลี่ยนข้อเข่าเทียมและจะทำการศึกษาในช่วงระยะเวลาสั้นๆ ในขณะที่ผู้ป่วยยังพักฟื้นอยู่ในโรงพยาบาล แต่การที่นินตัวของผู้ป่วยภายหลังการผ่าตัดก็เป็นเรื่องสำคัญต่อการรักษาของแพทย์ เช่นกัน ยกตัวที่ผ่านมายังไม่มีการศึกษาความสัมพันธ์ของตัวชี้วัดทั้ง 4 ตัวในระยะยาว ดังนั้นในการศึกษาครั้งนี้จะทำการศึกษาถึงความสัมพันธ์ของ IL-6 กับค่า ESR , CRP และ อุณหภูมิผิวนังบวมข้อเข่า ในผู้ป่วยที่ได้รับการผ่าตัดเปลี่ยนข้อเข่าเทียมในช่วงก่อนการผ่าตัด 24 ชั่วโมง, 2, 6, 14 และ 26 สัปดาห์ รวมเป็นระยะเวลา 6 เดือนภายหลังได้รับการผ่าตัดเปลี่ยนข้อเข่าเทียมว่ามีความแตกต่างของตัวชี้วัดทางคลินิกดังกล่าวอย่างไร

### ความหลากหลายทางพันธุกรรมในมนุษย์ (Human genetic polymorphism)

ความหลากหลายทางพันธุกรรม (genetic polymorphism) หรือ DNA polymorphism) หมายถึง การเปลี่ยนแปลงรหัสทางพันธุกรรมที่ไม่ก่อให้เกิดโรค หรือความหลากหลายของดีเอ็นเอที่เป็นลักษณะปกติในประชากร ความหลากหลายนี้เกิดจากการเปลี่ยนแปลงลำดับเบสในจีโนมของมนุษย์ ทำให้แต่ละบุคคลมีลำดับเบส ณ ตำแหน่งเดียวกันบนโครโมโซมหนึ่ง ๆ แตกต่างกัน เรียกว่ามีอัลลีล (allele) ที่แตกต่างกัน

ความหลากหลายทางพันธุกรรมแบ่งเป็น 3 ชนิด ได้แก่ restriction fragment length polymorphism (RFLP), variable number of tandem repeats (VNTR) และ single nucleotide polymorphism (SNP)<sup>(25, 26)</sup>

ความแตกต่างหรือความหลากหลายของขนาดดีเอ็นเอที่เกิดจากการตัดด้วยเอนไซม์ตัดจำเพาะ (restriction endonuclease) หรือ RFLP คือ การเปลี่ยนแปลงของลำดับเบสทำให้เอนไซม์ตัดจำเพาะดังกล่าวสามารถตัดชิ้นส่วนของดีเอ็นเอได้แตกต่างกัน ดังนั้นการตัดด้วยเอนไซม์จำเพาะจะทำให้ได้ชิ้นส่วนของดีเอ็นเอที่มีขนาดแตกต่างกันเป็น 2 แบบ โดยชิ้นหนึ่งเป็นชิ้นที่สูงตัดได้จะมีขนาดเล็กลงและอีกชิ้นหนึ่งไม่สูงตัด เรียกลักษณะอัลลีลที่แตกต่างกัน 2 แบบว่า เป็นความหลากหลายแบบใบขัลลีคิล (bi-allelic polymorphism) เป็นความหลากหลายที่มีนำมาใช้ประโยชน์ในการทำ DNA marker สำหรับทำแผนที่ยีนของมนุษย์ (human gene mapping)

**GCCGCATTCTA**  
**CGGGCGTAAGAT**

อัลลีล 1 ลำดับเบสที่ 5 เป็น C  
เอนไซม์ EcoRI ตัดไม่ได้

**GCCGAATTCTA**  
**CGGCTTAAGAT**

อัลลีล 2 ลำดับเบสที่ 5 เป็น A  
เอนไซม์ EcoRI ตัดได้

รูปที่ 6 ความหลากหลายทางพันธุกรรมชนิด RFLPs ซึ่งสามารถตรวจสอบความแตกต่างในลำดับเบสได้โดยใช้เอนไซม์ตัดจำเพาะ EcoR I

ความแตกต่างของความยาวลำดับเบสในดีเอ็นเอ หรือ VNTR เกิดจากการมีจำนวนชุดที่แตกต่างกันของลำดับเบสที่เหมือนกันเรียงต่อกันในลักษณะซ้ำกันเป็นชุดๆ ที่มีความหลากหลายของจำนวนชุดที่เรียกว่าเป็น hypervariable region ทำให้ VNTR เป็นความหลากหลายทางพันธุกรรมที่มีขนาดอัลลีลต่างกันได้หลายขนาดในประชากรเรียกลักษณะเช่นนี้ว่า ความหลากหลายแบบมัลติอัลลีลิก (multi-allelic polymorphism) ซึ่งสามารถแบ่งออกได้เป็น 2 ลักษณะย่อย ได้แก่ minisatellite และ microsatellite โดยที่ minisatellite เป็นการซ้ำของลำดับเบสเป็นชุด แต่ละชุดมีจำนวนเบส 14 – 100 เบส ส่วน microsatellite เป็นการซ้ำของลำดับเบส 2 เบส ดังตัวอย่างที่แสดงในรูปที่ 7 VNTR เป็นความหลากหลายทางพันธุกรรมที่นำมาใช้ศึกษาความสัมพันธ์ของอัลลีลกับลักษณะที่ถ่ายทอดทางพันธุกรรม เพื่อติดตามอัลลีลก่อโรคที่ถ่ายทอดผ่านพ่อแม่มาสู่ลูก หรือที่เรียกว่า การหาตำแหน่งยีนหรือการวิเคราะห์ลิงค์เกจ (genetic linkage) ซึ่งนำไปสู่การทำแผนที่จีโนม (genetic mapping)

**Minisatellite:** Tandem repeats of sequences that vary from 14 – 100 base pairs in length

CGAT [ ATCGGACCAATCG ] ATCGGACCAATCG ATCGGACCAATCG TAGG

CGAT [ ATCGGACCAATCG ] ATCGGACCAATCG TAGG

Polymorphism variable number of repeats

**Microsatellite:** Short sequence of random repeats, i.e., CA repeats

TGCATA [ CACACACACACACA ] TTAGTCGA

TGCATA [ CACACACACACACACACACACACACA ] TTAGTCGA

Polymorphism variable number of CA repeats

รูปที่ 7 ลักษณะของ VNTR ชนิด minisatellite และ microsatellite

Single Nucleotide Polymorphism (SNP) คือ ความแตกต่างหรือความหลากหลายทางพันธุกรรมที่แต่ละบุคคลมีลำดับเบสต่างกันเพียงตำแหน่งเดียว ณ ตำแหน่งเดียวกันของยีนที่อยู่บนโครโมโซม เป็นความหลากหลายทางพันธุกรรมที่พบได้บ่อย มีการประมาณว่าจะพบ SNP ในทุก ๆ หนึ่งพันเบส แต่จำนวน SNP ทั้งหมดยังไม่สามารถระบุได้แน่ชัด คาดว่าจะอยู่ในช่วง 3 – 4 ล้านเบสต่อคู่ในมนุษย์ SNP เป็นความแตกต่างของลำดับเบสเพียงหนึ่งตำแหน่ง โดย 2 ใน 3 ของที่พบจะเป็นการเปลี่ยนจาก胞嘧啶 (cytosine หรือ C) ไปเป็นเบสไทมีน (thymine หรือ T) ความแตกต่างของลำดับเบสที่พบแม้เพียง 1 ตำแหน่งนี้อาจส่งผลถึงการแสดงออกของยีน ปริมาณและการทำงานของโปรตีน หรืออาจไม่ส่งผลกระทบใดๆ เลย ทั้งนี้ขึ้นอยู่กับตำแหน่งของ SNP บนสายดีเอ็นเอ SNP haplotype คือ SNP alleles หลายๆ ตำแหน่งที่อยู่ใกล้กันบนโครโมโซมเดียวกัน ลักษณะของ SNP haplotype ในจีโนมของมนุษย์จะกระจายอยู่ทั่วไปเป็นกลุ่มเรียกว่า แฮปโลไทด์บล็อก (haplotype block) คือ SNP อัลลีลที่อยู่ใกล้กันมีแนวโน้มที่จะถูกถ่ายทอดไปด้วยกันทั้งหมดเป็นชุดโดยไม่มีการเปลี่ยนแปลง โดยเฉพาะอย่างยิ่งในกลุ่มประชากรที่ไม่มีการอพยพ เคลื่อนย้าย หรือแต่งงานข้ามเชื้อชาติ ซึ่งมีโอกาสสูงที่ SNP จะถูกถ่ายทอดไปด้วยกันเป็นชุด ปรากฏการณ์ที่ SNP อัลลีลหลายตำแหน่งถูกพบอยู่ด้วยกันใน

ประชากรบ่อยกว่าที่จะพบโดยบังเอิญ แสดงถึงการถูกถ่ายทอดไปพร้อมๆ กัน เรียกว่า SNP เหล่านี้ มีลิงค์เกจดิสอีคิวไลเบรียม (linkage disequilibrium: LD) ต่อกันและกัน ซึ่งหมายความว่า SNP เป็นลักษณะอย่างหนึ่งในกลุ่มประชากร

...CGGTACTT[GAGGCTA...	person 1
...CGGTACTC[GAGGCTA...	person 2

รูปที่ 8 แผนภาพแสดงตัวอย่าง SNP จำนวน 1 ตำแหน่ง

ตำแหน่งการเกิด SNP ในยีนจะทำให้สามารถแบ่ง SNP ได้เป็น 2 ประเภทคือ SNP ที่เกิดขึ้นในส่วนที่ไม่มีการถอดรหัสและที่เกิดขึ้นในส่วนที่มีการถอดรหัส<sup>(27)</sup>

SNP ที่เกิดขึ้นในส่วนที่ไม่มีการถอดรหัส (non-coding SNP) ได้แก่ regulatory SNP (rSNP) จะเป็น SNP ที่มีผลในการควบคุมการแสดงออกของยีน ซึ่งบ่อยครั้งเกิดที่บริเวณ promoter region ซึ่งมีความสำคัญในการควบคุมการแสดงออกของยีนในการสร้างโปรตีนให้มากขึ้นหรือลดลง SNP ที่เกิดบริเวณรอยต่อระหว่างเอ็กซอน (exon) และอินทรอน (intron) ที่เรียกว่า สไปลซิ่งไซต์ (splicing site) ทำให้การตัดต่ออาร์เอ็นเอ (RNA) ผิดไปจากเดิม ผลงานให้จำนวนกรดอะมิโนในสายพอลิเพปไทด์ผิดไป และสุดท้ายคือ intronic SNP (iSNP) เป็น SNP ที่เกิดบริเวณส่วนของอินทรอน จึงมักไม่ทำให้เกิดการเปลี่ยนแปลงใดที่สำคัญ

SNP ที่เกิดขึ้นในส่วนที่มีการถอดรหัส (coding SNP) ได้แก่ non-synonymous SNP คือ SNP ที่เกิดขึ้นภายในลำดับเบส 3 ตัวที่ใช้ในการแปลรหัสกรดอะมิโน (triplet codon) จึง ก่อให้เกิดการเปลี่ยนแปลงชนิดของกรดอะมิโน และ synonymous SNP คือ SNP ที่เกิดขึ้นภายใน ลำดับเบส 3 ตัวที่ใช้ในการแปลรหัสกรดอะมิโนแล้วไม่ก่อให้เกิดการเปลี่ยนแปลงชนิดของกรดอะมิโน

ปัจจุบันจึงมีการประยุกต์ใช้ SNP ทางการแพทย์อย่างหลากหลาย อาทิ การใช้ SNP เพื่อการวินิจฉัยโรคทางพันธุกรรม หรือการวินิจฉัยโรคซึ่งใช้วิธีการอื่นตรวจวินิจฉัยไม่ชัดเจน เช่น โรคทางจิตและประสาท ตลอดจนการทำนายปัจจัยเสี่ยง (risk factors) หรือยืนยันนำ ภารภารณ์ก่อโรค (predisposing gene) การศึกษาความสัมพันธ์ระหว่างลักษณะทางพันธุกรรม กับการตอบสนองต่อยาในแต่ละบุคคล เรียกว่า เภสัชพันธุศาสตร์ (pharmacogenetics) รวมถึง การใช้ SNP ในงานวิจัยระดับชีวโมเลกุลเพื่อพัฒนายา<sup>(28)</sup>

## ปฏิกริยาลูกโพลีเมอเรส (Polymerase chain reaction หรือ PCR)

ปฏิกริยาลูกโพลีเมอเรส หรือ PCR เป็นวิธีการสำหรับการทดลองในหลอดทดลอง (*in vitro*) เพื่อเพิ่มสายของดีเอ็นเอบริเวณที่จำเพาะเจาะจง จากสายดีเอ็นเอที่มีลักษณะเป็นแบบ double helix โดยดีเอ็นเอแต่ละสายจะวิงแบบสวนทางกัน (antiparallel) และทั้ง 2 สายจะเชื่อมต่อ กันด้วยพันธะไฮโดรเจน (hydrogen bond) ของเบสคู่สมที่จับคู่กัน ได้แก่ อะเดนีน (adenine: A) จับกับทีฟลีน (thymine: T) และ กوانีน(guanine: G) จับกับซีโตซีน (cytosine: C) โดยแต่ละเบสจะจับอยู่กับโมเลกุลของน้ำตาลดีอกซีโรบิส ดังนั้น 1 หน่วยของดีเอ็นเอประกอบด้วย โมเลกุลฟอสเฟต น้ำตาลและเบส ซึ่งเรียกว่า นิวคลีโอไทด์ (nucleotide)

การเพิ่มปริมาณดีเอ็นเอเกิดขึ้นจากการทำงานของเอนไซม์ DNA polymerase ซึ่งจะทำให้ oligonucleotide primers ที่เป็นดีเอ็นเอสายเดี่ยวสัก ๆ ที่สามารถจับกับลำดับส่วนปลายของดีเอ็นเอสายแม่แบบที่ถูกแยกสายให้เป็นสายเดี่ยวแล้ว เมื่อมี deoxynucleotide triphosphate (dNTPS) ซึ่งประกอบด้วย deoxynucleotide triphosphate (dNTPS) อยู่ในสภาพที่เหมาะสมจะสามารถสังเคราะห์สายใหม่ที่มีลำดับเบสเหมือนกับ ดีเอ็นเอสายแม่แบบแล้วกลับมาอยู่ในลักษณะของ double strand DNA เช่นเดิม

การสังเคราะห์สายดีเอ็นเอ รอบ ประกอบด้วย 3 ขั้นตอนเริ่มจากการให้ความร้อนเพื่อให้ดีเอ็นเอเกิดการแยกสายเรียกว่า denature จากนั้นจะเป็น annealing ซึ่งเป็นกระบวนการที่ทำให้ primer จับกับดีเอ็นเอต้นแบบ และสุดท้ายในช่วงของ extension เออนไซม์ DNA polymerase จะเริ่มทำงานเพื่อทำการสังเคราะห์ดีเอ็นเอสายใหม่ต่อไป

จำนวนของดีเอ็นเอที่สังเคราะห์จาก PCR สามารถคำนวณได้จากสูตร  $(2^n - 1) \times$  โดย  $n$  คือจำนวนรอบที่ใช้ในการสังเคราะห์  $2^n$  คือ ผลผลิตครั้งแรกที่ได้มาจากการรอบที่ 1 และผลผลิตครั้งที่สองที่ได้มาหลังจากการรอบที่ 2 และ  $x$  คือ จำนวน copies ของสายแม่แบบตั้งต้น ซึ่งโดยปกติเอนไซม์ที่ใช้ในการทำ PCR จะมีประสิทธิภาพในการทำงานได้ประมาณ 25-30 รอบ<sup>(29)</sup>

## การศึกษาความสัมพันธ์ของ SNP IL-6 กับการเกิดโรค

เนื่องจาก IL-6 อยู่ในกลุ่มของ pro-inflammatory cytokine จึงมีความสำคัญต่อการควบคุมกระบวนการอักเสบได้ ดังนั้นจึงพบว่าเมื่อลายโรคที่สัมพันธ์ต่อการเกิดโรคกับ gene ที่ควบคุมการทำงานของ IL-6 จะเห็นได้จากการศึกษาของ Bennermo M. และคณะในปี ค.ศ. 2004 ซึ่งได้ศึกษาบทบาทของ SNP IL-6 ตำแหน่ง -174 กับการทำให้เกิดโรคหล่ายชนิด ได้ทำการทดลองแบบ *in vivo* พบว่า อัลลิส G SNP -174 มีผลทำให้ร่างกายมีปฏิกิริยาต่อการอักเสบโดยการผลิต IL-6 ได้มากกว่าในกลุ่มที่เป็น อัลลิส C ดังนั้นเมื่อพิจารณาถึงบทบาทของ IL-6 แล้วจึงสรุปได้ว่า SNP IL-6 ที่ตำแหน่ง -174 มีผลต่อการทำให้เป็นปัจจัยเสี่ยงต่อโรคได้หล่ายชนิด<sup>(30)</sup>

ในปี ค.ศ. 2008 Maitra A. และคณะ ได้ทำการศึกษา ความหลากหลายทางพันธุกรรมของ IL-6 ในโรคหลอดเลือดแข็งตัวและโรคหัวใจและหลอดเลือดในครอบครัวชาวอินเดีย จากการศึกษาครั้งนี้พบว่าความหลากหลายทางพันธุกรรมของ IL-6 gene มีความสำคัญเนื่องจาก มีปัจจัยเสี่ยงต่อการเกิดโรคหัวใจและหลอดเลือดในเด็กอีกทั้งยังมีบทบาทในควบคุมการเกิดตัวชี้วัดของหลอดเลือดในกลุ่มของชาวอินเดีย<sup>(31)</sup>

ในปี ค.ศ. 2008 Enjuanes A. และคณะ ทำการศึกษาความหลากหลายทางพันธุกรรมที่มีความเสี่ยงต่อการเกิดโรคมะเร็งเม็ดเลือดขาวชนิด chronic lymphocytic leukemia (CLL) พบว่ามี gene หล่ายตัวรวมทั้ง gene ของ IL-6 มีผลต่อการเกิดกระบวนการ apoptosis ซึ่ง เป็นปัจจัยเสี่ยงต่อการเกิดมะเร็งเม็ดเลือดขาวชนิด CLL<sup>(32)</sup>

การศึกษาของ Chunq HW. และคณะในปี ค.ศ. 2003 ทำการศึกษา ความสัมพันธ์ของ SNP IL-6 กับ Bone mineral density (BMD) และ IL6 -174 อัลลิส C มีความสัมพันธ์ต่อการเพิ่มขึ้นของ BMD อย่างมีนัยสำคัญทางสถิติ โดยค่าเฉลี่ยของ BMD จะสูงสุด เมื่อมีลักษณะของเจโนไทป์เป็นแบบ homozygous C ส่วนแบบ homozygous G จะมีค่าต่ำสุด ดังนั้นจึงสรุปได้ว่าความหลากหลายทางพันธุกรรมของ IL-6 มีผลต่อการเพิ่มขึ้นของ BMD อย่างมีนัยสำคัญทางสถิติในผู้หญิงวัยก่อนหมดประจำเดือน<sup>(33)</sup>

ในปี ค.ศ. 2003 การศึกษาความสัมพันธ์ของความไวของ 17 beta-estradiol (E2) จาก SNP ในตำแหน่ง -174 กับผู้หญิงที่มีอาการเริ่มต้นของเบาหวานชนิดที่ 1 ของ Kristiansen OP. และคณะ พบว่า SNP -174 IL-6 ทำให้มีอัตราเสี่ยงต่อการเป็นเบาหวานชนิดที่ 1 ในผู้ที่มีอายุน้อยโดยอัตราเสี่ยงจะเพิ่มตามอายุและระดับของ E2 ในหญิงวัยเจริญพันธุ์<sup>(34)</sup>

การศึกษาความสัมพันธ์ของโกรอัลไซเมอร์และ SNP -174 IL-6 ในแคนบูโรปของ Capurso C. และคณะในปี 2004 จากการศึกษาพบว่าในกลุ่มของผู้ป่วยอัลไซเมอร์และกลุ่มควบคุมจากภูมิภาคของยุโรปจากตอนเหนือไปยังตอนใต้มีความถี่ของจีโนไทป์ GG และ GC เพิ่มขึ้นและพบขั้ลลีด G ว่าก็เพิ่มขึ้นด้วยแต่ ขั้ลลีด C จะลดน้อยลงซึ่งความแตกต่างของความถี่ในอัลลีลและจีโนไทป์ในผู้ป่วยอัลไซเมอร์อาจเกิดจากความหลากหลายของภูมิภาคในยุโรปได้<sup>(35)</sup>

ในปี ค.ศ. 2008 การศึกษาของ Kesarwani P. และคณะเป็นการศึกษาความสัมพันธ์ของความหลากหลายทางพันธุกรรมของจีโนไทป์ GC จาก SNP IL-6 ตำแหน่ง -174 กับความก้าวหน้าของโรคมะเร็งต่อมลูกหมากจากประชากรตอนเหนือของประเทศไทยเดียย ซึ่งใน การศึกษานี้ได้ทำการศึกษา SNP ของ IL-4 ด้วยพบว่า ความหลากหลายทางพันธุกรรมของ IL-4 และ IL-6 ไม่มีความสัมพันธ์กันอย่างมีนัยสำคัญทางสถิติ กับความเสี่ยงต่อการเกิดโรคมะเร็งต่อมลูกหมาก แต่อย่างไรก็ตามพบว่าในผู้ป่วยมะเร็งต่อมลูกหมากมีอัตราเสี่ยงต่อการกระจายของมะเร็งไปยังกระดูกเป็น 2 เท่า ดังนั้นความหลากหลายทางพันธุกรรมของ IL-6 มีผลต่อการเกิดการกระจายของเซลล์มะเร็งไปยังกระดูกในผู้ป่วยมะเร็งต่อมลูกหมาก<sup>(36)</sup>

ในปี ค.ศ. 2005 การศึกษาของ E Pola. และคณะ ได้ทำการศึกษา SNP ของ IL-6 ที่ตำแหน่ง -174 ของผู้ป่วยผ่าตัดเปลี่ยนข้อสะโพกเทียม พบว่ามีจีโนไทป์ 3 แบบ คือ GG, GC และ CC พบว่า จีโนไทป์ CC ในกลุ่มควบคุมมีสัดส่วนสูงกว่าในกลุ่มของผู้ป่วยเกือบ 2 เท่า ส่วนจีโนไทป์ GG ในกลุ่มของผู้ป่วยถึงแม้จะสูงกว่ากลุ่มควบคุมแต่ไม่มีความแตกต่างกันอย่างมีนัยสำคัญทางสถิติ จากการวิเคราะห์ด้วย logistic regression แสดงให้เห็นว่าจีโนไทป์ CC ไม่มีความสัมพันธ์กับการลดลงของอัตราเสี่ยงในการเกิดโรคข้อสะโพกเสื่อม<sup>(37)</sup>

ในปี ค.ศ. 2008 G. Andrew และคณะได้ทำการศึกษาความหลากหลายทางพันธุกรรมของ IL-1 receptor antagonist (IL1-RA) และ IL-6 มีความเสี่ยงต่อการเกิด osteolysis ในผู้ป่วยที่ผ่านการผ่าตัดเปลี่ยนข้อสะโพกเทียม พบว่า IL1-RA +2018 ขั้ลลีด C มีความสัมพันธ์ต่อการลดอัตราเสี่ยงต่อการเกิด osteolysis และมีการเพิ่มการแสดงออกของ mRNA ในผู้ป่วยที่เข้ารับการผ่าตัดเปลี่ยนข้อสะโพกเทียม ส่วน haplotype -174G/-572G/-597A ของ IL-6 มีความสัมพันธ์ต่อการเกิด osteolysis เช่นกัน<sup>(38)</sup>

ในปี ค.ศ. 2007 การศึกษาของ Kamarainen OP. และคณะ ได้ทำการศึกษาความหลากหลายทางพันธุกรรมของ IL-6 ในผู้ป่วย distal interphalangeal osteoarthritis (DIP OA) พบว่า ในตำแหน่งของ SNP IL-6 ที่ตำแหน่งของ promoter ที่ -597 และ -174 อัลลีล G ในกลุ่มของผู้ป่วยมากกว่าในกลุ่มควบคุมถึงแม้ว่ามีอัลลีล G เพียง 1 อัลลีล สามารถทำให้เพิ่มอัตราความเสี่ยงต่อการเกิดโรคได้ หากเป็น haplotype SNP ที่ -597 , -572 และ -174 จะเพิ่มอัตรา

เสี่ยงเป็น 4 เท่าดังนั้น ส่วน GG diplotype จะเพิ่มอัตราเสี่ยงทั้งในกลุ่มที่เป็น symmetrical และ symptometrical ดังนั้นสรุปได้ว่าอัลลีล G ในตำแหน่ง SNP IL-6 ที่อยู่บน promoter มีความสัมพันธ์ต่อการเกิดโรค DIP OA ทั้งแบบ symmetrical และ symptometrical<sup>(39)</sup>



## บทที่ 3

### วิธีดำเนินการวิจัย

#### ประชากร

##### 1. กลุ่มประชากรเป้าหมาย (Target Population)

ผู้ป่วยที่ได้รับการผ่าตัดเปลี่ยนข้อเข่าเทียม จากแผนกอธิบดีพิเศษ โรงพยาบาลจุฬาลงกรณ์ สภากาชาดไทย

##### 2. ขนาดของประชากรตัวอย่าง (Sample Size)

การศึกษาในครั้งนี้จะใช้จำนวนกลุ่มประชากรตัวอย่างจากผู้ป่วยที่ได้รับการผ่าตัดเปลี่ยนข้อเข่าเทียม จากโรงพยาบาลจุฬาลงกรณ์ ซึ่งจะคำนวณกลุ่มตัวอย่าง โดยใช้สูตรคำนวณ ดังนี้

$$\text{โดย } n = \frac{(Z_{\alpha/2})^2 PQ}{\Delta^2}$$

ที่  $\alpha = 0.05$ ;  $Z_{\alpha/2} = 1.96$

$n$  = ขนาดของกลุ่มตัวอย่าง

$Z$  = ค่า Z score ที่ระดับความเชื่อมั่น 95%

$\Delta$  = relative acceptable error = 20% ของ  $P$

$P$  = sensitivity ของ enzyme-linked immunosorbent assay (ELISA)

$Q$  = (1-sensitivity) ของ ELISA

$$\text{ดังนั้น } n = \frac{(1.96)^2 \times 0.83 \times 0.17}{(0.2 \times 0.83)^2} = 19.6708$$

เพราะฉะนั้นจะต้องใช้ตัวอย่างในการศึกษาวิจัยครั้งนี้อย่างน้อย 20 ตัวอย่าง แต่เนื่องจาก มีข้อจำกัดในเรื่องการเก็บตัวอย่าง ซึ่งตัวอย่างดังกล่าวจะได้มามีผู้ป่วยมาทำการตรวจติดตาม การรักษาตามกำหนดเท่านั้น จึงทำให้ต้องมีการเก็บจำนวนตัวอย่างเพิ่มมากขึ้นกว่าที่คำนวณได้ เพื่อป้องกันการสูญหายของกลุ่มตัวอย่างขณะทำการวิจัย ดังนั้นในการศึกษาครั้งนี้จะใช้กลุ่มตัวอย่างจำนวนมากที่สุดที่จะสามารถเก็บได้ อย่างน้อย 30 ตัวอย่าง

## เครื่องมือที่ใช้ในการวิจัย

### 1. เครื่องมือ

- 1.1 Autoclave (Hydroclave Harvey, USA)
- 1.2 Automatic adjustable micropipette (Eppendorf, Germany)
- 1.3 Balance (Sartorius)
- 1.4 Beaker: 50 ml, 100 ml, 200 ml, 500 ml, 1,000 ml (Pyrex, USA)
- 1.5 Centrifuge, refrigerated centrifuge (Eppendorf, USA)
- 1.6 Centrifuge, microcentrifuge high speed (Eppendorf, USA)
- 1.7 Combs (BIO-RAD, Hercules, California, USA)
- 1.8 Cuvette 80-100  $\mu$ l
- 1.9 Cylinder : 25 ml, 50 ml, 100 ml, 250 ml, 500 ml, 1,000 ml (Pyrex, USA)
- 1.10 Digital Timer
- 1.11 DNA Thermal cycler (Thermo Hybaid, USA)
- 1.12 Electrophoresis chamber set (BIO-RAD, USA)
- 1.13 Flask : 250 ml, 500 ml, 1,000 ml (Pyrex, USA)
- 1.14 Freezer -80 °C (Forma Scientific, USA)
- 1.15 Gel Doc 1000 (BIO-RAD, USA)
- 1.16 Multi-block heater (Techne DRI Block, USA)
- 1.17 Multi-channel pipettor (Biohit, Finland)
- 1.18 pH meter (Eutech Cybernataics)
- 1.19 Pipette aid (Tecnomara, Switzerland)
- 1.20 Pipette rack (Autopack, USA)
- 1.21 ELISA Plate Reader (Multiascent, USA)
- 1.22 Reagent bottle: 100 ml, 250 ml, 500 ml, 1,000 ml (Duran, USA)
- 1.23 Refrigerator (Sanyo, Japan)
- 1.24 Spectrophotometer (BIO-RAD, USA)
- 1.25 Stirring-magnetic bar
- 1.26 Mixing Block (BIOER, USA)
- 1.27 Spreader (Pyrex, USA)
- 1.28 Shaker for broth

- 1.29 Test tube racks
  - 1.30 Thermometer (IR Thermometer, USA)
  - 1.31 Vortex mixer (Scientific Industry, USA)
  - 1.32 Water purification equipment (Water pro Ps, Labconco USA)
  - 1.33 Water bath, Thermostat shaking (Memmert, Germany)
2. วัสดุอุปกรณ์
    - 2.1 Clotted blood and EDTA tube (vacuettes, Austria)
    - 2.2 Disposable gloves
    - 2.3 Glass pipette : 1 ml, 5 ml, 10 ml (Witeg, Germany)
    - 2.4 Microcentrifuge tube : 0.2 ml, 0.5 ml, 1.5 ml (BIO-RAD, USA)
    - 2.5 Needle, sterile (Nipro)
    - 2.6 Parafilm (American National Can, USA)
    - 2.7 Pipette tip : 10 µl, 200 µl, 1,000 µl (AxyGen, USA)
    - 2.8 Plastic wrap
    - 2.9 Polypropylene conical tube,sterile : 15 ml, 50 ml (Elkay, USA)
    - 2.10 PCR marker (Bio-Rad, USA)
    - 2.11 Sanitary tissue paper (Celox, Thailand)
    - 2.12 Syringe disposable (Nipro, Japan)
    - 2.13 Petri dish (Sterillin, UK)
    - 2.14 foil
  3. สารเคมีที่ใช้ในการวิจัย
    - 3.1 สารเคมีทั่วไป
      - 3.1.1 70% ethanol
    - 3.2 สารเคมีสำหรับการทำ ELISA
      - 3.2.1 1X coating buffer
      - 3.2.2 1X PBS buffer pH 7.2
      - 3.2.3 1X assay diluents
      - 3.2.4 diluted detection antibody
      - 3.2.5 TMB substrate solution
      - 3.2.6 2N H<sub>2</sub>SO<sub>4</sub>

### 3.3 สารเคมีสำหรับการสกัด ดีเอ็นเอ

- 3.3.1 RBC lysis buffer
- 3.3.2 1X PBS buffer pH 7.2
- 3.3.3 Proteinase K
- 3.3.4 Lysis solution
- 3.3.5 Wash buffer
- 3.3.6 Absolute ethanol
- 3.3.7 Elution buffer

### 3.4 สารเคมีสำหรับการทำ PCR

- 3.4.1 10X PCR buffer
- 3.4.2 25 mM MgCl<sub>2</sub>
- 3.4.3 2 mM Deoxynucleotide triphosphates (dNTPs)
- 3.4.4 10 µM primer forward
- 3.4.5 10 µM primer reverse
- 3.4.6 Taq polymerase enzyme
- 3.4.7 Agarose molecular biology grade (Sigma, USA)
- 3.4.8 PCR marker (Bio-Rad, USA)
- 3.4.9 Loading dye
- 3.4.10 1X TAE buffer
- 3.4.11 Ethidium bromide (Sigma, USA)

### 3.5 สารเคมีสำหรับการทำ ligation

- 3.5.1 pGEM vector
- 3.5.2 5X T4 ligase buffer
- 3.5.3 T4 ligase enzyme

### 3.6 สารเคมีสำหรับการทำ Transformation

- 3.6.1 LB broth
- 3.6.2 IPTG
- 3.6.3 X-gal
- 3.6.4 Ampicillin

### 3.7 สารเคมีสำหรับการสกัดพลาสมิด

### 3.7.1 A<sub>1</sub> buffer

### 3.7.2 A<sub>2</sub> buffer

### 3.7.3 A<sub>3</sub> buffer

### 3.7.4 A<sub>4</sub> buffer

### 3.7.5 AC buffer

### 3.8 สารเคมีสำหรับการทำ Digestion

### 3.8.1 SfaNI (LweI) enzyme

### 3.8.2 TANGO buffer

### 3.9 สารเคมีสำหรับการเตรียม polyacrylamide gel

### 3.9.1 30% polyacrylamide

### 3.9.2 5X TBE buffer

### 3.9.3 0.5X TBE buffer

### 3.9.4 10% Ammoniumpersulfate

395 TEMFD

## การเก็บรวบรวมข้อมูล

ผู้วิจัยจะทำการบันทึกค่า IL-6, ESR, CRP และ skin temperature ในแต่ละช่วงเวลา  
ที่ทำการวิจัยโดยการบันทึกลง record form และบันทึกข้อมูลลงในคอมพิวเตอร์

Record Form 1: สำหรับบันทึกวันที่ทำการเก็บ sample, BMI, grade และคุณภาพนิบริเวณข้อเข่า

Record Form 2: สำหรับบันทึกค่า CRP, ESR และ IL-6

ชื่อ สกุล	HN	อายุ	ESR (mm/hr)						CRP (mg/dl)						IL-6 (pg/dl)					
			Pre op	Post op	2 wk	6 wk	14 wk	26 wk	Pre op	Post op	2 wk	6 wk	14 wk	26 wk	fluid	Pre op	Post op	2 wk	6 wk	14 wk

Record Form 3: สำหรับบันทึกค่าความเข้มข้น, ความบริสุทธิ์ของดีเอ็นเอ และจีโนไทป์ของ SNP IL-6

ชื่อ-นามสกุล	HN	อายุ	ความเข้มข้น ดีเอ็นเอ (μg/200μl)	จีโนไทป์

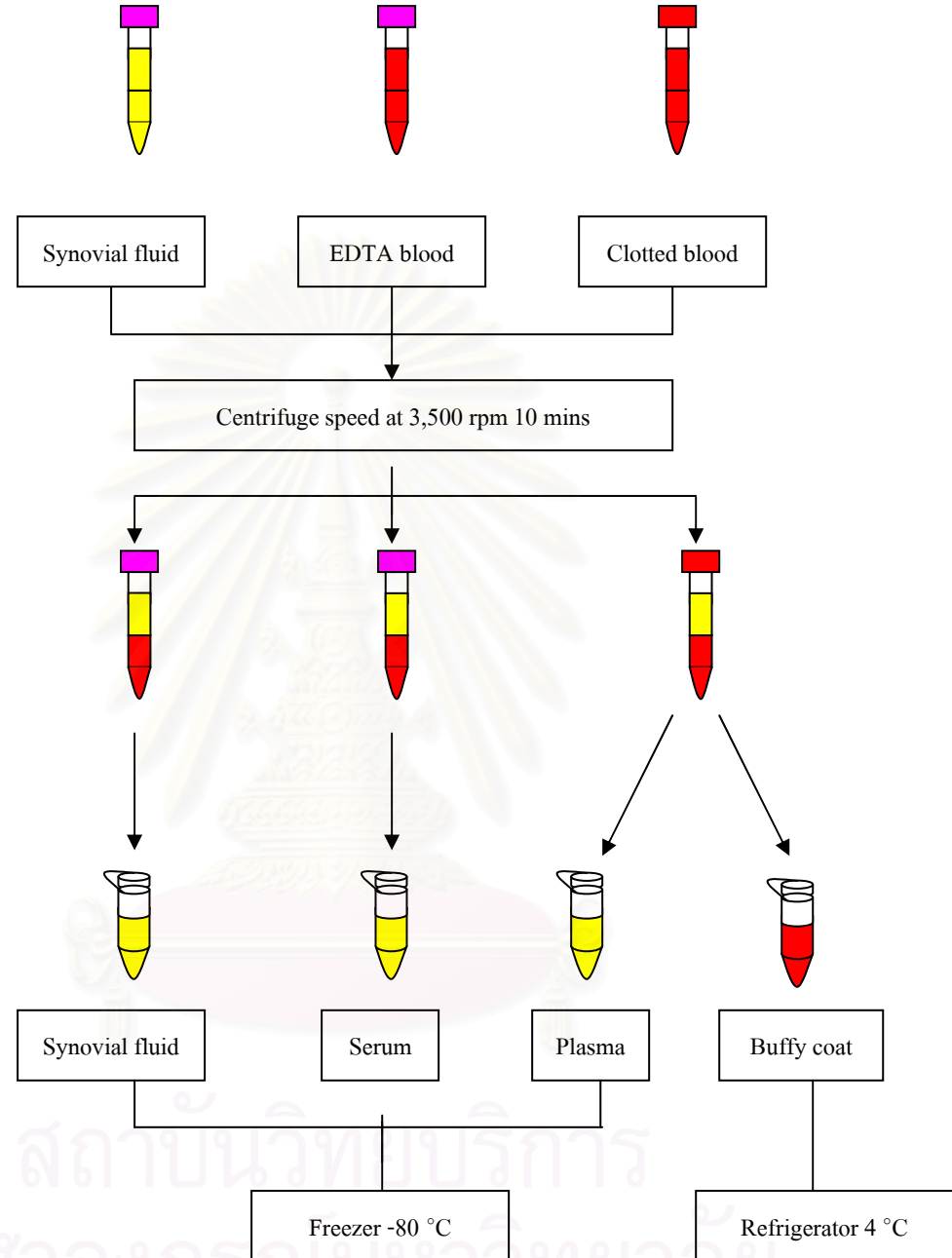
### การดำเนินการวิจัย

#### การเก็บตัวอย่าง (Specimen Collection)

การเก็บตัวอย่างจากผู้ป่วยที่ได้รับการเปลี่ยนห้องเช่าเทียม มีขั้นตอน ดังนี้

- ก่อนเข้ารับการผ่าตัด ทำการเจาะเลือดแบบ clotted blood และ EDTA blood
  - ระหว่างการผ่าตัด ทำการเก็บน้ำไข้จากบริเวณห้องเช่าเก็บใส่ EDTA tube
  - หลังทำการผ่าตัดประมาณ 1-3 วัน ทำการเจาะเลือดแบบ clotted blood และ EDTA blood
  - เมื่อมีการตรวจติดตามการรักษาในสัปดาห์ที่ 2 , 6 , 14 และ 26 หลังการผ่าตัด ทำการเจาะเลือดแบบ clotted blood และ EDTA blood
- ตัวอย่างส่วนหนึ่งจะถูกแบ่งไปยังห้องปฏิบัติการ serology | หน่วยภูมิคุ้มกัน

วิทยาและห้องปฏิบัติการโลหิตวิทยา ฝ่ายเวชศาสตร์ชั้นสูตร โรงพยาบาลจุฬาลงกรณ์ สภากาชาดไทย เพื่อส่งตรวจ ESR และ CRP อีกส่วนหนึ่งจะนำมาทำการบันแยกโดยใช้เครื่องบันแยกตะกอน (centrifuge) ที่ความเร็ว 3,500 rpm เป็นเวลา 10 นาที ส่วนของชีรั่มและพลาสม่าที่ได้จะถูกแบ่งใส่ microtube และนำไปเก็บไว้ที่ตู้เย็น – 80 °C ส่วนของ buffy coat จะเก็บไว้ที่ตู้เย็น 4 °C เพื่อรอทำการตรวจวิเคราะห์ต่อไป (รูปที่ 9)



รูปที่ 9

วิธีการเก็บตัวอย่าง

### การตรวจวัดอุณหภูมิบริเวณหัวเข่า

ผู้ป่วยที่มารับการตรวจติดตามที่คลินิกข้อเข่าเทียม หลังการผ่าตัดในสัปดาห์ที่ 2, 6, 14 และ 26 จะได้รับการตรวจวัดอุณหภูมิบริเวณหัวเข่าทั้ง 2 ข้าง โดยใช้เทอร์โมมิเตอร์ (IR Thermometer model : T560 จากสหซุกเมริกา) โดยจะทำการวัดข้างละ 4 ตำแหน่ง ได้แก่  
ตำแหน่งที่ 1 บริเวณเหนือหัวเข่าด้านซ้าย (superomedial)  
ตำแหน่งที่ 2 บริเวณเหนือหัวเข่าด้านขวา (superolateral)  
ตำแหน่งที่ 3 บริเวณใต้หัวเข่าด้านซ้าย (inferomedial)  
ตำแหน่งที่ 4 บริเวณใต้หัวเข่าด้านขวา (inferolateral)

ในการวัดให้นำปลายของเทอร์โมมิเตอร์แบบบริเวณผิวนังในตำแหน่งที่ต้องการวัดให้สนิท จากนั้นกดปุ่มเพื่อให้เครื่องเริ่มทำการวัด เมื่อเครื่องวัดเสร็จจะได้ยินสัญญาณดังขึ้นหนึ่งครั้ง จึงจะอ่านค่าที่วัดได้จากหน้าจอของเทอร์โมมิเตอร์

จากนั้นทำการหาค่าเฉลี่ยของอุณหภูมิที่วัดได้ในแต่ละข้างโดยจะใช้อุณหภูมิของข้างที่ไม่ได้รับการผ่าตัดเป็นตัวเปรียบเทียบ

### การตรวจวัด CRP

การตรวจวัดระดับของ CRP ใน serum ของผู้ป่วยทั้งหมด จะถูกส่งตรวจไปยังห้องปฏิบัติการ serology แห่งภูมิคุ้มกันวิทยา โรงพยาบาลจุฬาลงกรณ์ สภากาชาดไทย ซึ่งใช้หลักการ particle enhanced immunonephelometry ด้วยเครื่อง BN Prospec โดยหลักการดังกล่าวเกิดจาก CRP ที่มีอยู่ใน serum ของผู้ป่วยจะ結合กับ monoclonal antibodies ที่ coat ไว้กับ polystyrene particle ปริมาณ CRP ที่ทำปฏิกิริยาจะวัดด้วยเครื่อง Nephelometer โดยการวัด intensity ของ scattered light และ CRP concentration จะทราบโดยเครื่องจะวัดเทียบกับ calibration curve ของสารมาตรฐานที่รู้ค่า

### การตรวจวิเคราะห์ ESR

การตรวจ ESR เป็นการวิเคราะห์ข้อต่อการเกิด Rouleaux formation ของเซลล์เม็ดเลือดแดงจาก whole blood ที่ได้จากผู้ป่วย โดยทำการส่งตรวจไปยังห้องปฏิบัติการโลหิตวิทยา ฝ่ายเวชศาสตร์ชั้นสูตร โรงพยาบาลจุฬาลงกรณ์ โดยใช้เครื่องตรวจวิเคราะห์อัตโนมัติรุ่น MICROsed-system สำหรับตรวจ ESR โดยเฉพาะ หลักการคือ Infrared Barrier ที่ความยาวคลื่น 900 nm โดย reading plate จะประกอบด้วยตัวส่งและรับแสง (Infrared transmitter – receiver pair) 10 คู่ ในตำแหน่งของแต่ละ test tube จะมีการเคลื่อนที่ขึ้น-ลง เพื่ออ่านระดับการตกของ

เซลล์เม็ดเลือดแดง ณ เวลาเริ่มต้น 0, 10 และ 30 นาที เมื่อตั้งครบ 30 นาทีแล้ว เครื่องจะแสดงผล เป็นตัวเลขของอัตราการตกของเซลล์เม็ดเลือดแดงเทียบกับ 1 ชั่วโมงของ Westergen ซึ่งเป็น วิธีการตรวจมาตรฐานของ ICSH ใน mode ของการปรับค่า ESR จากอุณหภูมิห้อง เป็นค่าที่ อุณหภูมิห้องขึ้น 18 °C (เมื่ออุณหภูมิในการวิเคราะห์อยู่ในช่วง 15-32 °C) เครื่องจะแปลงค่า โดยอาศัย Manley table

### การตรวจวัดระดับ IL-6

การตรวจหาระดับของ IL-6 ในชีรั่นที่เก็บจากผู้ป่วยทั้งหมดโดยใช้ Biolegend's ELISA MAX™ Set (Biolegend, USA) ซึ่งจะใช้หลักการของ sandwich enzyme-linked immunosorbent assay (ELISA) โดยการนำ capture antibody ใน 1X coating buffer ใส่ลงใน plate หลุมละ 100  $\mu$ l และนำไป incubate ที่ 4 °C ข้ามคืน หรือ 37 °C เป็นเวลา 2 ชั่วโมง หลังจากนั้นทำการล้าง plate 4 ครั้ง ด้วย 1X PBS buffer ต่อจากนั้นทำการ block non-specific binding และลด background โดยการเติม 1X assay diluents หลุมละ 200  $\mu$ l และนำไป incubate ที่อุณหภูมิห้องพร้อมทั้งทำการขยายเป็นเวลา 1 ชั่วโมง ระหว่าง incubation เตรียม human IL-6 standard ที่มีความเข้มข้น 500, 250, 125, 62.5, 31.3, 15.6 และ 7.8 pg/ml และใช้ assay diluent เป็น standard ที่ 0 pg/ml ทำการล้าง plate 4 ครั้ง ด้วย 1X PBS buffer เติม standard ในแต่ละ level และ sample 100  $\mu$ l นำไป incubate ที่อุณหภูมิห้องพร้อมทั้งทำการขยายเป็นเวลา 2 ชั่วโมงทำการล้าง plate 4 ครั้ง ด้วย 1X PBS buffer เติม diluted detection antibody หลุมละ 100  $\mu$ l และนำไป incubate ที่อุณหภูมิห้องพร้อมทั้งทำการขยายเป็นเวลา 1 ชั่วโมงทำการล้าง plate 4 ครั้ง ด้วย 1X PBS buffer เติม diluted Av-HRP solution หลุมละ 100  $\mu$ l และนำไป incubate ที่อุณหภูมิห้องพร้อมทั้งทำการขยายเป็นเวลา 30 นาทีทำการล้าง plate 5 ครั้ง ด้วย 1X PBS buffer โดยทำการล้างแต่ละครั้งให้ทำการแช่ wash buffer เป็นเวลา 30 วินาที ถึง 1 นาที เติม TMB substrate solution หลุมละ 100  $\mu$ l และนำไป incubate ในที่มีดีที่ อุณหภูมิห้องเป็นเวลา 1 ชั่วโมง จะเห็น solution เปลี่ยนเป็นสีน้ำเงินทำการหยุดปฏิกิริยาโดยเติม 2N H<sub>2</sub>SO<sub>4</sub> หลุมละ 100  $\mu$ l จากนั้นจะเห็น solution เปลี่ยนเป็นสีเหลืองนำไปวัดค่าการดูดกลืน แสง (optical density : OD) 450 nm ภายใน 30 นาทีหลังจากเติม stop solution

จากนั้นนำค่าการดูดกลืนแสงที่วัดได้มาทำการภาพแบบลอการิทึม คำนวนเพื่อหา ระดับของ IL-6 จาก standard curve ที่ได้จากการเจือจางสารละลายน้ำตราชานดังกล่าว

## การแยกสกัดดีเอ็นเอจากเซลล์เม็ดเลือด

การแยกสกัดดีเอ็นเอ จะใช้ชุดแยกสกัดของ illustra blood genomicPrep Mini Spin kit (GE healthcare, USA) โดยนำส่วนของ buffy coat เติม red blood cell lysis buffer ประมาณ 3 เท่าของปริมาณตัวอย่างที่มีลงใน centrifuge tube ผสมให้เข้ากันโดยการคุ่งหางาย หลอดไปมาหลาย ๆ ครั้ง ของเหลวจะเป็นสีแดงใส ทิ้งไว้ที่อุณหภูมิห้องประมาณ 10 นาที แล้วนำไปปั่นแยกตะกอนที่ความเร็ว 3,500 rpm เป็นเวลา 10 นาที ดูดส่วนใสทิ้งแล้วเติม 1X PBS buffer 200 μl ผสมให้เข้ากันแล้วนำไปใส่ใน microcentrifuge tube ที่มี proteinase K 20 μl เติม lysis solution 400 μl นำไป vortex 15 วินาที ตั้งไว้ที่อุณหภูมิห้องเป็นเวลา 10 นาที ทำการ vortex เป็นครั้งคราว จนเห็นสารละลายเปลี่ยนจากสีแดงไปเป็นสีน้ำตาลเข้ม หลังจากนั้นนำไปปั่น ตกตะกอน และนำสารละลายใส่ลงใน column นำไปปั่นที่ความเร็ว 11,000 g เป็นเวลา 1 นาที เท ส่วนที่เป็นของเหลวใน collection tube ทิ้ง เติม lysis solution 500 μl นำไปปั่นที่ความเร็ว 11,000 g นาน 1 นาที เทของเหลวออกให้หมด และเติม wash buffer 500 μl ปั่นที่ความเร็ว 11,000 g นาน 3 นาที เทของเหลวทิ้งแล้วปั่นซ้ำที่ความเร็วรอบ 11,000 g นาน 3 นาทีเพื่อทำให้ column แห้งสนิท ข่าย column ใส่ลงใน microtube อันใหม่แล้วเติม elution buffer 70°C 200 μl ทิ้งไว้ที่ อุณหภูมิห้อง 1 นาทีนำไปปั่นที่ความเร็ว 11,000 g เป็นเวลา 1 นาที ทิ้ง column และเก็บส่วนที่ เป็นสารละลายของดีเอ็นเอไว้ที่ตู้เย็น 4 °C แบ่งสารละลายบางส่วนนำไปวัดค่าการดูดกลืนแสงที่ 260 และ 280 nm เพื่อหาความเข้มข้นและความบริสุทธิ์ของดีเอ็นเอที่สกัดได้

$$\text{ความเข้มข้นของดีเอ็นเอ} (\mu\text{g}/200\mu\text{l}) = \frac{\text{ค่า OD ที่ } 260 \text{ nm} \times 50 \times \text{dilution factor}}{1}$$

$$\text{ความบริสุทธิ์ของดีเอ็นเอ} = \frac{\text{ค่า OD ที่ } 260 \text{ nm}}{\text{ค่า OD ที่ } 280 \text{ nm}}$$

## การศึกษา restriction enzyme ที่เหมาะสมต่อ IL-6 polymorphism

### 1. การทำ PCR จาก ดีเอ็นเอที่แยกสกัดจากเซลล์เม็ดเลือด

ทำการผสม master mix ตั้งรายละเอียดที่แสดงในตารางที่ 2 แล้วนำลงเครื่อง PCR ทั้ง condition ตามรายละเอียดที่แสดงในตารางที่ 3

ชนิด IL-6 primer	Sequence	Length (bp)	Tm (°C)	Size product (bp)
Primer forward	5' - TGA CTT CAG CTT TAC TCT TTGT – 3'	22	57.1	198
Primer reverse	5' - CTA ATT GGA AAC CTT ATT AGG – 3'	21	56.7	

ตารางที่ 1 คุณสมบัติของ primer IL-6 ที่ใช้ในการทำ PCR

สารที่ใช้	ปริมาณที่ใช้ต่อ 1 reaction (μl)
10X PCR buffer	2.0
25 mM MgCl <sub>2</sub>	2.0
2 mM dNTP	2.0
10 μM primer forward	1.0
10 μM primer reverse	1.0
Taq polymerase enzyme	0.5
Deionized water	6.5
Template (DNA solution)	5.0
Final volume	20

ตารางที่ 2 ปริมาณสารต่าง ๆ สำหรับการทำ PCR

Step	Temperature (°C)	Time (min)
Initial PCR activation step	94	10
3-step cycling		
Denaturing	94	1.00
Annealing	50	1.35
Extension	72	0.35
Number of cycles: 35 cycles		
Final extension	72	10

ตารางที่ 3 Condition สำหรับการทำ PCR

หลังจากทำ PCR และจะทำการตรวจสอบ PCR product โดยการทำ gel electrophoresis ซึ่งจะผสม PCR product 5 μl กับ 6X loading dye 1 μl หยดลงในหลุมของ 1.2% agarose gel และใช้ marker ขนาด 100 bp มี 1X TAE buffer เป็นตัวกลางและจ่ายกระแสไฟฟ้า 100 โวลต์ ใช้เวลาประมาณ 1 ชั่วโมง จากนั้นนำ gel ไปปั๊มด้วย 0.1% ethidium bromide เป็นเวลานาน 10-15 นาที ล้าง gel ด้วยน้ำเปล่า 2-3 ครั้ง และนำ gel ไปผ่านเครื่องฉายรังสีอัลตราไวโอเลตเพื่อถ่ายรูปแบบดีเอ็นเอ

## 2. การทำ Ligation

การทำ ligation เป็นการนำ ดีเอ็นเอ ของ IL-6 เข้าไปแทรกยัง pGEM vector โดยใช้คุณภาพของ T4 ligase invitrogen

สารที่ใช้	ปริมาณต่อ 1 reaction (μl)
pGEM vector	1.0
5X T4 buffer	2.0
PCR product (insertion DNA)	2.5
T4 ligase enzyme	1
Deionized water	3.5
Final volume	10

ตารางที่ 4 ปริมาณสารต่าง ๆ สำหรับการทำ ligation

เมื่อผสมสารทั้งหมดให้ตั้งทิ้งไว้ที่อุณหภูมิห้องเป็นเวลานาน 30 นาที หลังจากนั้นนำไปเก็บที่ตู้เย็น 4 °C ข้ามคืน

## 3. การทำ Transformation

การทำ transformation เป็นการนำ vector ที่มีการแทรกดีเอ็นเอ ที่เราต้องการศึกษาแล้วไปเข้าในเซลล์ของแบคทีเรีย ซึ่งในการทดลองครั้งนี้โดยใช้ *Escherichia coli* (E. coli) สายพันธุ์ DH5α เป็น competent cells ซึ่งวิธีการทำคือนำ competent cells จากตู้เย็น -80 °C มาละลายในน้ำแข็งแล้วเติม ligation ของ IL-6 ปริมาณ 5 μl ลงใน competent cells 50 μl นำไปแข็ง 30 นาที หลังจากนั้นนำไป heat shock โดยการแช่ที่ 42 °C เป็นเวลา 50 วินาทีและนำไปแข็ง 2 นาที ทันทีแล้วนำไปเติม LB-broth 950 μl จากนั้นนำไปขยายเพาะ殖 180 rpm เป็นเวลา 1 ชั่วโมง 30 นาที ก่อนครบเวลาประมาณ 30 นาทีให้ทำการ spread plate ที่ใช้ในการเลี้ยงเชื้อด้วย media ที่ผสมระหว่าง IPTG: X-gal : LB broth ด้วยอัตราส่วน 30:30:40 ตามลำดับ หลังจากครบเวลาในการขยายแล้วให้นำมาปั่นที่ความเร็ว 3,000 rpm เป็นเวลา 2 นาที แล้วดูดส่วนที่เป็นน้ำใสทิ้ง 500 μl แล้วทำการผสมส่วนที่เหลือให้เข้ากัน จากนั้นดูดสารละลายออกมา 200 μl เพื่อ spread ลงบน plate ที่เตรียมไว้ นำไป incubate ที่ 37 °C ประมาณ 18-24 ชั่วโมงหลังจากการ incubate จะเห็น colony ของ E. coli ขึ้น 2 ลักษณะ คือ blue colony และ white colony ทำการเลือก white colony ที่มีชิ้นส่วนของ insertion มาทดสอบต่อไป

#### 4. การทำ Colony PCR

หลังจากการทำ transformation จะทำการตรวจสอบ product ที่ได้โดยการทำ colony PCR โดยเตรียม master mix สำหรับการทำ PCR ดังตารางที่ 5

สารที่ใช้	ปริมาณที่ใช้ต่อ 1 reaction (μl)
10X PCR buffer	1.0
25 mM MgCl <sub>2</sub>	0.6
2 mM dNTP	1.0
10 μM primer forward	0.5
10 μM primer reverse	0.5
Taq polymerase enzyme	0.1
Deionized water	6.3
Final volume	10

ตารางที่ 5 ปริมาณสารต่าง ๆ สำหรับการทำ Colony PCR

เมื่อแบ่ง master mix ใส่ลงใน microtube และให้ใช้มีจิมพันเจ็ม colony ที่เลือกไว้ (colony ที่มีสีขาว) เพื่อเป็น template ลงไปแก้วงใน microtube จากนั้นนำไปจิมพันไปใส่ลงในหลอดที่มี LB broth 2 ml ผสมกับ ampicillin 2 μl นำ microtube ไปเข้าเครื่อง PCR โดยมี condition ที่แสดงในตารางที่ 6

สถาบันวิทยบริการ  
จุฬาลงกรณ์มหาวิทยาลัย

Step	Temperature (°C)	Time (min)
Initial PCR activation step	95	2
3-step cycling		
Denaturing	95	0.30
Annealing	50	0.30
Extension	72	0.30
Number of cycles: 30 cycles		
Final extension	72	7

ตารางที่ 6 Condition สำหรับการทำ colony PCR

ส่วนในหลอดที่เป็น LB broth ให้นำไปเขย่าด้วยความเร็ว 180 rpm ที่อุณหภูมิ 37 °C หลังจากนั้นทำการตรวจสอบ product PCR โดยการทำ electrophoresis ใช้ 1.2% agarose gel และเลือก colony ที่มี band เข้มที่สุดและไม่มี non specific band มาทำต่อโดยเลือกหลอด LB broth ของ clone ที่ต้องการนำมาเติม LB broth จนได้ปริมาณ 6 ml และ ampicillin 4 μl จากนั้นนำไปเขย่าต่อด้วยความเร็ว 180 rpm ที่อุณหภูมิ 37 °C ประมาณ 14-18 ชั่วโมง เพื่อนำไปใช้ในการสกัดพลาสมิดต่อไป

## 5. การสกัดพลาสมิด

การสกัดพลาสมิดออกจากการเซลล์ E.coli ทำโดยใช้ชุดสกัดพลาสมิดของ Nucleospin® plasmid โดยการนำ LB broth ที่ได้ทำการเพาะเลี้ยงไว้ข้างต้น มาแบ่งใส่ microtube ประมาณ 1.5 ml นำไปปั่นที่ 13,000 rpm เป็นเวลา 2 นาที และเทส่วนใส่ทึ้ง จากนั้นเท LB broth ที่เหลือในหลอดแล้วปั่นข้ามด้วยความเร็วและเวลาเหมือนข้างต้นทำซ้ำเช่นเดิมจน LB broth เหลือ 2 ml นำไปผสมกับ glycerol เพื่อกึ่งเป็น stock ที่ -80 °C ส่วนตะกรอนที่ได้นำมาเติม A<sub>1</sub> buffer 250 μl ใช้เครื่อง vortex เพื่อผสมให้เป็นเนื้อเดียวกัน และเติม A<sub>2</sub> buffer 250 μl ผสมโดยการคว่ำ-หงายหลอดอีกประมาณ 6-8 ครั้งตั้งทิ้งไว้ที่อุณหภูมิห้อง 5 นาที และเติม A<sub>3</sub> buffer 300 μl คว่ำ-หงายหลอดอีกประมาณ 6-8 ครั้ง นำไปปั่นด้วยความเร็ว 13,000 rpm เป็นเวลา 1 นาที จากนั้นดูดส่วนใส่ที่ได้จากการบีบไสลงใน column และนำไปปั่นด้วยความเร็ว 13,000 rpm เป็นเวลา 1 นาที เติม A<sub>4</sub> buffer 600 μl ลงใน column และผสมโดยการใช้ pipette ดูดขึ้น-ลงนำไปปั่นต่อด้วยความเร็ว 13,000 rpm เป็นเวลา 1 นาที และปั่นซ้ำที่ความเร็วเดิมเป็นเวลา 2 นาที

เพื่อทำให้ column แห้ง หลังจากนั้นนำ column ใส่ลงใน microtube อันใหม่ เติม AC buffer 50 μl ตั้งทิ้งไว้ที่อุณหภูมิห้อง 1 นาทีแล้วนำไปปั่นด้วยความเร็ว 13,000 rpm เป็นเวลา 1 นาที เก็บส่วนใส่ไว้ซึ่งเป็นส่วนของ พลาสมิดที่สกัดได้ เมื่อทำการสกัดพลาสมิดได้แล้วให้นำพลาสมิดที่ได้ไปทำการตรวจสอบโดยทำการ electrophoresis ซึ่งจะใช้ 1.2% agarose gel เช่นเดิม

พลาสมิดที่สกัดได้ทำการส่งตรวจเพื่อวิเคราะห์ลำดับเบส (DNA-sequencing) (Ward Medic, Thailand) เพื่อจะนำ sequence หรือลำดับเบสที่ได้มาทำการหา restriction enzyme ที่เหมาะสมต่อการตัด SNP ของ IL-6 ในตำแหน่งที่ต้องการต่อไป

#### การตรวจหาจีโนไทป์ ของ SNP IL-6

##### 1. การทำ PCR จากดีเอ็นเอ ที่แยกสกัดจากเซลล์เม็ดเลือด

ทำการผสม master mix ตามรายละเอียดที่แสดงในตารางที่ 7 และนำไปใส่ในเครื่อง PCR ตั้ง condition ตามที่แสดงในตารางที่ 8

สารที่ใช้	ปริมาณที่ใช้ต่อ 1 reaction (μl)
10X PCR buffer	2.0
25 mM MgCl <sub>2</sub>	2.0
2 mM dNTP	2.0
10 μM primer forward	0.8
10 μM primer reverse	0.8
Taq polymerase enzyme	0.5
Deionized water	6.5
Template (DNA solution)	5.0
Final volume	20

ตารางที่ 7 ปริมาณสารต่าง ๆ สำหรับการทำ PCR เพื่อหา SNP IL-6

Step	Temperature ( °C)	Time (min)
Initial PCR activation step	94	10
3-step cycling		
Denaturing	94	1.00
Annealing	50	1.35
Extension	72	0.30
Number of cycles: 5 cycles		
Denaturing	95	0.30
Annealing	50	0.30
Extension	72	0.30
Number of cycles: 25 cycles		
Final extension	72	10

ตารางที่ 8 Condition สำหรับการทำ PCR เพื่อหา SNP IL-6

จากนั้นทำการตรวจสอบ PCR product โดยการทำ gel electrophoresis ซึ่งจะใช้ 1.2% agarose gel

## 2. การทำ Digestion

เมื่อได้ PCR product และ ใช้เอนไซม์ SfaNI (LweI) เป็น restriction enzyme ในการทำ digestion เพื่อหา จีโนไทป์ ของ SNP IL-6 ซึ่งจะเตรียมสารตั้งต้นตารางที่ 9

สารที่ใช้	ปริมาณที่ใช้ต่อ 1 reaction (μl)
TANGO buffer	1.2
SfaNI enzyme (1 unit)	0.1
Deionized water	7.2
PCR product	2.5
Final volume	12.0

ตารางที่ 9 ปริมาณสารที่ใช้ในการทำ digestion

จากนั้นให้นำไป incubate ที่อุณหภูมิ 37°C เป็นเวลา 10-12 ชั่วโมงและเพื่อให้เอนไซม์สามารถทำปฏิกิริยาได้สมบูรณ์ควรทำการปั่นตกร่อนทุก 2 ชั่วโมง แล้วจึงนำไปให้ความร้อนที่ 80 °C เพื่อหยุดการทำงานของเอนไซม์

หลังจากการทำ digestion แล้วจะนำไปทำการตรวจสkopแบบดีเอ็นเอ ที่ได้ด้วยวิธี gel electrophoresis โดยหยด sample 12  $\mu$ l ที่ผสมกับ loading dye 3  $\mu$ l และ marker ขนาด 50 bp ลงในหลุมของ 8% polyacrylamide gel แบบแนวตั้งซึ่งจะใช้สารในการเตรียมตามตารางที่ 10 โดยมี 0.5X TBE buffer เป็นตัวกลางจ่ายกระแสไฟฟ้า 100 伏ต์ใช้เวลาประมาณ 1 ชั่วโมง 30 นาที แล้วนำ gel ไปย้อมด้วย 0.1% ethidium bromide เป็นเวลา 10 นาที ล้างออกด้วยน้ำเปล่าประมาณ 2-3 ครั้ง จากนั้นนำไปผ่านเครื่องฉายรังสีอัลตราราดิโอเลตเพื่อดูรูปแบบดีเอ็นเอ ที่ได้ต่อไป

สารที่ใช้	ปริมาณที่ใช้
30% polyacrylamide	1.33 ml
5X TBE buffer	1 ml
Deionized water	2.635 ml
10% ammoniumpersulfate	35 $\mu$ l
TEMED	1.75 $\mu$ l

ตารางที่ 10 ปริมาณสารที่ใช้ในการเตรียม 8% polyacrylamide gel ต่อ 1 gel

### การวิเคราะห์ข้อมูล (Data Analysis)

วิเคราะห์ข้อมูลโดยสถิติเชิงพรรณนา (descriptive statistic) โดยจะนำเสนอบรรูปของค่าเฉลี่ย (mean) มัธยฐาน (median) และ ค่าเบี่ยงเบนมาตรฐาน (standard deviation) จากนั้นนำเสนอโดยจะใช้กราฟและตาราง ในการนำเสนอโดยการสรุปรวมจากจำนวนผู้ป่วยทั้งหมดและจะใช้สถิติเชิงอนุमาน (inferential statistic) เพื่อสรุปผลของประชากรและใช้ Wilcoxon ในการเปรียบเทียบความแตกต่างของก่อนและหลังได้รับการผ่าตัดของค่าตัวชี้วัด ได้แก่ IL-6, ESR, CRP และ skin temperature สำหรับ Spearman จะใช้ในการวิเคราะห์ความสัมพันธ์ของตัวชี้วัด โดยโปรแกรม SPSS16.0 ในส่วนของ SNP จะนำเสนอจำนวนผู้ป่วยและกลุ่มควบคุมในแต่ละจีโนไทป์ และ ความถี่ของอัลลีลเปรียบเทียบโดยใช้ chi square test คำนวณ Odd ratio โดยใช้ 95% confident interval และคำนวณ logistic regression analysis โดยใช้โปรแกรม STATA 8.0 โดยมีนัยสำคัญที่  $p < 0.05$

## บทที่ 4

### ผลการวิเคราะห์ข้อมูล

#### ผลของการเปลี่ยนแปลง ESR, CRP และ IL-6

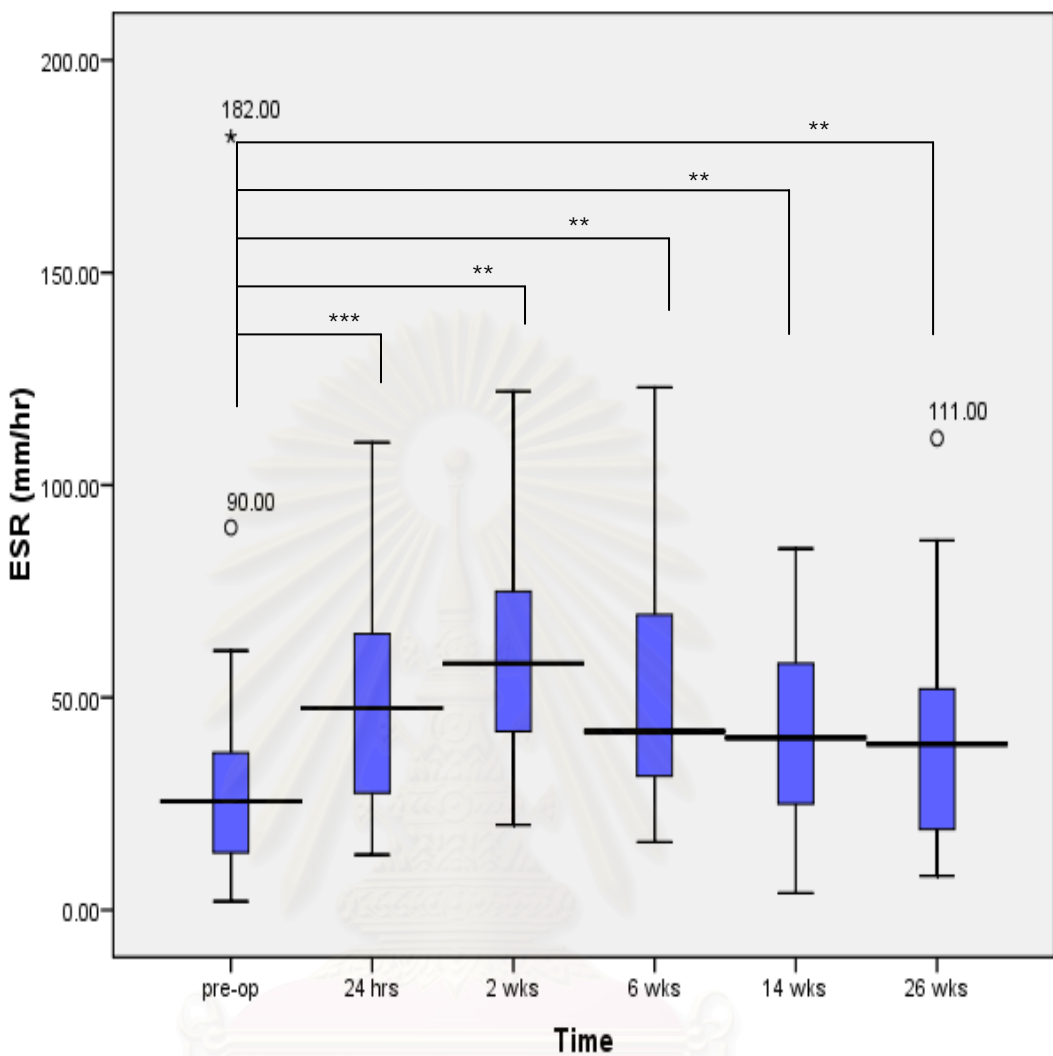
	Pre-operative	24 hours	2 weeks	6 weeks	14 weeks	26 weeks
ESR (mm/hr)						
Median	26.5	47.5	58.0	42.0	40.5	26.5
Percentile 25	14.0	27.3	42.0	31.0	23.5	14.0
Percentile 75	37.5	65.5	79.0	70.0	58.0	37.5
p value		0.001	0.000	0.000	0.000	0.000
CRP (mg/dl)						
Median	3.12	84.10	6.87	5.02	3.12	3.12
Percentile 25	3.12	34.20	3.12	3.12	3.12	3.12
Percentile 75	8.45	158.50	15.13	12.98	5.83	8.45
p value		0.000	0.520	0.217	0.205	0.868
IL-6 (pg/ml)						
Median	55.96	173.95	66.32	55.31	55.79	55.96
Percentile 25	40.25	79.71	51.77	48.73	40.25	40.25
Percentile 75	62.04	271.95	77.31	70.61	63.82	62.04
p value		0.000	0.254	0.799	0.361	0.054

ตารางที่ 11 ค่ามัธยฐานของตัวชี้วัดต่าง ๆ ในแต่ละช่วงเวลา

การวัด ESR ของผู้ป่วยที่ได้รับการผ่าตัดเปลี่ยนข้อเข่าเทียม พบร่วมในช่วงก่อนการผ่าตัด, 24 ชั่วโมง, 2, 6, 14 และ 26 สัปดาห์ภายหลังการผ่าตัด ค่าเม็ดยสูน (เบอร์เซ็นต์ไทล์ที่ 50) มีค่าเท่ากับ 26.5, 47.5, 58.0, 42.0, 40.5 และ 26.5 mm/hr ตามลำดับ จากกราฟแสดงให้เห็นโดยใช้เส้นสีดำแบ่งตรงกลางระหว่าง box ของกราฟ ขอบล่างของ box แสดงถึงค่าเบอร์เซ็นต์ไทล์ที่ 25 มีค่าเท่ากับ 14.0, 27.3, 42.0, 31.0, 23.5 และ 14.0 mm hr ตามลำดับ ส่วนขอบบนของ box แสดงค่าเบอร์เซ็นต์ไทล์ที่ 75 มีค่าเท่ากับ 37.5, 65.5, 79.0, 70.0, 58.0 และ 37.5 mm hr ตามลำดับ มีค่า outlier ที่สูงกว่าเบอร์เซ็นต์ไทล์ที่ 95 จำนวน 2 ค่า คือ ที่ก่อนการผ่าตัด 90 mm hr และ 26 สัปดาห์ภายหลังการผ่าตัดคือ 111 mm hr และแสดงโดยใช้สัญลักษณ์<sup>0</sup> และในช่วงก่อนการผ่าตัด มีส่วนที่เป็น outlier มากกว่า 3 เท่ามี 1 ค่าคือ 182 mm hr และแสดงโดยใช้สัญลักษณ์\* (รูปที่ 10)

พบร่วมเมื่อเปรียบเทียบกับก่อนการผ่าตัดพบว่า ESR เพิ่มสูงขึ้นอย่างมีนัยสำคัญทางสถิติ ในช่วง 24 ชั่วโมง ( $p<0.05$ ) และสัปดาห์ที่ 2 ภายหลังการผ่าตัด ( $p<0.001$ ) ซึ่งในสัปดาห์ที่ 2 ภายหลังการผ่าตัดจะมีระดับสูงสุด จากนั้นเริ่มลดลงในสัปดาห์ที่ 6 ภายหลังการผ่าตัด แต่จนถึงสัปดาห์ที่ 26 ระดับ ESR 低กว่าก่อนการผ่าตัดอย่างมีนัยสำคัญทางสถิติ (รูปที่ 10) และว่าหลังจากได้รับการผ่าตัดจนถึงสัปดาห์ที่ 26 ระดับ ESR ของผู้ป่วยสูงกว่าระดับก่อนการผ่าตัด

สถาบันวิทยบริการ  
จุฬาลงกรณ์มหาวิทยาลัย



รูปที่ 10

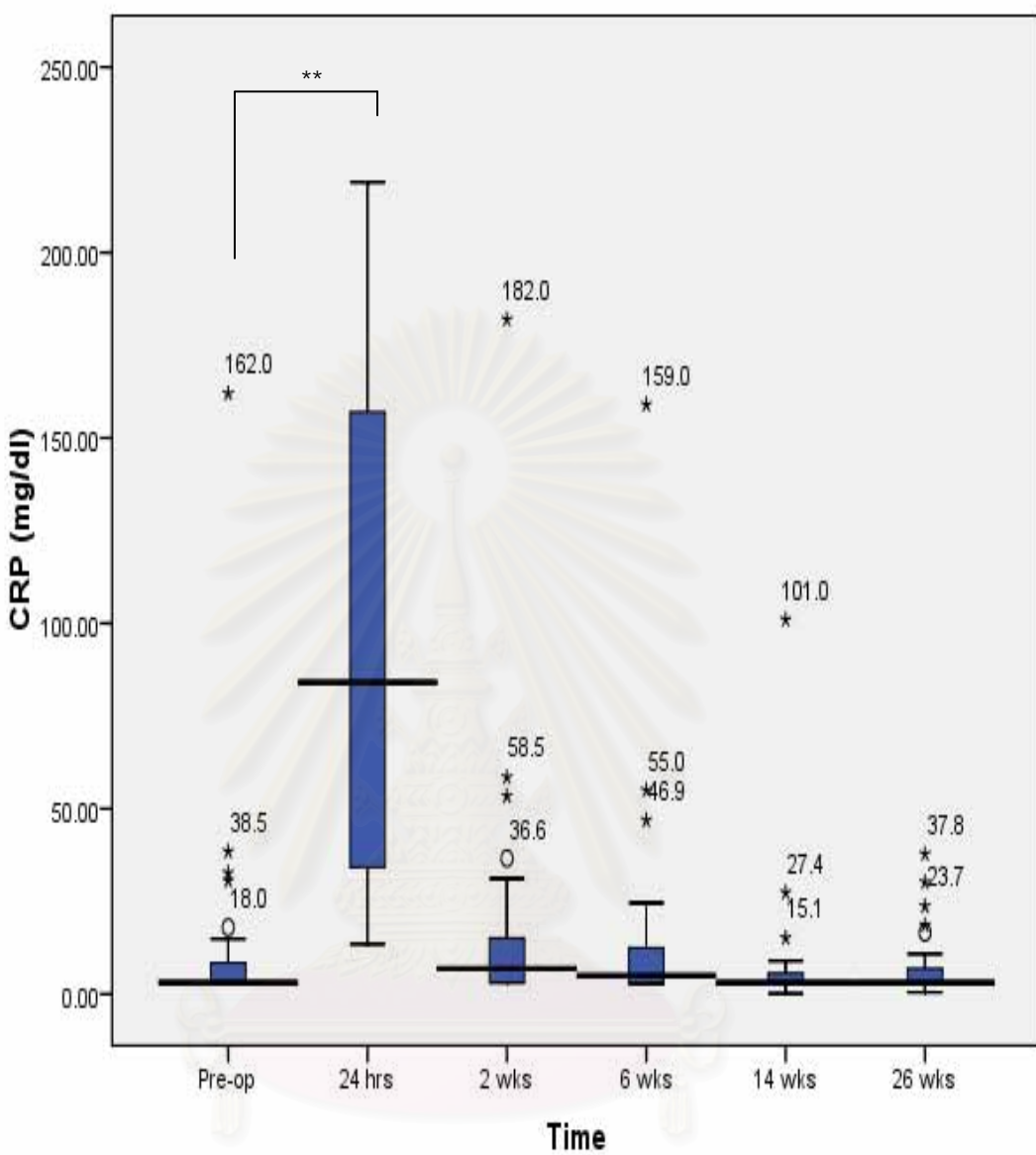
กราฟแสดงความเปลี่ยนแปลงของ ESR ในเวลาที่แตกต่างกัน

(\*\* p< 0.001, \*\*\* p< 0.05)

การวัด CRP ของผู้ป่วยที่ได้รับการผ่าตัดเปลี่ยนข้อเข่าเทียม พบว่า ในช่วงก่อนการผ่าตัด, 24 ชั่วโมง, 2, 6, 14 และ 26 สปดาห์ภายหลังการผ่าตัด ค่ามีนัยสำคัญ (เปอร์เซ็นต์ไทล์ที่ 50) มีค่าเท่ากับ 3.12, 84.10, 6.87, 5.02, 3.12 และ 3.12 mg/dl ตามลำดับ จากกราฟแสดงให้เห็นโดยใช้เส้นสีดำแบ่งช่วงกลางระหว่าง box ของกราฟ ขอบล่างของ box แสดงถึงค่าเปอร์เซ็นต์ไทล์ที่ 25 มีค่าเท่ากับ 3.12, 34.20, 3.12, 3.12, 3.12 และ 3.12 mg/dl ตามลำดับ ส่วนขอบบนของ box แสดงค่าเปอร์เซ็นต์ไทล์ที่ 75 มีค่าเท่ากับ 8.45, 158.50, 15.13, 12.98, 5.83 และ 8.45 mg/dl ตามลำดับ สัญลักษณ์<sup>0</sup> แทนค่า outlier ที่สูงกว่าเปอร์เซ็นต์ไทล์ที่ 95 สัญลักษณ์\* แสดงถึง outlier มากกว่า 3 เท่า มีซึ่งพบว่ามีหลายค่า (รูปที่ 11)

พบว่า ใน 24 ชั่วโมงภายหลังการผ่าตัด จะมีระดับ CRP สูงขึ้นอย่างมีนัยสำคัญทางสถิติเมื่อเปรียบเทียบกับก่อนการผ่าตัด ( $p < 0.001$ ) จากนั้นจะเริ่มลดลงในสปดาห์ที่ 2 ภายหลังการผ่าตัดโดยจะลดลงจนใกล้เคียงกับก่อนการผ่าตัดในสปดาห์ที่ 26 ภายหลังการผ่าตัด (รูปที่ 11) ตั้งนั้น CRP สามารถลดลงจนใกล้เคียงกับก่อนการผ่าตัดได้ตั้งแต่ในสปดาห์ที่ 2 หลังจากได้รับการผ่าตัด หลังจากสปดาห์ที่ 2 ภายหลังการผ่าตัดไม่พบว่ามีความแตกต่างกันอย่างมีนัยสำคัญทางสถิติเมื่อเปรียบเทียบกับค่าก่อนการผ่าตัด

## สถาบันวิทยบริการ จุฬาลงกรณ์มหาวิทยาลัย



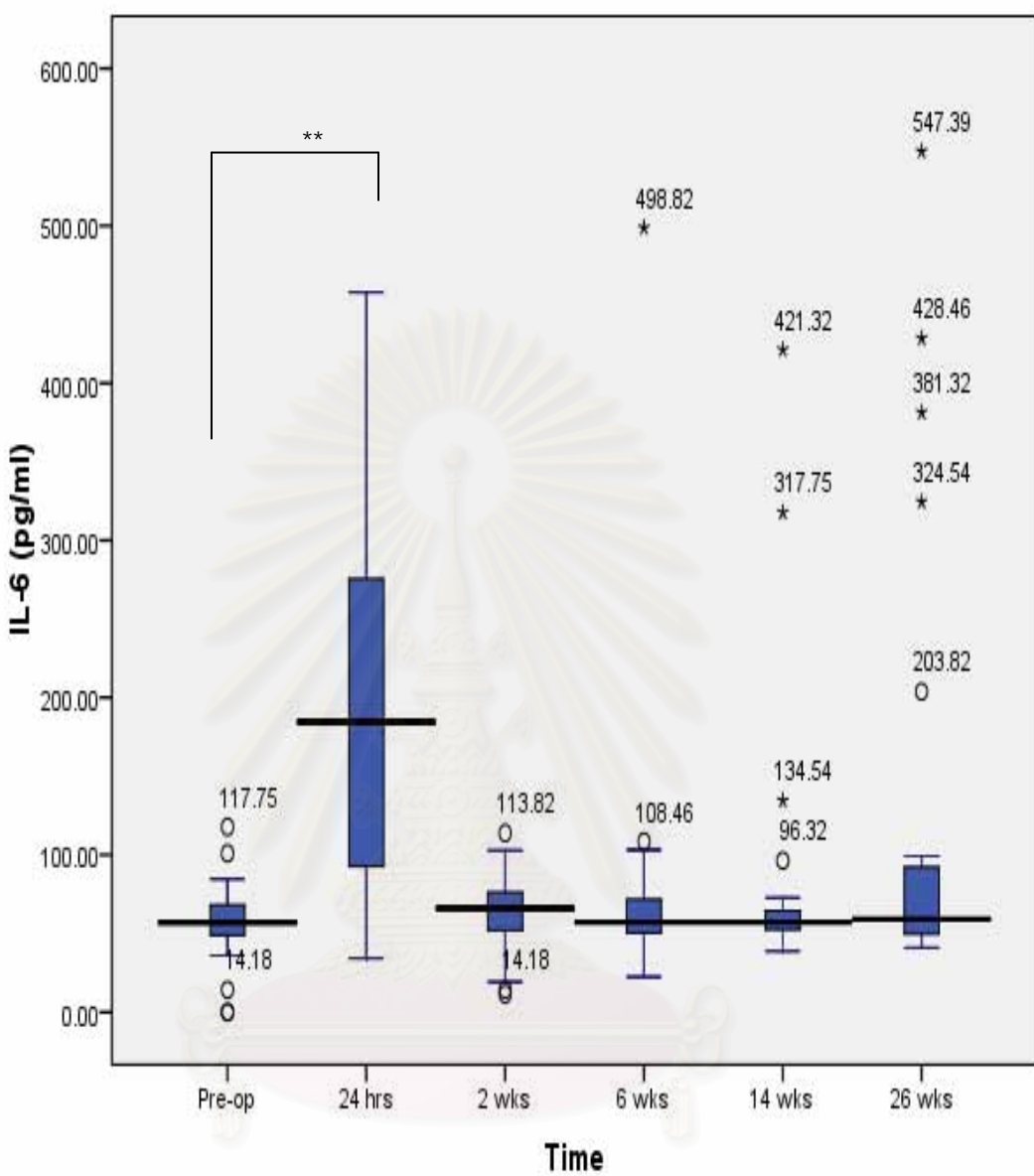
รูปที่ 11

กราฟแสดงความเปลี่ยนแปลงของ CRP ในเวลาที่แตกต่างกัน (\*\*p<0.001)

ระดับของ IL-6 ของผู้ป่วยที่ได้รับการผ่าตัดเปลี่ยนข้อเข่าเทียม พบว่าในช่วงก่อนการผ่าตัด, 24 ชั่วโมง, 2, 6, 14 และ 26 สัปดาห์ภายหลังการผ่าตัด ค่ามัธยฐาน (เปอร์เซ็นต์ไทล์ที่ 50) มีค่าเท่ากับ 55.96, 173.95, 66.32, 55.31, 55.79 และ 55.96 pg/ml ตามลำดับ จากกราฟแสดงให้เห็นโดยใช้เส้นสีดำแบ่งตรงกลางระหว่าง box ของกราฟ ขอบล่างของ box แสดงถึงค่าเปอร์เซ็นต์ไทล์ที่ 25 มีค่าเท่ากับ 40.25, 79.71, 51.77, 48.73, 40.25 และ 40.25 pg/ml ตามลำดับ ส่วนขอบบนของ box แสดงค่าเปอร์เซ็นต์ไทล์ที่ 75 มีค่าเท่ากับ 62.04, 271.95, 77.31, 70.61, 63.82 และ 62.04 pg/ml ตามลำดับ สัญลักษณ์<sup>0</sup> แทนค่า outlier ที่สูงกว่าเปอร์เซ็นต์ไทล์ที่ 95 สัญลักษณ์\* แสดงถึง outlier มากกว่า 3 เท่าเมื่อพบร่วมมือหลายค่า (รูปที่ 13)

พบว่า ในช่วง 24 ชั่วโมงภายหลังการผ่าตัด IL-6 มีระดับสูงกว่าก่อนการผ่าตัดอย่างมีนัยสำคัญทางสถิติ ( $p < 0.001$ ) จากนั้นเริ่มลดลงใกล้เคียงกับก่อนการผ่าตัดในสัปดาห์ที่ 2 จนถึง สัปดาห์ที่ 26 ภายหลังการผ่าตัด (รูปที่ 13) แสดงว่า IL-6 สามารถลดระดับใกล้เคียงกับก่อนการผ่าตัดตั้งแต่สัปดาห์ที่ 2 เช่นเดียวกับ CRP โดยหลังจากสัปดาห์ที่ 2 ภายหลังการผ่าตัดไม่พบร่วมมีความแตกต่างกันอย่างมีนัยสำคัญทางสถิติเมื่อเปรียบเทียบกับค่าก่อนการผ่าตัด

## สถาบันวิทยบริการ จุฬาลงกรณ์มหาวิทยาลัย



รูปที่ 12

กราฟแสดงความเปลี่ยนแปลงของ IL-6 ในเวลาที่แตกต่างกัน (\*\* p <0.001)

## ผลของการเปลี่ยนแปลงอุณหภูมิผิวนังบวมข้อเข่า

ค่าเฉลี่ยของอุณหภูมิผิวนังบวมข้อเข่าหลังได้รับการผ่าตัดที่ 2, 6, 14 และ 26 สัปดาห์ คือ  $36.4, 36.2, 35.7$  และ  $34.6^{\circ}\text{C}$  ตามลำดับ ส่วนในข้างที่ไม่ได้รับการผ่าตัดมีค่าเฉลี่ยอยู่ที่  $31.8, 32.5, 33.1$  และ  $33.0$  เซ็นติเมตร (ตารางที่ 12)

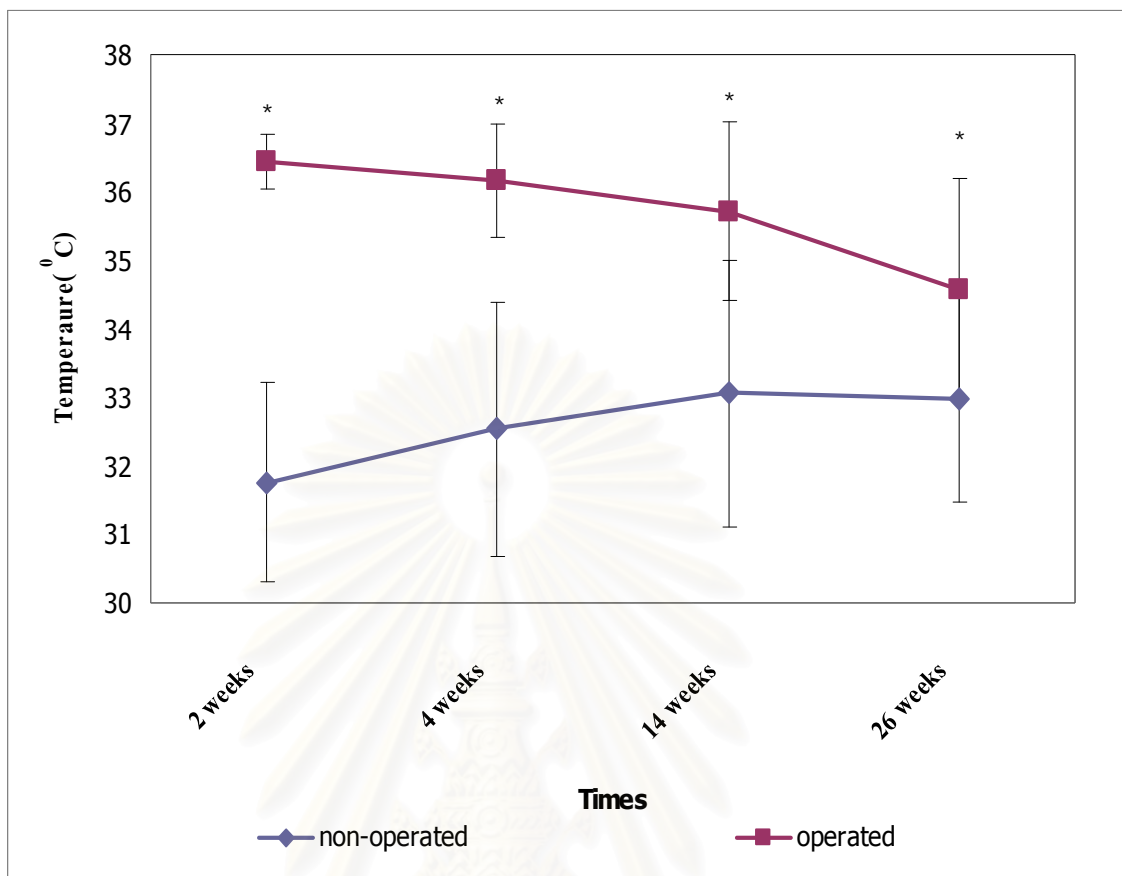
	2 weeks	6 weeks	14 weeks	26 weeks
Non-operated knee	$31.8 \pm 1.45$	$32.5 \pm 1.86$	$33.1 \pm 1.95$	$33.0 \pm 1.51$
Operated knee	$36.4 \pm 0.40$	$36.2 \pm 1.87$	$35.7 \pm 1.30$	$34.6 \pm 1.61$

ตารางที่ 12 ค่าเฉลี่ยของอุณหภูมิผิวนังบวมข้อเข่าที่ได้รับการผ่าตัดเปรียบเทียบกับข้อเข่าอีกข้างที่ไม่ได้รับการผ่าตัดเปลี่ยนข้อเข่าเทียม

พบว่าลดลงระยะเวลาการตรวจวัดเข้าข้างที่ได้รับการผ่าตัดเปลี่ยนข้อเข่าเทียมจะมีอุณหภูมิสูงกว่าเข่าที่ไม่ได้รับการผ่าตัดโดยมีความแตกต่างอย่างมีนัยสำคัญทางสถิติ ( $p < 0.001$ ) (รูปที่ 14) จะเห็นได้ว่าอุณหภูมิบริเวณผิวนังบวมข้อเข่าที่ได้รับการผ่าตัดจะเริ่มแน่นในมลดลงตามลำดับจนถึงสัปดาห์ที่ 26 อุณหภูมิจึงใกล้เคียงกันเข้าอีกข้างที่ไม่ได้รับการผ่าตัด

โดยเข่าที่ได้รับการผ่าตัด พบร่วมกับอุณหภูมิผิวนังบวมข้อเข่าในสัปดาห์ที่ 14 และสัปดาห์ที่ 26 ภายหลังการผ่าตัดลดลงอย่างมีนัยสำคัญทางสถิติ ( $p < 0.05$ ) เมื่อเทียบกับอุณหภูมิกายหลังการผ่าตัดในสัปดาห์ที่ 2 แสดงว่าอุณหภูมิผิวนังบวมข้อเข่าลดลงช้าที่สุดเมื่อเปรียบเทียบกับตัวชี้วัดอื่นๆ

สถาบันวิทยบริการ  
จุฬาลงกรณ์มหาวิทยาลัย



รูปที่ 13 กราฟแสดงการเปลี่ยนแปลงของอุณหภูมิบริเวณเข่าทั้ง 2 ข้างของผู้ป่วยที่ได้รับการผ่าตัดเปลี่ยนข้อเข่าเทียม ในช่วงเวลาที่แตกต่างกัน (\* p < 0.001)

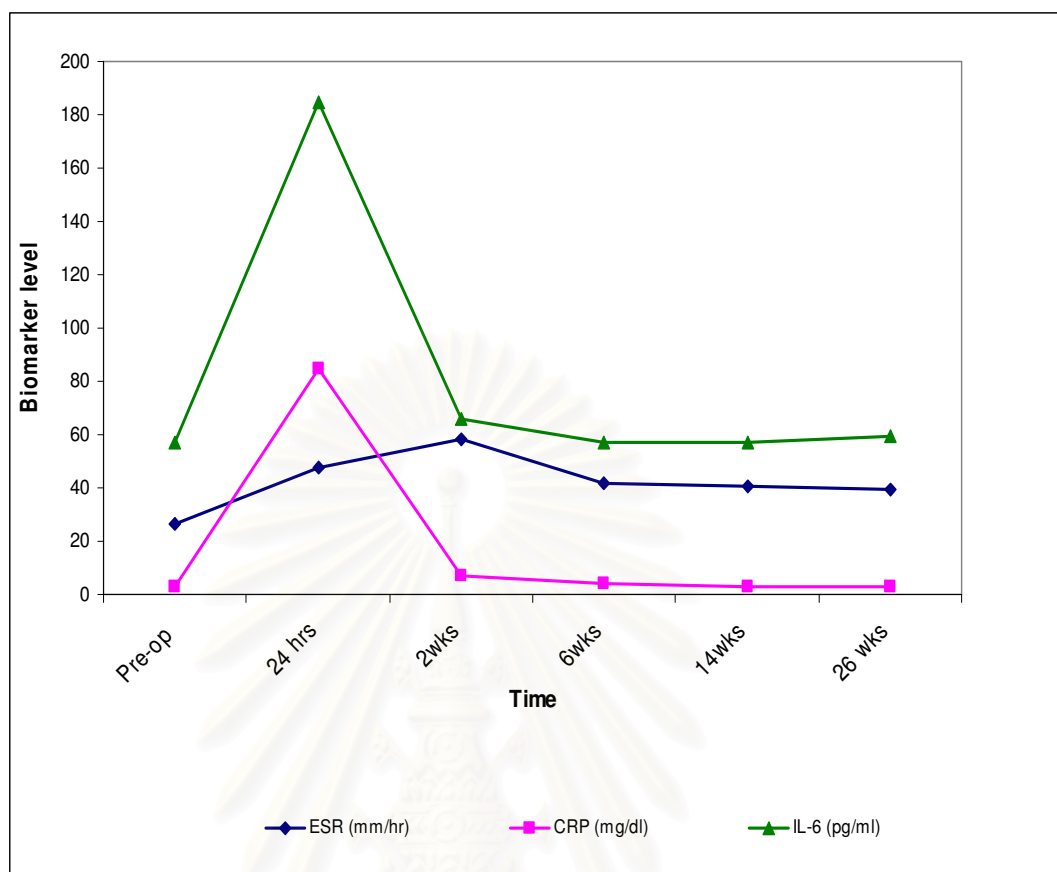
สถาบันวิทยบริการ  
จุฬาลงกรณ์มหาวิทยาลัย

## ผลการเปรียบเทียบความสัมพันธ์ของตัวชี้วัด

จากการเปรียบเทียบตัวชี้วัดทั้ง 3 ตัวดังกล่าว (รูปที่ 13) จะเห็นได้ว่าระดับ CRP และ IL-6 ในช่วง 24 ชั่วโมงภายหลังการผ่าตัด เพิ่มสูงมากกว่าก่อนการผ่าตัด 28 และ 3 เท่าตามลำดับ และมีระดับสูงขึ้นถึงระดับสูงสุดได้เร็วกว่า ESR ซึ่งจะมีระดับสูงสุดในช่วงสัปดาห์ที่ 2 ภายหลังการผ่าตัด หลังจากนั้นทั้ง IL-6 และ CRP จึงเริ่มลดลงใกล้เคียงกับค่าก่อนการผ่าตัดในช่วงสัปดาห์ที่ 2 ภายหลังการผ่าตัดแต่ ESR จะเริ่มลดลงในสัปดาห์ที่ 6

เมื่อทำการวิเคราะห์ความสัมพันธ์ทางสถิติโดยใช้ Spearman พบร่วมก่อนการผ่าตัดไม่พบความสัมพันธ์อย่างมีนัยสำคัญทางสถิติกับตัวชี้วัดใด ในช่วง 24 ชั่วโมงภายหลังการผ่าตัด พบร่วมระดับของ ESR และ CRP มีความสัมพันธ์กันอย่างมีนัยสำคัญทางสถิติ ( $p <0.001$  และ  $r =0.651$ ) ในสัปดาห์ที่ 2 ภายหลังการผ่าตัดมีความสัมพันธ์อย่างมีนัยสำคัญทางสถิติของ ESR และ CRP ( $p <0.001$  และ  $r=0.665$ ) ESR และ IL-6 ( $p=0.013$  และ  $r=0.434$ ) CRP และ IL-6 ( $p=0.001$  และ  $r=0.539$ ) ส่วนในสัปดาห์ที่ 26 ภายหลังการผ่าตัด ระดับของ ESR และ CRP มีความสัมพันธ์กันอย่างมีนัยสำคัญทางสถิติ ( $p=0.013$  และ  $r=0.441$ ) ส่วน IL-6 และ CRP มีความสัมพันธ์กันอย่างมีนัยสำคัญทางสถิติเช่นกัน ( $p=0.03$  และ  $r=0.452$ ) อีกทั้งยังพบว่าคุณภาพมีผิวนังบุรี wen ซึ่ก็เช่นกันไม่มีความสัมพันธ์กันอย่างมีนัยสำคัญกับตัวชี้วัดใดเลย

สถาบันวิทยบริการ  
จุฬาลงกรณ์มหาวิทยาลัย

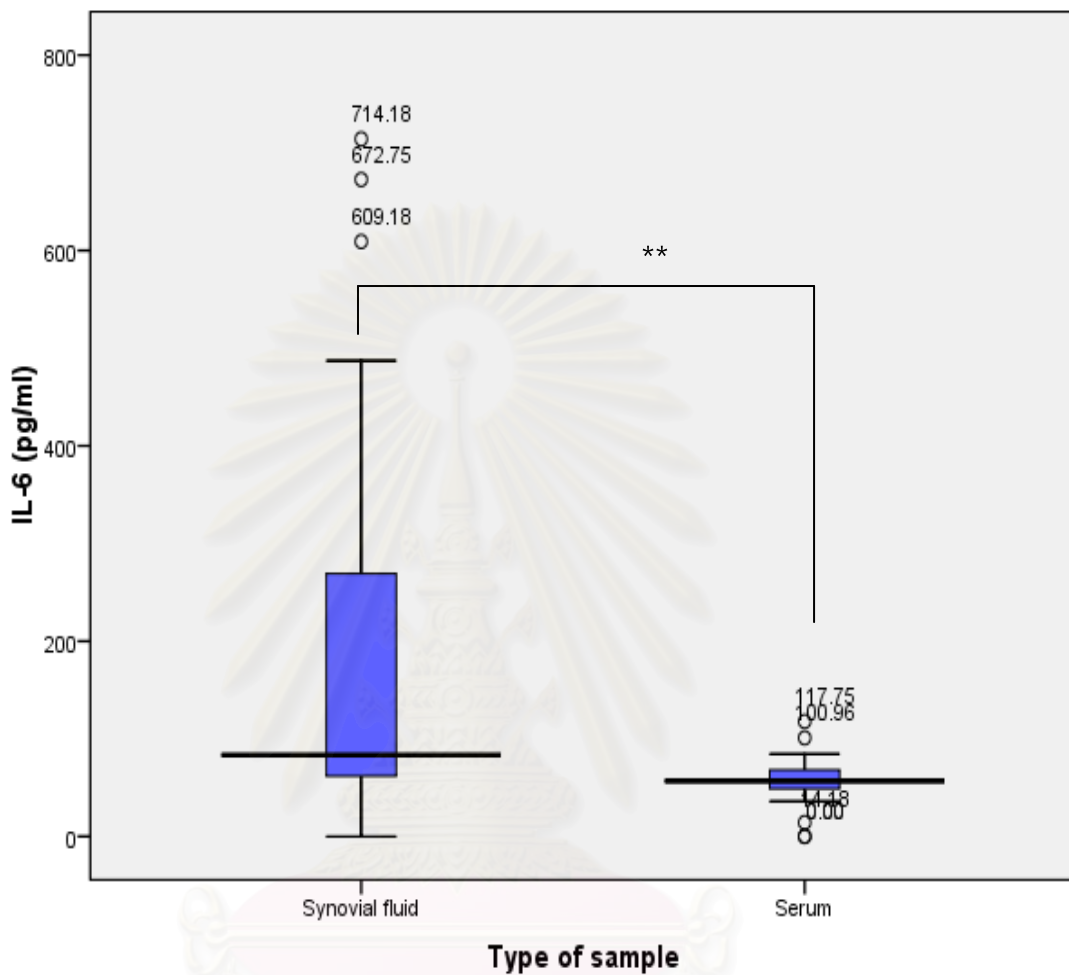


รูปที่ 14

กราฟแสดงความเปลี่ยนแปลงของ biomarker ในเวลาที่แตกต่างกัน

สถาบันวิทยบริการ  
จุฬาลงกรณ์มหาวิทยาลัย

## ความสัมพันธ์ของระดับ IL-6 ในน้ำไขข้อและในชีรั่ม



อุปที่ 15

กราฟแสดงการเปรียบเทียบระดับของ IL-6 ในน้ำไขข้อและในชีรั่ม ( $p < 0.001$ )

ระดับ IL-6 จากน้ำไขข้อมีค่ามัธยฐานเท่ากับ 87.03 pg/ml โดยมีค่าเบอร์เซ็นต์ไทล์ที่ 25 ซึ่งเป็นขอบล่างของ box และเบอร์เซ็นต์ไทล์ที่ 75 ขอบบนของ box เท่ากับ 62.13 และ 269.45 pg/ml ตามลำดับ ส่วนชีรั่มมีค่ามัธยฐานเท่ากับ 56.86 pg/ml ค่าเบอร์เซ็นต์ไทล์ที่ 25 และ 75 เท่ากับ 48.73 และ 68.74 pg/ml ตามลำดับ พบร่วมระดับ IL-6 จากน้ำไขข้อจะมีค่าสูงกว่าชีรั่ม ก่อนการผ่าตัดอย่างมีนัยสำคัญทางสถิติ ( $p < 0.001$ ) เนื่องมาจากน้ำไขข้อจะบ่งบอกถึงการอักเสบของแพลงก์ตอนผ่าตัดจาก local response ทำให้มีค่าสูงกว่าในชีรั่มซึ่งเป็น systemic response

## ผลการศึกษา restriction enzyme ที่เหมาะสมต่อ IL-6 polymorphism

จากการส่งตรวจลำดับเบสของ SNP IL-6 (ตารางที่13) ในกลุ่มของผู้ป่วยที่เป็นโรคข้อเข่าเสื่อมและกลุ่มควบคุมซึ่งเป็นคนปกติที่มาเข้ารับการตรวจสุขภาพประจำปี พบว่าเอนไซม์ SfaNI (Lwel) เหมาะสมต่อการใช้เป็น restriction enzyme เพื่อตรวจหาจีโนไทป์ของ SNP IL-6 ที่ตำแหน่ง -174

ชนิด	ลำดับเบส
osteoarthritis	CTGATTGGAAACCTTATTAGGATTGTGCAATGTGACGTCCTTA GCATCGCAAGACACAACTAGGGGGAAAAGTGCAGCTTAGGTC GTCATTGAGGCTAGCGCTAAGAACGAGAACACTCTTCCTTTA CTTTCTTTTTCTTTATTAGTGAUTCAGCACTTGGCATGTCTT GACAAAGAGTAAAGCTGAAGTCA
control	CTGATTGGAAACCTTATTAGGATTGTGCAATGTGACGTCCTTA GCATCGCAAGACACAACTAGGGGGAAAAGTGCAGCTTAGGTC GTCATTGAGGCTAGCGCTAAGAACGAGAACACTCTTCCTTTA CTTTCTTTTTCTTTATTAGTGAUTCAGCACTTGGCATGTCTT GACAAAGAGTAAAGCTGAAGTCAA

ตารางที่ 13 ลำดับเบสของ IL-6 ในผู้ป่วยข้อเข่าเสื่อมและกลุ่มควบคุม

สถาบันวิทยบริการ  
จุฬาลงกรณ์มหาวิทยาลัย

## ผลการตรวจหาจีโนไทป์ของ SNP IL-6

จากการทำ PCR เพื่อเพิ่มปริมาณดีเอ็นเอของ SNP IL-6 ที่ตำแหน่ง -174 จะได้  
แบบดีเอ็นเอที่มีขนาด 198 bp (รูปที่ 15)



รูปที่ 16

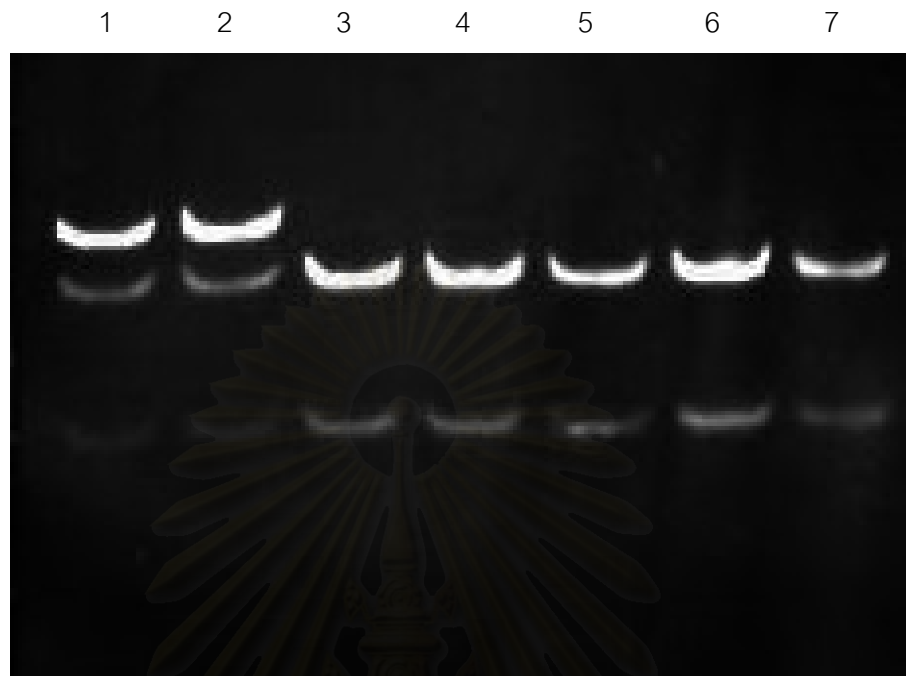
ดีเอ็นเอกจากการทำ PCR ขนาด 198 bp

แกลวี่ 1 DNA marker 100 bp

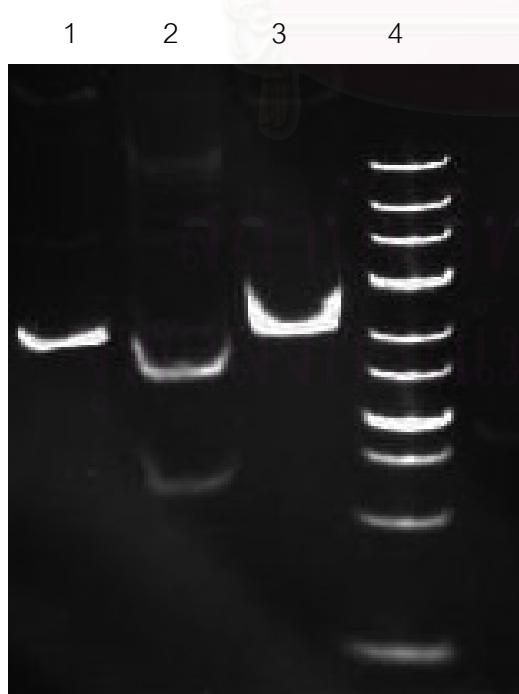
แกลวี่ 2 Negative control

แกลวี่ 3-12 PCR product

เมื่อนำไปตัดด้วยเอนไซม์ SfaNI พบร่อง IL-6 ที่ตำแหน่ง -174 มี 3 รูปแบบ คือ GG มีชิ้นส่วนของดีเอ็นเอ 2 ชิ้น คือ 140 และ 58 bp , GC มีชิ้นส่วนดีเอ็นเอ 3 ชิ้น ขนาด 198, 140 และ 58 bp และ CC ซึ่งเอนไซม์ไม่สามารถตัดได้ด้วยเอนไซม์ SfaNI จะมีชิ้นส่วนของดีเอ็นเอ 1 ชิ้นขนาด 198 bp (รูปที่ 16,17)



รูปที่ 17 ลักษณะของดีเอ็นเอยในแบบจีโนไทป์ต่าง ๆ  
 แฉวที่ 1-2 GC (heterozygous)  
 แฉวที่ 3-7 GG (homozygous)



รูปที่ 18 ลักษณะของดีเอ็นเอยในแบบจีโนไทป์ต่าง ๆ  
 แฉวที่ 1 CC (homozygous)  
 แฉวที่ 2 GG (homozygous)  
 แฉวที่ 3 PCR product  
 แฉวที่ 4 DNA marker 50 bp

จากการศึกษาพบว่าในกลุ่มผู้ป่วยข้อเข่าเสื่อมมีการกระจายตัวของจีโนไทป์ GG, GC และ CC เป็น 53, 16 และ 1 ตามลำดับ ส่วนในกลุ่มควบคุมมีความถี่ของจีโนไทป์ GG, GC และ CC เป็น 88, 12 และ 0 ตามลำดับ แสดงเห็นได้ว่าจีโนไทป์ GC ในผู้ป่วยมีสัดส่วนสูงกว่าประมาณ 2 เท่าของกลุ่มควบคุม (22.9 และ 12% )

อัลลีล G และ C ในกลุ่มผู้ป่วยมีการกระจายตัวเป็น 122 และ 18 ตามลำดับ ส่วนในกลุ่มควบคุมเป็น 188 และ 12 ตามลำดับ อัตราส่วนของเพศชาย/เพศหญิงในกลุ่มผู้ป่วยเป็น 14/56 ส่วนในกลุ่มควบคุมเป็น 30/70

		OA (n=70)		Control (n=100)	
Genotype	n	percentage	n	percentage	
G/G	53	75.7	88	88	
G/C	16	22.9	12	12	
C/C	1	1.4	0	0	
Alleles					
G	122	87.1	188	94	
C	18	12.9	12	6	
Sex					
Male	14	20	30	30	
Female	56	80	70	70	

ตารางที่ 14 การกระจายตัวของจีโนไทป์, อัลลีลของ IL-6 และเพศ

จากการวิเคราะห์โดยใช้สถิติ logistic regression พบร่วมในไทย GC และเพศ หญิงมีอัตราการเสี่ยงต่อการเป็นโรคข้อเข่าเสื่อม โดยมี odds ratio อよุที่ 2.21 และ 1.71 ตามลำดับแต่ไม่มีนัยสำคัญทางสถิติ ( $p > 0.05$ ) ส่วนจีโนไทป์ CC ไม่พบอุบัติการณ์ในกลุ่มควบคุม เฉย ดังนั้นจีโนไทป์ดังกล่าวไม่น่าจะมีความเสี่ยงต่อการเกิดโรคนี้

	Odds ratio	95% CI	p
G/C genotype	2.21	0.97-5.04	0.06
Sex F	1.71	0.83-3.54	0.15

ตารางที่ 15 ปัจจัยที่มีผลต่อความเสี่ยงต่อการเกิดโรคข้อเข่าเสื่อมวิเคราะห์โดยใช้ logistic regression

สถาบันวิทยบริการ  
จุฬาลงกรณ์มหาวิทยาลัย

## บทที่ 5

### สรุปผลการวิจัย อภิปรายผล และข้อเสนอแนะ

#### สรุปผลการวิจัย

การผ่าตัดเปลี่ยนข้อเข่าเทียมเป็นวิธีการรักษาผู้ป่วยข้อเข่าเสื่อมที่มีอาการรุนแรง ผู้ป่วยส่วนใหญ่เป็นผู้สูงอายุ สิ่งที่แพทย์จะหนักถึงการอักเสบของแผลภายหลังการผ่าตัดจึงเป็นเรื่องที่สำคัญ ตัวชี้วัดที่สามารถบอกถึงการอักเสบได้รวดเร็วจึงเป็นเครื่องมือที่สำคัญสำหรับการตรวจติดตามอาการอักเสบที่ดี ดังนั้นการวิจัยในครั้งนี้จึงศึกษาความสัมพันธ์ของตัวชี้วัดการอักเสบของผู้ป่วยที่ได้รับการผ่าตัดเปลี่ยนข้อเข่าเทียม

การวิจัยครั้งนี้ใช้ตัวอย่างจากผู้ป่วยที่มารับการผ่าตัดเปลี่ยนข้อเข่าเทียม แผนกอโพร์บิดิกส์ โรงพยาบาลจุฬาลงกรณ์ มีจำนวนทั้งสิ้น 52 ราย เป็นชาย 8 รายและหญิง 44 ราย อายุเฉลี่ย 69.2 ปี ผลจากการวิจัยพบว่าระดับ ESR เพิ่มขึ้นสูงสุดในสัปดาห์ที่ 2 ภายหลังการผ่าตัดและเริ่มลดลงในสัปดาห์ที่ 6 ภายหลังการผ่าตัดโดยลดลงจนมีค่าใกล้เคียงกับก่อนได้รับการผ่าตัด (รูปที่ 10)

สำหรับ CRP และ IL-6 จะมีค่าสูงสุดใน 24 ชั่วโมงภายหลังการผ่าตัด จากนั้นระดับเริ่มลดลงในสัปดาห์ที่ 2 ภายหลังการผ่าตัด โดยเมื่อพิจารณาจากกราฟ (รูปที่ 11, 12) จะเห็นว่า IL-6 ใน 24 ชั่วโมงหลังการผ่าตัด มีระดับสูงกว่าก่อนการผ่าตัดประมาณ 3 เท่า ในขณะที่ CRP ใน 24 ชั่วโมงหลังได้รับการผ่าตัดมีค่าสูงกว่าก่อนได้รับการผ่าตัดประมาณ 28 เท่า

ดังนั้น CRP และ IL-6 สามารถใช้ในการประเมินภาวะการอักเสบภายหลังการผ่าตัดของผู้ป่วยข้อเข่าเสื่อมที่ได้รับการผ่าตัดเปลี่ยนข้อเข่าเทียมได้ดีกว่า ESR เนื่องจากใช้เวลาการเปลี่ยนแปลงได้รวดเร็ว

การตรวจวัดอุณหภูมิผิวนังบวมเรณข้อเข่าภายหลังได้รับการผ่าตัดพบว่า อุณหภูมิบริเวณผิวนังของเข่าที่ได้รับการผ่าตัดสูงกว่าข้างที่ไม่ได้รับการผ่าตัดโดยมีความแตกต่างกันอย่างมีนัยสำคัญทางสถิติ ( $p < 0.001$ ) หลังจากนั้นจึงเริ่มลดลงการผ่าตัดในสัปดาห์ที่ 2 ภายหลังได้รับการผ่าตัดและมีค่าใกล้เคียงกับข้างที่ไม่ได้รับการผ่าตัดในสัปดาห์ที่ 26 ภายหลังการผ่าตัด ดังนั้นคุณหภูมิผิวนังบวมเรณข้อเข่านำมาใช้ในการประเมินภาวะการอักเสบภายหลังการผ่าตัดได้เพียงเบื้องต้นเท่านั้น เนื่องจากใช้ระยะเวลานานกว่ามีค่าใกล้เคียงกับปกติ (รูปที่ 14)

จากการที่พบว่าอุณหภูมิผิวนังบวมเรนข้อเข่าจะลดลงซึ่กาว่าตัวชี้วัดอื่นและยังพบว่าอุณหภูมิข้างที่ไม่ได้รับการผ่าตัดจะมีค่าอุณหภูมิสูงขึ้นอาจเป็น เพราะตั้งแต่ช่วงหลังการผ่าตัด 2 สัปดาห์เป็นต้นไป ผู้ป่วยมักจะมีกิจกรรมมากขึ้นทำให้การใช้งานของข้อหน้าก็ขึ้นจึงอาจทำให้อุณหภูมิเพิ่มสูงขึ้นโดยไม่ได้มีการอักเสบซึ่งเป็นเรื่องปกติที่จะเกิดขึ้นได้

ดังนั้นก่อนการผ่าตัดพบว่าไม่มีตัวชี้วัดใดที่มีความสัมพันธ์กันอย่างมีนัยสำคัญทางสถิติ ( $p>0.05$ ) แต่ภายหลังได้รับการผ่าตัดในสัปดาห์ที่ 26 ระดับของ ESR กับ CRP และ IL-6 กับ CRP มีความสัมพันธ์กันอย่างมีนัยสำคัญทางสถิติ ( $p < 0.05$ )

Biomarker	ช่วงเวลาที่ระดับสูงสุด (ภายหลังการผ่าตัด)	
	การศึกษาครั้งนี้	การศึกษาที่ผ่านมา
ESR	2 สัปดาห์	5 วัน <sup>(4, 19)</sup>
CRP	24 ชั่วโมง	1-2 วัน <sup>(18)</sup> 2 วัน <sup>(4,19,20)</sup> 5-7 วัน <sup>(22)</sup>
IL-6	24 ชั่วโมง	12 ชั่วโมง <sup>(20)</sup> 24 ชั่วโมง <sup>(21)</sup>
อุณหภูมิผิวนังบวมเรนข้อเข่า	2 สัปดาห์	5-7 วัน <sup>(22)</sup> 1 วัน <sup>(23)</sup>

ตารางที่ 16 การเปรียบเทียบช่วงเวลาที่ระดับของตัวชี้วัดขึ้นสูงสุดในผู้ป่วยผ่าตัดเปลี่ยนข้อเข่า เทียบระหว่างการศึกษาในครั้งนี้และการศึกษาที่ผ่านมา

ดังนั้นจากการศึกษาในผู้ป่วยผ่าตัดเปลี่ยนข้อเข่าเทียมสามารถนำรูปแบบของ การเปลี่ยนแปลงของตัวชี้วัดต่าง ๆ ที่ได้ทำการศึกษาในครั้งนี้สามารถนำมาใช้ประเมินการอักเสบ ภายหลังการผ่าตัดได้ โดยที่หากค่าสูงกว่าค่าที่ศึกษาได้ในช่วงเวลาหนึ่งอาจทำให้แพทย์พิจารณาถึง ความผิดปกติที่อาจเกิดขึ้นได้ภายหลังการผ่าตัด เช่น การอักเสบที่อาจเกิดจากภาระรวมของข้อ เข่าเทียมหรือการที่มุ่งผิดปกติไปจากเดิม เป็นต้น ทำให้สามารถประเมินได้ว่าดีหรือไม่ ผู้ป่วยแสดงอาการได้

โรคข้อเข่าเสื่อมในปัจจุบันพบว่า มีหลายปัจจัยที่ทำให้มีความเสี่ยงต่อการเกิดโรค แต่ก็เหตุผลสำหรับการเกิดโรคดังกล่าวที่เป็นไปได้คือ การมีความหลากหลายทางพันธุกรรม จาก การศึกษาที่ผ่านมาจีโนไทป์ของ SNP มีผลต่อความเสี่ยงของการเกิดโรคข้อเสื่อม ดังนั้นการวิจัยนี้ จึงศึกษาถึงลักษณะของจีโนไทป์ของ SNP IL-6 เพื่อหาปัจจัยเสี่ยงที่ทำให้เกิดโรคข้อเข่าเสื่อมได้

การศึกษาร่วมนี้ได้ทำการศึกษาโดยแบ่งกลุ่มออกเป็น 2 กลุ่ม คือ กลุ่มผู้ป่วยข้อ เข่าเสื่อมจำนวน 70 ราย เป็นชาย 14 ราย (20%) หญิง 56 ราย (80%) และ กลุ่มควบคุม 100 ราย เป็นชาย 30 ราย (30%) หญิง 70 ราย (70%) พบร้า SNP IL-6 ตำแหน่ง -174 มีลักษณะจีโนไทป์ 3 แบบ คือ GG, GC และ CC โดยทั้งในกลุ่มผู้ป่วยและกลุ่มควบคุมจะมีจีโนไทป์ GG มากที่สุด คือ 53 (75.7%) และ 88 (88%) รายตามลำดับ ส่วนจีโนไทป์ GC ในกลุ่มผู้ป่วยพบ 16 ราย (22.9%) และในกลุ่มควบคุม 12 ราย (12%) ซึ่งในผู้ป่วยมีมากกว่าเกือบ 2 เท่า แต่จีโนไทป์ CC พบในกลุ่ม ผู้ป่วยเพียง 1 ราย (1.4%) เท่านั้นในขณะที่กลุ่มควบคุมไม่พบลักษณะของจีโนไทป์ดังกล่าว (ตารางที่ 14) และจากการใช้ logistic regression เพื่อวิเคราะห์ปัจจัยเสี่ยงที่ทำให้เกิดโรคข้อเข่า เสื่อม สรุปได้ว่า จีโนไทป์ GC และเพคทิฟิค มีอัตราเสี่ยงต่อการเกิดโรคข้อเข่าเสื่อมเป็น 2.21 และ 1.71 เท่าแต่ไม่มีนัยสำคัญทางสถิติ (ตารางที่ 15)

## อภิปรายผลการวิจัย

การเกิดโรคข้อเข่าเสื่อมมีสาเหตุมาจากหลายปัจจัย เช่น อายุ ประวัติการได้รับ การบาดเจ็บ ความอ้วน หรือ การรักษาโดยใช้ยาบางชนิด เป็นต้น<sup>(40)</sup> ซึ่งถ้ามีระดับของการเกิดโรค ที่รุนแรงการผ่าตัดเปลี่ยนข้อเข่าเทียมจึงเป็นอีกทางเลือกหนึ่งที่เป็นการรักษาในปัจจุบันซึ่งเป็น วิธีการรักษาที่แพร่หลายกันอย่างมาก เพื่อที่จะทำให้ผู้ป่วยสามารถกลับมาดำเนินชีวิตประจำวันได้อย่างปกติ ลักษณะที่จะตามมาภายหลังการผ่าตัดคือ ภาวะการอักเสบและการติดเชื้อ เป็นเรื่องสำคัญที่ควรพึงระวังอย่างมากเนื่องจากผู้ป่วยส่วนใหญ่จะเป็นผู้สูงอายุ

ปัจจุบันแพทย์จะใช้ ESR และ CRP ในการประเมินหรือตรวจติดตามภาวะการอักเสบของผู้ป่วยภัยหลังได้รับการผ่าตัดเปลี่ยนข้อเข่าเทียม จากการศึกษาที่ผ่านมาการตรวจวัด IL-6 ซึ่งอยู่ในกลุ่มของสารประภากำไธโอดีคิโน สามารถนำมาใช้ในการประเมินภาวะการอักเสบภัยหลังการผ่าตัดเปลี่ยนข้อเข่าเทียมได้<sup>(7)</sup> เนื่องจาก IL-6 เป็น proinflammatory cytokine ชนิดหนึ่งที่ถูกสร้างขึ้นมาจากเซลล์ monocytes หรือ macrophages เพื่อไปกระตุ้นเซลล์ตัวให้สร้าง CRP, fibrinogen, serum amyloid A, hepatoglobin และ complement<sup>(15)</sup> ทำให้ IL-6 จะสูงขึ้นก่อน CRP เมื่อมีภาวะการอักเสบเกิดขึ้น

โดยจากการศึกษาที่ผ่านมาในผู้ป่วยผ่าตัดเปลี่ยนข้อเข่าเทียมพบว่า IL-6 จะสูงสุดที่ 12 ชั่วโมงภัยหลังการผ่าตัดแล้วเริ่มลดลงหลังจากนั้น ส่วน CRP มีระดับสูงสุดในวันที่ 2 หลังการผ่าตัด<sup>(20)</sup> แต่จากการศึกษาในครั้งนี้ได้ทำการตรวจวัดในช่วง 24 ชั่วโมง ภัยหลังการผ่าตัดทำให้พบว่า IL-6 และ ESR มีระดับสูงสุดพร้อมกันในช่วงนี้ ทั้งที่ IL-6 ในช่วงวันดังกล่าวกำลังเริ่มลดลง ซึ่งเกิดจากข้อจำกัดในเรื่องของการเก็บตัวอย่างจึงไม่สามารถเก็บตัวอย่างเพื่อมาตรวจทุกชั่วโมงภัยหลังการผ่าตัดได้

สำหรับการศึกษา ESR ซึ่งเป็นการวัดอัตราการตกตะกอนของเม็ดเลือดแดง โดยเม็ดเลือดแดงจะเกาะกันเป็นกลุ่มทำให้ เมื่อมีการอักเสบทำให้ fibrinogen ในพลาสmaเพิ่มมากขึ้น จึงเกิดความหนืด เซลล์เม็ดเลือดแดงจึงตกได้ช้าลง ดังนั้นการที่ IL-6 เป็นตัวกระตุ้นให้เซลล์ตัวสร้าง fibrinogen มากขึ้นภัยหลังการอักเสบ จึงทำให้การวัด ESR เกิดมีการเปลี่ยนแปลงที่ช้ากว่า IL-6 และ CRP

การเปลี่ยนแปลงของอุณหภูมิผิวนังบวมขึ้นเข้า พบร่วมกับอุณหภูมิที่วัดได้มีค่า SD ที่ค่อนข้างกว้างมาก อาจเกิดเนื่องมาจากในผู้ป่วยแต่ละคนมีอุณหภูมิผิวนังบวมขึ้นเข้าแตกต่างกันในแต่ละภาวะแวดล้อมซึ่งเป็นผลให้อุณหภูมิบวมขึ้นเข้าสามารถแปรผันไปตามอุณหภูมิสภาวะแวดล้อมได้ เช่น กัน ดังนั้ออุณหภูมิผิวนังบวมขึ้นเข้าจึงสามารถนำมาใช้ในการประเมินภาวะการอักเสบได้เพียงเบื้องต้นเท่านั้น จากการศึกษา ก่อนหน้า พบร่วม 1-2 ปีภัยหลังการผ่าตัดเปลี่ยนข้อเข่าเทียมอุณหภูมิผิวนังบวมขึ้นเข้าข้างที่ได้รับการผ่าตัดเปรียบเทียบกับข้างที่ไม่ได้รับการผ่าตัดไม่มีความแตกต่างกันอย่างมีนัยสำคัญทางสถิติ<sup>(23)</sup>

ในการศึกษาครั้งนี้ผู้ทำการวิจัยได้ทำการเก็บน้ำไขข้อของผู้ป่วยที่ได้รับการเปลี่ยนข้อเข่าเทียม พบร่วมค่า IL-6 สูงกว่าในช่วงก่อนการผ่าตัดประมาณ 3 เท่า โดยมีค่าเฉลี่ย 180.54 และ 57.0 pg/ml ตามลำดับ ซึ่งในการวิจัยไม่สามารถเก็บน้ำไขข้อภัยหลังการผ่าตัดได้จึงไม่สามารถนำมาเปรียบเทียบความสัมพันธ์ของ IL-6 ในน้ำไขข้อและในเลือด ภัยหลังการผ่าตัดได้แต่จากการวิจัยของ Lisowska B ในปี ค.ศ. 2007 ได้เปรียบเทียบระดับ IL-6 และ IL-8 ในช่วง

และ drainage fluid ก่อนและหลังการผ่าตัด พบร่วมดับ IL-6 มีแนวโน้มสูงขึ้นทั้งในชีวิต และใน drainage fluid โดยมีระดับสูงสุด 24 ชั่วโมงภายหลังการผ่าตัด ซึ่ง drainage fluid พบร่วมมีค่าสูงกว่าในชีวิต ดังนั้น การวัดระดับ IL-6 ใน drainage fluid จึงบ่งบอกถึงการเกิด local response จากการผ่าตัดได้ดีกว่าเมื่อเปรียบเทียบกับในชีวิต เนื่องจากในผู้ป่วย RA นั้นมีการอักเสบเรื้อรังทำให้ระดับ IL-6 ในเลือดสูงก่อนที่จะได้รับการผ่าตัด<sup>(21)</sup> หากการวิจัยนี้นำใช้ข้อและ drainage fluid จึงให้ผลใกล้เคียงกัน ดังนั้นระดับ IL-6 สูงมากภายหลังการผ่าตัด 1-3 วันแสดงว่าจะมี systemic response ที่มาจากการ local response ของแผลหลังการผ่าตัด

เนื่องจากการวิจัยในครั้งนี้ผู้ทำการวิจัยต้องการเปรียบเทียบ IL-6 กับตัวชี้วัดที่ใช้ในปัจจุบันคือ ESR และ CRP จึงไม่ได้ทำการตรวจหาค่ามาตรฐานและ clinical outcome อื่นๆ ของผู้ป่วย เช่น การตรวจนับเม็ดเลือดแบบสมบูรณ์ (complete blood count) และการศึกษาในอนาคตจะทำการตรวจนับเม็ดเลือดแบบสมบูรณ์ รวมทั้งสารชีวเคมีของเลือดอื่น ๆ เพื่อวิเคราะห์ความสัมพันธ์กับระดับ IL-6, ESR, CRP และ อุณหภูมิผิวนังบวมขึ้นซึ่งเข้าต่อไป

สรุปได้ว่าภายหลังการผ่าตัด 26 สัปดาห์ ESR กับ CRP และ IL-6 กับ CRP มีความสัมพันธ์อย่างมีนัยสำคัญทางสถิติ แสดงว่าหลังจากได้รับการผ่าตัดประมาณ 6 เดือนตัวชี้วัดต่าง ๆ จะลดลงใกล้เคียงกับค่าก่อนการผ่าตัดแล้ว ในขณะที่อุณหภูมิผิวนังบวมขึ้นซึ่งเข้าไม่พบความสัมพันธ์กับตัวชี้วัดอื่นเนื่องจากจะเห็นได้ว่าภายหลังการผ่าตัดในสัปดาห์ที่ 26 อุณหภูมิบวมขึ้นซึ่งที่ได้รับการผ่าตัดยังมีค่าสูงเมื่อเปรียบเทียบกับข้างที่ไม่ได้รับการผ่าตัด

ในขณะที่ก่อนการผ่าตัดเปลี่ยนข้อเข่าไม่มีความสัมพันธ์ของตัวชี้วัดใดเลย เนื่องมาจากผู้ป่วยข้อเข่าเสื่อมมากจะมีอาการอักเสบเรื้อรังก่อนแล้ว จึงทำให้ตัวชี้วัดบางตัวมีค่าสูงตั้งแต่ยังไม่ได้รับการผ่าตัด รวมทั้งในการวิจัยครั้งนี้ผู้ป่วยบางรายได้ทำการผ่าตัดเปลี่ยนข้อเข้าเทียมมาก่อนแล้วข้างหนึ่งหรืออีกข้างหลังการผ่าตัดครั้งแรกกำลังมีอาการอักเสบจึงทำให้ตัวชี้วัดระดับการอักเสบบางตัวสูงขึ้นได้

โรคข้อเข่าเสื่อมเป็นผลมาจากการถูกทำลายของกระดูกอ่อนบริเวณผิวข้อเข่า โดยงานวิจัยก่อนหน้านี้พบว่า การทำลายกระดูกอ่อนเกิดจากการเพิ่มขึ้นของ IL-1, IL-6, acute-phases protein และ TNF- $\alpha$ <sup>(41)</sup> ดังนั้น IL-6 gene จึงมีความสำคัญต่อการเกิดโรคข้อเข่าเสื่อม โดยอัลลีล G ที่ SNP IL-6 ตำแหน่ง -174 มีความสัมพันธ์ต่อกำลังการอ่านรหัส (transcription) ในหลอดทดลอง<sup>(42,</sup><sup>43)</sup> จากข้อมูลดังกล่าว จึงทำให้การแสดงออกของ IL-6 gene อาจมีปัจจัยเสี่ยงต่อการเกิดโรคข้อเข่าเสื่อม

จากความหลากหลายทางพันธุกรรมของ IL-6 ทำให้เกิดความเสี่ยงต่อการเป็นโรคข้อเข่าเสื่อมได้ ดังนั้นการศึกษาครั้งนี้จึงทำการศึกษา SNP IL-6 ตำแหน่ง -174 เพื่อหาจีโนไทป์ที่เป็นปัจจัยเสี่ยงต่อการเกิดโรคข้อเข่าเสื่อม ซึ่งผลของการศึกษาพบว่าไม่มีจีโนไทป์ใดที่เป็นปัจจัยเสี่ยงต่อการเกิดโรคอย่างมีนัยสำคัญทางสถิติ โดยอาจเป็นเพราะขนาดประชากรที่ใช้ในการศึกษานี้ไม่มากพอเนื่องมาจากการเป็นเพียงการทดลองเบื้องต้นเท่านั้น

ทั้งนี้จากการศึกษาของ Capurso C. และคณะในปี 2004 พบร่วางในกลุ่มของผู้ป่วยอัลไซเมอร์และกลุ่มควบคุมจากภูมิภาคของยุโรปจากตอนเหนือไปยังตอนใต้มีความถี่ของจีโนไทป์ GG และ GC เพิ่มขึ้น และพบอัลลิล G เพิ่มขึ้นด้วย แต่อัลลิลจะลดน้อยลงซึ่งความแตกต่างของความถี่ในอัลลิลและจีโนไทป์ในผู้ป่วยอัลไซเมอร์อาจเกิดจากความหลากหลายของภูมิภาคในยุโรปได้<sup>(35)</sup> ดังนั้นจากการวิจัยในครั้งนี้พบว่ามีความถี่ของจีโนไทป์ CC น้อยมากซึ่งอาจเกิดจากการเก็บตัวอย่างที่ไม่มีการกระจายภูมิภาคทำให้ลักษณะของจีโนไทป์พิเศษไม่แตกต่างกัน ดังนั้นควรจะทำการเก็บตัวอย่างจากหลายภูมิภาคของประเทศไทยเพื่อจะได้พบรการกระจายได้มากขึ้น

อีกทั้งการมีลักษณะของ SNP ที่แตกต่างกัน คือเป็นแบบ haplotype หรือ diplotype อาจทำให้สามารถเพิ่มหรือลดอัตราการเสี่ยงต่อการเกิดโรคคนนั้นๆ ได้ ซึ่งพบในการศึกษาของการศึกษาของ Kamarainen OP. และคณะในปี ค.ศ. 2007 พบร่วางในตำแหน่งของ SNP IL-6 ที่ตำแหน่งของ promoter ที่ -597 และ -174 อัลลิล G ในกลุ่มของผู้ป่วยมากกว่าในกลุ่มควบคุมถึงแม้ว่ามีอัลลิล G เพียง 1 อัลลิล สามารถทำให้เพิ่มอัตราความเสี่ยงต่อการเกิดโรคได้ หากเป็น haplotype SNP ที่ -597, -572 และ -174 จะเพิ่มอัตราเสี่ยงเป็น 4 เท่า<sup>(39)</sup>

สถาบันวิทยบริการ  
จุฬาลงกรณ์มหาวิทยาลัย

## ข้อเสนอแนะ

- จากการวิจัยในครั้งนี้เห็นได้ว่าการศึกษาความสัมพันธ์ของ biomarkers ต่างๆ ทำการศึกษาช่วงระยะเวลากร้างจึงทำให้การแปลผลดังกล่าวค่อนข้างสรุปได้โดยรวม ยังเนื่องมาจากข้อจำกัดในการเก็บตัวอย่างจากผู้ป่วย ดังนั้นเพื่อให้ผลชัดเจน ควรจะเก็บตัวอย่างเลือดให้ถี่ขึ้น เพื่อนำมาใช้ประเมินผลความสัมพันธ์ได้ชัดเจนกว่า
- จากการศึกษาความหลากหลายทางพันธุกรรมควรเก็บจำนวนตัวอย่างของกลุ่มผู้ป่วยและกลุ่มควบคุมให้มีจำนวนเพิ่มขึ้นและควรตรวจวิเคราะห์ตัวอย่างจากหลายพื้นที่เพื่อสามารถเพิ่มความหลากหลายและการกระจายตัวของจีโนไทป์มากขึ้นและอาจพบปัจจัยสี่ยงที่สามารถทำให้เกิดโรคได้

สถาบันวิทยบริการ  
จุฬาลงกรณ์มหาวิทยาลัย

## รายการอ้างอิง

- [1] Gabay C, Kushner I. Acute-phase proteins and other systemic response to inflammation. *N Engl J Med.* 340(1999):448-454.
- [2] Mulvey TJ, Thronhill TS. Infected total knee arthroplasty. In: Insall JN, Scott WN, eds. *Surgery of the Knee.* Philadelphia, PA: Churchill Livingstone; (2001):1875-1890.
- [3] Swason KC, Windsor RE. Diagnosis of infection after total knee arthroplasty. In: Callaghan JJ, Rosenberg AG, Rubash HE, Simonian PT, Wickiewicz TL. *The Adult Knee.* Philadelphia, PA: Lippincott Williams & Wilkins; (2003):1485-1491.
- [4] Bilgen O, Atici T, Durak K, Karaemino G, Bilgen MS. C-reactive protein values and erythrocyte sedimentation rates after total hip and total knee arthroplasty. *J Int Med Res.* 29 (2001):7-12.
- [5] Larsson S, Thelander U, Friberg S. C-reactive protein (CRP) levels after elective orthopedic surgery. *Clin Orthop Relat Res.* 275 (1992):237-242.
- [6] Moreschini O, Greggi G, Giordano MC, Nocente M, Margheritini F. Postoperative physiopathological analysis of inflammatory parameters in patients undergoing hip or knee arthroplasty. *Int J Tissue React.* 23 (2001):151-154.
- [7] Di Cesare PE, Chang E, Preston CF, Liu CJ. Serum interleukin-6 as a marker of periprosthetic infection following total hip and knee arthroplasty. *J Bone Joint Surg Am.* 87(2005):1921-1927.
- [8] Fishman D, Faulds G, Jeffery R, Mohamed-Ali V, Yudkin JS, Humphries S, et.al. The effect of novel polymorphism in the interleukin-6 (IL-6) gene on IL-6 transcription and plasma levels, and an association with systemic onset juvenile chronic arthritis. *J Clin Invest.* (102)1998:1369-76.
- [9] Kellgren JH, Lawrence JS. Radiological assessment of osteo-arthrosis. *Ann. Rheum Dis.* (1957)16:494-502.
- [10] Stuart LW, Joseph AB. *Orthopedics principles and their application* 6<sup>th</sup> Edition. (2005):154-155.

- [11] สิทธิศักดิ์ หวานาเวก, วินัย พากเพียร. วิทยาศาสตร์การแพทย์ของกระดูกเซลล์ตันกำเนิด และวิศวกรรมเนื้อเยื่อ. ภาควิชาชีวเคมี คณะแพทยศาสตร์ จุฬาลงกรณ์มหาวิทยาลัย. 2007:13-15.
- [12] อรุณี หาญวิัฒน์วงศ์. วิทยาภูมิคุ้มกันพื้นฐานและคลินิก. ภาควิชาจุลชีววิทยา คณะแพทยศาสตร์ จุฬาลงกรณ์มหาวิทยาลัย. 2008:131-139.
- [13] วนิดา พงศ์สถาพร. คู่มือการปฏิบัติการให้หัวใจ. คณะเทคนิคการแพทย์ มหาวิทยาลัยสิงห์. 1997.
- [14] Kishimoto T. The biology of interleukin-6. *Blood*. 74(1989):1-10.
- [15] Du Clos TW, Mold C. C-reactive protein: an activator of innate immunity and a modulator of adaptive immunity. *Immunol Res*. 30(2004):261-277.
- [16] Aalto K, Ostman K, Peltrola H, Rasanen J. Change in erythrocyte sedimentation rate and C-reactive protein after total hip arthroplasty. *Clin Orthop*. 184 (1984):118-120.
- [17] Niskanen RO, Korkala O, Pammo H. Serum C-reactive protein levels after total hip and knee arthroplasty. *J Bone Joint Surg Br*. 78(1996):431-433.
- [18] Laiho K, Maenpaa H, H Kautiainen, Kauppi M, Kaarela K, Lehto M, Belt E. Rise in serum C reactive protein after hip and knee arthroplasties in patients with rheumatoid arthritis. *Ann Rheum Dis*. 60(2001):275-277.
- [19] Park KK, Kim TM, Chang CB, Yoon SW, Park KU. Normative Temporal Values of CRP and ESR in Unilateral and Staged Bilateral TKA. *Clin Orthop Relat Res*. 466(2008):179-188.
- [20] Wirtz DC, Heller KD, Miltner O, Zilkens KW, Wolff JM. Interleukin-6:a potential inflammatory marker after total joint replacement.. *Int Orthop*. 24 (2000):194-196.
- [21] Lisowska B, Maslinski W, Maldyk P, Zabek J, Baranowska E. The role of cytokine in inflammatory response after total knee arthroplasty in patients with rheumatoid arthritis. *Rheumatol Int*. 28(2007):667-71.
- [22] Mehra A, Langkamer VG, Day A, Harris S, Spencer RF. C reactive protein and skin temperature post total knee replacement. *The Knee*. 12(2005):297-300.

- [23] Haidar SG, Charity RM, Bassi RS, Nicoli P, Singh BK. Knee skin temperature following uncomplicated total knee replacement. *The Knee*. 13 (2006):422-426.
- [24] Matsumoto T, Tsurumoto T, Shindo H. Interleukin-6 levels in synovial fluids of patients with rheumatoid arthritis correlated with the infiltration of inflammatory cells in synovial membrane. *Rheumatol Int*. 26(2006):1096-1100.
- [25] สมาคมพันธุศาสตร์แห่งประเทศไทยและสถาบันส่งเสริมการสอนวิทยาศาสตร์และเทคโนโลยี. สาระน่ารู้ อยู่พันธุศาสตร์. กรุงเทพมหานคร. เท็กซ์ แอนด์ เจอร์นัล พับลิเคชั่น, 2548: 3-11.
- [26] Brooks LD. SNPs: Why do we care? In: Kwoh PY (ed.). *Single nucleotide polymorphisms method and protocols*. Totowa, New Jersey 2003:1-9.
- [27] Myhsok BE. The usefulness of single nucleotide polymorphism (SNPs) for genetic epidemiological investigation of complex psychiatric disease. *Prog Neuropsychopharmacol Biol Psychiatry*. 29(2005):1017-20.
- [28] กนกวรรณ จากรุ่งเรือง, วรัญญา จตุพรประเสริฐ. สนิป:ความรู้พื้นฐานสู่การประยุกต์ใช้. *Thai Pharmaceutical and Health Science Journal*. 2(2007):166-74.
- [29] Newton CR, Graham A. PCR. 1997:1-7.
- [30] Bennermo M, Held C, Stemme S, et.al. Genetic predisposition of the interleukin-6 response to inflammation implications for a variety of major disease. *Clinical Chemistry*. 50(2004): 2136-40.
- [31] Maitra A, Shanker J, Dash D, et.al. Polymorphism in the IL-6 gene in Asian Indian families with premature coronary artery disease-The Indian Atherosclerosis. *Thromb Haemost*. 99(2008): 944-950.
- [32] Enjuanes A, Benavente Y, Bosch F. Genetic variants in apoptosis and immunoregulation-related genes are associated with risk of chronic lymphocytic leukemia. *Cancer Res*. 68(2008):10178-86.
- [33] Chung HW, Seo JS, Hur SE, et.al. Association of interleukin-6 promoter variant with bone mineral density in pre-menopausal women. *J Hum Genet*. 48 (2003):243-8.

- [34] Kristiansen OP, Nolsøe RL, Larsen L. Association of a functional 17beta-estradiol sensitive IL6-174G/C promoter polymorphism with early-onset type 1 diabetes in females. *Hum Mol Genet.* 12 (2003):1101-10.
- [35] Capurso C, Solfrizzi V, D'Introno A, et.al. Interleukin 6-174 G/C promoter gene polymorphism and sporadic Alzheimer's disease: geographic allele and genotype variations in Europe. *Exp Gerontol.* 39(2004):1567-73.
- [36] Kesarwani P, Ahirwar DK, Mandhani A, Mittal RD. Association between -174 G/C promoter polymorphism of the interleukin-6 gene and progression of prostate cancer in North Indian population. *DNA Cell Biol.* 27(2008):505-10.
- [37] Pola E, Papaleo P, Pola R, Gaetani E, et.al. Interleukin-6 gene polymorphism and risk osteoarthritis of the hip: a case control study. *Osteosrthritis and Cartilage.* 13(2005):1025-8.
- [38] Gordon A, Kiss-Toth E, Stockley I, Eastell R, Wilkinson JM. Polymorphisms in the interleukin-6 genes affect risk of osteolysis in patients with total hip arthroplasty. *Arthritis & Rheumatism.* 58(2008):3157-65.
- [39] Kamarainen OP, Solovieva S, Vehmas T, et.al. Common interleukin-6 promoter variants associate with the more severe forms of distal interphalangeal osteoarthritis. *Arthritis research & Therapy.* (2008)10.
- [40] Sowers M. Epidemiology of risk factors for osteoarthritis: systemic factors. *Curr opin Rheumatol.* 13(2001):447-5.
- [41] Fernandes JC, Martel-Pelletier J, Pelletier JP. The role of cytokines in osteoarthritis pathophysiology. *Bio-rheology.* (2002)39:237-46.
- [42] Fisherman D, Faulds G, Jeffry R, Mohamed-Ali V, Yudkin JS, Humphries S, et al. The effect of novel polymorphism in the interleukin-6 (IL-6) gene on IL-6 transcription and plasma IL-6 levels, an association with systemic onset juvenile chronic arthritis. *J Clin Invest.* 102(1998):1369-76.
- [43] Terry CF, Loukaci V, Grreen FR. Cooperative influence of genetic polymorphism on interleukin 6 transcriptional regulation. *J Biol Chem.* 275(2000):18138-4.



# สถาบันวิทยบริการ จุฬาลงกรณ์มหาวิทยาลัย

# ภาคผนวก ก

## หนังสือแสดงความยินยอมการเข้าร่วมในโครงการวิจัย

การวิจัยเรื่อง ความสัมพันธ์ของไชโต้โนบกับตัวชี้วัดทางคลินิกภาษาหลังการผ่าตัดเปลี่ยน  
ข้อเข่าเทียม

วันให้คำยินยอม วันที่.....เดือน..... พ.ศ. .....

ข้าพเจ้า นาย/นาง/นางสาว..... ได้อ่าน

รายละเอียดพร้อมตัวอย่างเอกสารข้อมูลสำหรับผู้เข้าร่วมโครงการวิจัย ทั้งนี้ก่อนที่จะลงนามในใบอนุญาตให้ทำการวิจัยนี้ ข้าพเจ้าได้รับการอธิบายจากผู้วิจัยถึงวัตถุประสงค์ของการวิจัย ระยะเวลาของการทำวิจัย วิธีการวิจัย อันตรายหรืออาการที่อาจเกิดขึ้นจากการวิจัย รวมทั้งประโยชน์ที่จะเกิดขึ้นจากการวิจัยอย่างละเอียด จนมีความเข้าใจอย่างเดียว

ข้าพเจ้ารับทราบจากผู้วิจัยว่าหากเกิดอันตรายใด ๆ จากการวิจัยดังกล่าว ผู้เข้าร่วมวิจัยจะได้รับการรักษาพยาบาลโดยไม่เสียค่าใช้จ่าย ข้าพเจ้ามีสิทธิที่จะบอกเลิกเข้าร่วมในโครงการวิจัยเมื่อใดก็ได้ โดยไม่จำเป็นต้องแจ้งเหตุผล และบอกเลิกการเข้าร่วมการวิจัยนี้ จะไม่มีผลต่อการรักษาโรคหรือสิทธิอื่น ๆ ที่ข้าพเจ้าจะพึงได้รับต่อไป

ผู้วิจัยรับรองว่าจะเก็บข้อมูลส่วนตัวของข้าพเจ้าเป็นความลับ และจะเปิดเผยได้เฉพาะเมื่อได้รับการยินยอมจากข้าพเจ้าเท่านั้นบุคคลอื่นในนามของบริษัทผู้สนับสนุนการวิจัย คณะกรรมการพิจารณาจริยธรรมการวิจัยหรือผู้ได้รับอำนาจอนุมาย ให้เข้ามาตรวจสอบข้อมูลของผู้เข้าร่วมวิจัย ทั้งนี้จะต้องกระทำไปเพื่อวัตถุประสงค์ตรวจสอบความถูกต้องของข้อมูลเท่านั้น โดยการตกลงที่จะเข้าร่วมการศึกษานี้ ข้าพเจ้าได้ให้คำยินยอมที่จะให้มีการตรวจสอบข้อมูลประวัติทางการแพทย์ของผู้เข้าร่วมวิจัยได้

ข้าพเจ้าเข้าใจว่าข้าพเจ้ามีสิทธิ์ที่จะตรวจสอบหรือแก้ไขข้อมูลส่วนตัวของข้าพเจ้าและสามารถเลิกการให้สิทธิ์ในการใช้ข้อมูลส่วนตัวของข้าพเจ้าได้ โดยต้องแจ้งให้ผู้วิจัยรับทราบ

ข้าพเจ้าได้ตระหนักว่าข้อมูลในการวิจัยรวมถึงข้อมูลทางการแพทย์ที่ไม่มีการเปิดเผยซึ่งจะฝ่าฝืนกระบวนการต่าง ๆ เช่น การเก็บข้อมูล การบันทึกข้อมูลลงในคอมพิวเตอร์ การตรวจสอบการวิเคราะห์ และการรายงานเพื่อวัตถุประสงค์ทางวิทยาศาสตร์ รวมทั้งการใช้ข้อมูลทางการแพทย์ในอนาคตหรือการวิจัยทางด้านเภสัชภัณฑ์ เท่านั้น

ข้าพเจ้ายินดีลงนามในใบยินยอมนี้เพื่อเข้าร่วมการวิจัยด้วยความเต็มใจ

ลงนามผู้ยินยอม  
(.....)ชื่อผู้ยินยอม ตัวบürger  
วันที่.....เดือน..... พ.ศ.....

ลงนามผู้ทำวิจัย  
(.....)ชื่อผู้ทำวิจัย ตัวบürger  
วันที่.....เดือน..... พ.ศ.....

ลงนามพยาน  
(.....)ชื่อพยาน ตัวบürger  
วันที่.....เดือน..... พ.ศ.....

# สถาบันวิทยบริการ จุฬาลงกรณ์มหาวิทยาลัย

## **ข้อมูลสำหรับผู้เข้าร่วมโครงการวิจัย**

**ชื่อโครงการวิจัย**

ความสัมพันธ์ของไฮโดรไคน์กับตัวชี้วัดทางคลินิกภายนอกการผ่าตัดเปลี่ยนข้อเข่าเทียม  
ผู้สนับสนุนการวิจัย ทุนวิจัยรัชดาภิเษกสมนัส คณะแพทยศาสตร์ จุฬาลงกรณ์มหาวิทยาลัย

### **แพทย์ผู้ทำวิจัย**

ชื่อ นพ.สิทธิศักดิ์ บรรษาเวก

ที่อยู่ ภาควิชา ชีวเคมี คณะแพทยศาสตร์ จุฬาลงกรณ์มหาวิทยาลัย

เบอร์โทรศัพท์ 02-256-4482, 085-042-5466

(ที่ทำงานและเมืองถือ)

### **แพทย์ผู้ร่วมในโครงการวิจัย**

ชื่อ นพ.อาวี ธนาวัลี

ที่อยู่ ภาควิชา ออฟโรปิดิกส์ คณะแพทยศาสตร์ จุฬาลงกรณ์มหาวิทยาลัย

เบอร์โทรศัพท์ 02-256-4510, 081-611-5086

(ที่ทำงานและเมืองถือ)

### **แพทย์ผู้ร่วมในโครงการวิจัย**

ชื่อ นพ.สีหัส งามอุ่นช์ และ นพ.มนูญ ศักดินาเกียรติกุล

ที่อยู่ ภาควิชา ออฟโรปิดิกส์ คณะแพทยศาสตร์ จุฬาลงกรณ์มหาวิทยาลัย

เบอร์โทรศัพท์ 02-256-4510(ที่ทำงาน)

### **เรียน ผู้เข้าร่วมโครงการวิจัยทุกท่าน**

เอกสารนี้เป็นเอกสารที่แสดงข้อมูลเพื่อใช้ประกอบการตัดสินใจของท่านในการเข้าร่วมการศึกษาวิจัย อย่างไรก็ตามก่อนที่ท่านตกลงเข้าร่วมการศึกษาดังกล่าว ขอให้ท่านอ่านเอกสารฉบับนี้อย่างละเอียดเพื่อให้ท่านได้ทราบถึงเหตุผลและรายละเอียดของการศึกษาวิจัยในครั้งนี้ หากท่านมีข้อสงสัยใดๆ เพิ่มเติม กรุณารักษาความจากทีมงานของแพทย์ผู้ทำวิจัย หรือแพทย์ผู้ร่วมในโครงการวิจัยซึ่งจะเป็นผู้สามารถให้ความกระจ่างแก่ท่านได้

ท่านสามารถขอคำแนะนำในการเข้าร่วมโครงการวิจัยนี้จากครอบครัว เพื่อน หรือแพทย์ประจำตัวของท่านได้ ถ้าท่านตัดสินใจแล้วว่าจะเข้าร่วมโครงการวิจัยนี้ ขอให้ท่านเซ็นต์ชื่อยืนยัน ในเอกสารฉบับนี้

### I. วัตถุประสงค์ของการศึกษา

วัตถุประสงค์หลักจากการศึกษาในครั้งนี้ เพื่อศึกษาถึงไข้ไตไนท์และตัวชี้วัดทางคลินิกในผู้ป่วยข้อเข่าเสื่อมภายนหลังได้รับการผ่าตัดเปลี่ยนข้อเข่าเทียม สำหรับใช้เป็นตัวบ่งชี้และเพื่อติดตามการรักษา รวมทั้งใช้ขอพิษัยกลไกการฟื้นตัวของร่างกายภายนหลังการผ่าตัดเปลี่ยนข้อเข่าเทียม โดยประมาณจำนวนผู้เข้าร่วมโครงการวิจัยรวม 60 คน

ตัวท่านสนใจที่จะเข้าร่วมในโครงการ ท่านจะได้รับการตรวจร่างกายทางคลินิก และเจาะเลือดเพื่อตรวจ ก่อนการผ่าตัด และภายนหลังได้รับผ่าตัดเปลี่ยนข้อเข่าเทียมในการนัดตรวจเพื่อติดตามผลประมาณ 1, 6 และ 12 สัปดาห์หลังจากการผ่าตัด

ในการศึกษานี้จะมีการเจาะเลือดในปริมาณ 5 ซี.ซี. โดยใช้เข็มปลอกดูเชือเพื่อนำมาตรวจอันตรายที่อาจจะเกิดขึ้นหลังจากการเจาะเลือด พบได้น้อยมาก เช่น อาจมีรอยช้ำบริเวณเจาะเลือดเพียงเล็กน้อย ซึ่งหายได้เองภายใน 7 วัน

### II. ความรับผิดชอบของอาสาสมัครผู้เข้าร่วมในโครงการวิจัย

เพื่อให้งานวิจัยนี้ประสบความสำเร็จ จึงมีความจำเป็นอย่างยิ่งที่ต้องได้รับความร่วมมือจากท่าน โดยท่านจะต้องปฏิบัติตามคำแนะนำของแพทย์ผู้ทำวิจัยอย่างเคร่งครัด รวมทั้งแจ้งอาการผิดปกติต่าง ๆ ที่เกิดขึ้นกับท่านระหว่างที่ท่านเข้าร่วมในโครงการวิจัยให้ผู้ทำวิจัยได้รับทราบ

### III. ความเสี่ยงที่ได้รับจากการเจาะเลือด

ท่านมีโอกาสที่จะเกิดอาการเจ็บ เลือดออก ช้ำจากการเจาะเลือด อาการบวมบริเวณที่เจาะเลือดหรือหน้ามือ และโอกาสที่จะเกิดการติดเชื้อบริเวณที่เจาะเลือดพบได้น้อยมาก หากท่านมีข้อสงสัยใด ๆ เกี่ยวกับความเสี่ยงที่อาจได้รับจากการเข้าร่วมในโครงการวิจัย ท่านสามารถสอบถามจากแพทย์ผู้ทำวิจัยได้ตลอดเวลา

### IV. การพบแพทย์นอกตารางนัดหมายในกรณีที่เกิดอาการช้ำงคีียง

หากมีอาการช้ำงคีียงใด ๆ เกิดขึ้นกับท่าน ขอให้ท่านรีบมาพบแพทย์ที่สถานพยาบาลทันที ถึงแม้ว่าจะอยู่นอกตารางการนัดหมาย เพื่อแพทย์จะได้ประเมินอาการช้ำงคีียงของท่าน

หากอาการต่าง ๆ ดังกล่าวเป็นผลจากการเข้าร่วมในโครงการวิจัย ท่านจะได้รับการรักษาทางการแพทย์ที่เหมาะสม โดยไม่เสียค่าใช้จ่าย

#### V. ประโยชน์ที่อาจได้รับ

ประโยชน์ที่ได้จากการศึกษาทำให้สามารถนำข้อมูลมาอธิบายกลไกการฟื้นตัวของร่างกายภายหลังการผ่าตัดเปลี่ยนข้อเข่าเทียม และอาจนำไปสู่การพัฒนาเทคนิคหรือการผ่าตัด การเข้าร่วมในโครงการวิจัยนี้อาจจะทำให้ท่านมีสุขภาพที่ดีขึ้น หรืออาจลดความรุนแรงของโรคได้ แต่ไม่ได้รับรองว่าสุขภาพของท่านจะต้องดีขึ้นหรือความรุนแรงของโรคจะลดลงอย่างแน่นอน

#### VI. วิธีการและรูปแบบการรักษาอื่น ๆ ซึ่งมีอยู่สำหรับอาสาสมัคร

ท่านไม่จำเป็นต้องเข้าร่วมในโครงการวิจัยนี้เพื่อประโยชน์ในการรักษาโรคที่ท่านเป็นอยู่เนื่องจากมีแนวทางการรักษาอื่น ๆ หลายแบบสำหรับการรักษาโรคของท่าน ดังนั้นจึงควรปรึกษา กับแพทย์ผู้ให้การรักษาท่านก่อนการตัดสินใจ

#### VII. ข้อปฏิบัติของท่านขณะที่ร่วมโครงการวิจัย

สิ่งที่ท่านควรปฏิบัติ คือ

- ท่านต้องให้ข้อมูลทางการแพทย์ของท่านทั้งในอดีตและปัจจุบันแก่แพทย์ผู้ทำการวิจัย ด้วยความสัตย์จริง
- ท่านต้องแจ้งให้แพทย์ผู้ทำการวิจัยทราบความผิดปกติที่เกิดขึ้นระหว่างที่ท่านร่วมในโครงการวิจัย

#### VIII. อันตรายที่อาจเกิดขึ้นในโครงการวิจัย

หากพบอันตรายที่เกิดขึ้นจากการวิจัย และพิสูจน์ได้ว่าท่านเป็นภัยตามคำแนะนำของทีมผู้ทำการวิจัยแล้ว ผู้สนับสนุนโครงการวิจัยยินดีจะรับผิดชอบค่าใช้จ่ายในการรักษาพยาบาลของท่าน การเข็นตื๊อในเอกสารฉบับนี้ไม่ได้หมายความว่าท่านได้สละสิทธิ์ทางกฎหมายตามปกติที่ท่านพึงมี

ในกรณีที่ท่านได้รับข้อความใดๆ หรือต้องการข้อมูลเพิ่มเติมที่เกี่ยวข้องกับโครงการวิจัย ท่านสามารถติดต่อผู้ทำวิจัยคือ นพ.สิทธิศักดิ์ บรรษาเวก โทรศัพท์ 02-256-4482, 085-042-5466 หรือ นพ. อารี ธนาวลี โทรศัพท์ 02-256-4510, 081-611-5066 ได้ตลอด 24 ชั่วโมง

#### IX. การเข้าร่วมโครงการและการสื่นสารโครงการวิจัย

การเข้าร่วมโครงการนี้เป็นไปโดยความสมัครใจ หากท่านไม่สมัครใจจะเข้าร่วมการศึกษาแล้ว ท่านสามารถถอนตัวได้ตลอดเวลา การขอถอนตัวจากโครงการวิจัยจะไม่มีผลต่อการดูแลรักษาโรคของท่านแต่อย่างใด

แพทย์ผู้ทำการวิจัยอาจถอนท่านออกจากการเข้าร่วมการวิจัย เพื่อเหตุผลด้านความปลอดภัยของท่าน หรือเมื่อผู้สนับสนุนการวิจัยยุติการดำเนินงานวิจัย หรือ ในกรณีที่ท่านไม่ให้ความร่วมมือและไม่ปฏิตามคำแนะนำของแพทย์ผู้ทำการวิจัย

#### X. การปกป้องรักษาข้อมูลของอาสาสมัคร

ข้อมูลที่อาจนำไปสู่การเปิดเผยตัวของท่าน จะได้รับการปกปิดและไม่เปิดเผยแก่สาธารณะ ในกรณีที่ผลการวิจัยได้รับการตีพิมพ์ ซึ่งและที่อยู่ของท่านจะได้รับการปกปิดอยู่เสมอ โดยจะใช้เฉพาะรหัสประจำโครงการวิจัยของท่าน

จากการลงนามยินยอมของท่าน แพทย์ผู้วิจัยและผู้สนับสนุนการวิจัยมีสิทธิ์สามารถเข้าไปตรวจสอบบันทึกข้อมูลทางการแพทย์ของท่านได้ตลอดเวลา แม้จะสิ้นสุดโครงการวิจัยแล้วก็ตาม หากท่านต้องการยกเลิกการให้สิทธิ์ดังกล่าว ท่านสามารถเขียนบันทึกการยกเลิกการให้คำยินยอมได้

(หากท่านยกเลิกการให้คำยินยอมหลังจากที่ท่านได้เข้าร่วมโครงการวิจัยแล้ว ข้อมูลส่วนของท่านจะไม่ถูกบันทึกเพิ่มเติม อย่างไรก็ตามข้อมูลอื่น ๆ ของท่านอาจนำมาใช้เพื่อประเมินผลการวิจัย และท่านจะไม่สามารถกลับเข้ามาร่วมโครงการนี้ได้อีก ทั้งนี้เนื่องจากข้อมูลที่จำเป็นสำหรับการวิจัยไม่ได้ถูกบันทึก)

จากการลงนามยินยอมของท่าน แพทย์ผู้ทำวิจัยสามารถบอกรายละเอียดของท่านที่เกี่ยวกับการเข้าร่วมโครงการวิจัยนี้ให้แก่แพทย์ผู้รักษาท่านได้

หากท่านต้องการข้อมูลเพิ่มเติมที่เกี่ยวข้องกับโครงการวิจัย ท่านสามารถติดต่อกับ<sup>ผู้</sup>ทำการวิจัยคือ นพ.สิทธิศักดิ์ ระหว่างวัน โทรศัพท์ 02-256-4482, 085-042-5466 หรือ นพ.อาวี ธนาวลี โทรศัพท์ 02-256-4510, 081-611-5066  
ขอขอบคุณในการร่วมมือของท่านมา ณ ที่นี่



# สถาบันวิทยบริการ จุฬาลงกรณ์มหาวิทยาลัย

**ภาคผนวก ๖**  
**การเตรียมสารเคมีสำหรับ ELISA**

1. การเตรียม Wash Buffer 1X PBS
  - 1.1. ซึ้ง NaCl 8.0 g, Na<sub>2</sub>HPO<sub>4</sub> 1.16 g, KH<sub>2</sub>PO<sub>4</sub> 0.2 g และ KCl 0.2 g
  - 1.2. ละลายในน้ำกลั่นปริมาณ 800 ml
  - 1.3. ปรับ pH ให้ได้ 7.2 และเติมน้ำกลั่นจนได้ 1000 ml
  - 1.4. เติม Tween-20 0.5 ml ผสมให้เข้ากัน
2. การเตรียม Capture antibody ใน coating buffer
  - 2.1. เติม 5X coating buffer 2 ml น้ำกลั่น 8 ml และ Capture antibody 50 µl
  - 2.2. ทำการผสมให้เข้ากัน
3. การเจือจาง Assay diluent
  - 3.1. เติม 5X assay diluent 10 ml
  - 3.2. ผสมกับน้ำกลั่น 40 ml
4. การเตรียม Standard solution  
ทำการละลายผง lyophilized standard โดยเติมน้ำกลั่น 2 ml ลงในขวด ผสมให้เข้ากันจะได้สารละลายที่มีความเข้มข้น 100 ng/ml นำไปเปล่งเก็บที่ตู้เย็น 4 °C
5. การเจือจาง Standard solution
  - 5.1. ทำการผสม standard solution ที่มีความเข้มข้น 100 ng/ml ปริมาณ 5 µl กับ 1X assay diluent 995 µl จะได้สารละลายที่มีความเข้มข้น 500 pg/ml
  - 5.2. นำสารละลายความเข้มข้น 500 pg/ml 110 µl ผสมกับ 1X assay diluent 110 µl จะได้ความเข้มข้น 250 pg/ml
  - 5.3. นำสารละลายความเข้มข้น 250 pg/ml 110 µl ผสมกับ 1X assay diluent 110 µl จะได้ความเข้มข้น 125 pg/ml
  - 5.4. นำสารละลายความเข้มข้น 125 pg/ml 110 µl ผสมกับ 1X assay diluent 110 µl จะได้ความเข้มข้น 62.5 pg/ml

- 5.5. นำสารละลายความเข้มข้น 62.5 pg/ml 110 μl ผสมกับ 1X assay diluent 110 μl จะได้  
ความเข้มข้น 31.3 pg/ml
- 5.6. นำสารละลายความเข้มข้น 31.3 pg/ml 110 μl ผสมกับ 1X assay diluent 110 μl จะได้  
ความเข้มข้น 15.6 pg/ml
- 5.7. นำสารละลายความเข้มข้น 15.6 pg/ml 110 μl ผสมกับ 1X assay diluent 110 μl จะได้  
ความเข้มข้น 7.8 pg/ml
- 5.8. นำสารละลายความเข้มข้น 7.8 pg/ml 110 μl ผสมกับ 1X assay diluent 110 μl จะได้  
ความเข้มข้น 3.9 pg/ml

6. การเตรียม Detection Antibody

นำ Detection antibody 60 μl ผสมกับ 1X assay diluent 11.94 ml ผสมให้เข้ากัน

7. การเตรียม AV-HRP

นำ AV-HRP 12 μl ผสมกับ 1X assay diluent 11.99 ml ผสมให้เข้ากัน

8. การเตรียม TMB substrate

นำ Reagent A 5 ml ผสมกับ Reagent B 5 ml ผสมให้เข้ากัน

สถาบันวิทยบริการ  
จุฬาลงกรณ์มหาวิทยาลัย

**ภาคผนวก ค**  
**การเตรียมสารเคมีในการตรวจความหลากรายทางพันธุกรรม**

1. การเตรียม red blood cell lysis buffer
  - 1.1 ขี้ง KHCO<sub>3</sub> 0.5 g, NH<sub>4</sub>Cl 4.15 g และ EDTA 0.019 g ละลายด้วยน้ำกลั่นประมาณ 100 ml
  - 1.2 เติมน้ำกลั่นจนครบ 500 ml
  - 1.3 นำไปกรองผ่าน filter ขนาด 0.2 μm
2. การเตรียม 1X Phosphate buffer saline (PBS)
  - 2.1 ขี้ง NaCl 8.0 g, Na<sub>2</sub>HPO<sub>4</sub> 1.16 g, KH<sub>2</sub>PO<sub>4</sub> 0.2 g และ KCl 0.2 g
  - 2.2 ละลายในน้ำกลั่นปริมาณ 800 ml
  - 2.3 ปรับ pH ให้ได้ 7.2 และเติมน้ำกลั่นจนได้ 1000 ml
  - 2.4 นำไปเข้าเครื่อง autoclave
3. การเตรียม Proteinase K
  - 3.1 เติม DNase-free water 3 ml
  - 3.2 นำไปผสมให้เข้ากันโดยใช้เครื่อง vortex
4. การเตรียม 10X Tris-acetic EDTA buffer (TAE buffer)
  - 4.1 ขี้ง Tris base 48.4 g ละลายด้วยน้ำกลั่น ประมาณ 50 ml
  - 4.2 เติม glacial acetic 17.0 ml คนให้เข้ากัน
  - 4.3 เติม 0.5 M EDTA, pH 8.0 7.44 ml คนให้เข้ากัน
  - 4.4 เติมน้ำกลั่นจนได้ปริมาณ 100 ml ปรับ pH 7.8
5. เตรียม 1 M Tris-hydrochloric acid, pH 8.0
  - 5.1 ขี้ง Tris (MW: 121.14 g/mol) 181.7 g ละลายใน deionized water 70 ml
  - 5.2 ปรับ pH ให้ได้ 8.0 โดยเติม concentrated HCl ประมาณ 5.0 ml
  - 5.3 เติม deionized water จนได้ 100 ml

6. การเตรียม 1.2% agarose gel

6.1 ชั้ง放 agarose 1.2 g เทลงใน flask ขนาด 250 ml

6.2 เติม TAE buffer จนได้ปริมาณ 100-110 ml และคุณด้วย microwave จนละลายเข้ากันดี

6.3 เทลงแบบพิมพ์ (tray)

7. การเตรียม 10X Tris-boric EDTA buffer (TBE buffer)

7.1 ชั้ง Tris base 121.1 g ละลายด้วยน้ำกลั่น ประมาณ 50 ml

7.2 เติม Boric acid anhydrous 55.6 ml คนให้เข้ากัน

7.3 เติม 0.5 M Na<sub>2</sub>EDTA คนให้เข้ากัน

7.4 เติมน้ำกลั่นจนได้ปริมาณ 100 ml ปรับ pH 8.3

8. การเตรียม 30% polyacrylamide 100 ml

8.1 ชั้ง Bis acrylamide 0.8 g ละลายใน D.W. ให้ได้ 25 ml

8.2 เติม 40% acrylamide 75 ml

8.3 ผสมให้เข้ากัน

9. การเตรียม 10% Ammonium persulfate

9.1 ชั้ง Ammonium persulfate 0.1 g

9.2 เติมน้ำกลั่นจนครบ 1 ml

10. การเตรียม LB broth และ LB agar

10.1 ชั้ง Tryptone 5 g, NaCl 5 g และ Yeast extract 2.5 g เติมน้ำกลั่นประมาณ 50 ml

10.2 เติมน้ำกลั่นจนครบ 500 ml

10.3 แบ่งสารละลายที่ได้มา 200 ml นำมาเติม agar 3 g เพื่อเตรียมให้เป็น LB agar

10.4 นำทั้งหมดไปเข้าเครื่อง autoclave ที่ 121 °C, 15 pound เป็นเวลา 20 นาที

10.5 นำสารละลายสำหรับเตรียม LB agar มาเติม 120 mM ampicillin 200 µl ผสมให้เข้ากัน

10.6 เทใส่จานเลี้ยงเชือกประมาณ 20 ml

10.7 เก็บจานเลี้ยงเชือกเข้า incubator 37 °C ทิ้งไว้จนแห้ง นำไปเก็บที่ตู้เย็น 4 °C

ภาคผนวก ๔  
รายงานการตีพิมพ์เนื้อหาบางส่วนของวิทยานิพนธ์

การประชุมเสนอผลงานวิจัยระดับบัณฑิตศึกษาแห่งชาติ ครั้งที่ 12 ณ มหาวิทยาลัยขอนแก่น

วันที่นำเสนอ 12-13 กุมภาพันธ์ พ.ศ. 2552

และ

บทคัดย่อที่ได้ย้อมรับให้สามารถนำเสนอผลงาน



สถาบันวิทยบริการ  
จุฬาลงกรณ์มหาวิทยาลัย

ความตั้งอกหันท์ของอินเดอร์วิวิบทนูกินชี้รั้งกับพัฒนาวิถีทางคดินิกภายนอกการผ่าตัดปลีกยึนข้อเท้าที่ยอม

## Serum Interleukin-6 in Relation to Clinical Outcomes Following Total Knee Arthroplasty

เบนจามาด ดีปะไสสกุล (Benjamat Deepaisamsakul)\* อารี ทนาวัลย์ (Aree Tanawalee)\*\*

สิทธิศักดิ์ บรรจุณวงศ์ (Sittisak Honswek)\*\*\*

บทกัดย่อ

## ABSTRACT

Total knee arthroplasty (TKA) is a well-established surgical treatment for knee osteoarthritis patients. Most of the patients are aging. The most common complication after operation that most of the orthopedic surgeons concerns are infection of the surgical wound. Erythrocyte sedimentation rate (ESR) and C-reactive protein (CRP) are routinely used as inflammatory markers. Previous studies showed that interleukin-6 (IL-6) had sensitivity and specificity more than ESR and CRP. The aim for this study was to determine serum IL-6 level, ESR, CRP and knee skin temperature before and after TKA. The results showed that ESR was elevated to peak in 2 weeks after surgery and then went slightly down to nearly preoperative level within 6 month. CRP and IL-6 levels were maximum at 1-3 days after surgery and will decreased within 2 weeks. The serum level of IL-6 could be useful to identify inflammation during the postoperative period. Skin temperature of operative knee differed significantly ( $p<0.001$ ) than normal knee and nearly normal at 6 months after surgery.

ถ้าตัวอักษร : ต้องพิมพ์ด้วยวิธีนี้กด : ข้อความต่างๆ ก็จะขึ้นมาในช่องที่ต้องการ เช่น ป้อนชื่อ-นามสกุล

**Key Words :** Interleukin-6, Erythrocyte Sedimentation Rate, C Reactive Protein

\* หลักสูตรวิชาภาษาต่างประเทศปัจจุบัน ภาค สาขาวิชาภาษาต่างประเทศ คณิตศาสตร์ทางการค้า ทางการเงินทางวิทยาลัย

<sup>\*\*</sup> วิธีการศึกษาทางวิชาชีพ ไม่ใช่เป็นวิธีการสอนที่นิยมใช้ในประเทศไทย แต่เป็นวิธีการสอนที่นิยมใช้ในประเทศอังกฤษ

\*\*\* ជំនាញការបេរាប់ទៅលើវគ្គភាពខ្លួនដូចជាការបង្ហាញទិន្នន័យ គិតថយក ឬការបង្ហាញការពេទ្យ

## บทนำ

โรคข้อเข่าเสื่อม (knee osteoarthritis) เป็นโรคที่เกิดให้กับความถูกซัด ความทรุดบกพร่องของกระดูกปูนเป็นอย่างมาก อิทธิพลทั้งทางกายภาพและทางเคมีของกระดูกปูนที่ต้องลงตัวไม่สามารถดำเนินการซึ่งกันและกันได้อีกต่อไป ทำให้เกิดอาการปวดและบวมที่ข้อเข่า ไม่สามารถเดินได้โดยสะดวก โรคความดันโลหิตสูง โรคเบาหวาน และภาวะอ้วน เป็นคัน เนื่องจากกระดูกปูนไม่สามารถออกกำลังกายอย่างต่อเนื่องได้ รวมทั้งกระดูกปูนในไหปลาร้าเป็นผู้สูงอายุและมีน้ำหนักตัวต่ำกว่ามาตรฐาน ต้องมีการรักษา โรคดังกล่าวจึงเป็นสิ่งที่จำเป็น แม้ว่าการรักษาจะไม่สามารถทำให้กลับมาอยู่ในสภาพปกติได้ แต่การรักษา โรคนี้มีวัสดุประดิษฐ์เพื่อช่วยบรรเทาอาการเจ็บปวด และคลายบุหรี่ของข้อติดหรือข้อตื้อไม่เมื่อ ในการพิทักษ์ปูน นิ่งอยู่ในรูนแรงหรือข้อเข่าไม่พิการมากจึงเป็นต้องได้รับการรักษาที่ถูกต้องเหมาะสม วิธีการรักษาที่ได้รับความนิยมในปัจจุบันคือ การผ่าตัดเปลี่ยนข้อเข่าเทียม (total knee arthroplasty; TKA) เพื่อจัดให้กระดูกปูน ที่นิ่นที่นี่มีโรคแทรกซ้อนภายนอกหลังการผ่าตัดน้อย และใช้วิธีในการหักรักษาในโรงพยาบาลไม่นานนัก

สิ่งสำคัญที่ต้องคำนึงถึงและพิจารณาเป็นอย่างมากคือ การติดเชื้อ (infection) และการอักเสบ (inflammation) ของแพลงก์นที่หลังการผ่าตัด เนื่องจากกระดูกปูนที่ต้องมีการติดต่อ กันอยู่ในรูนแรงหรือข้อเข่า ซึ่งหากเกิดการอักเสบติด เชื้อแล้วจะทำให้การรักษาเป็นไปได้ยากและใช้ระยะเวลาในการหักรักษาที่นานกว่าปกติ รวมทั้งต้องมาทำการตรวจดูความหลังการผ่าตัด ดังนั้น ด้านการสามารถวินิจฉัยว่ามีการติดเชื้อของกระดูก กระดาษที่ต้องการให้ต้องรักษาเป็นตัวชี้วัด ความเสี่ยงที่สูงที่สุด ที่จะทำให้การรักษาไม่ประสบผลสำเร็จนั้น

ในปัจจุบันนี้ Inflammation markers อยู่หลังชนิดที่สามารถใช้ในการประเมินภาวะการอักเสบ ภายนอกการผ่าตัดได้ ที่นิยมเลือกใช้เป็นตัวชี้วัด ค่า ESR (erythrocyte sedimentation rate)

และ C-reactive protein (CRP) เพื่อจัดสามารถบ่งบอกถึงการตอบสนองทางภูมิคุ้มกันของร่างกายแบบ acute phase ได้ โดยภายในหลังถูกกระแทกจนอาจเสื่อมไปกลอกเพลี้ยงหัวใจที่ค่าทั้ง 2 ชนิดเพิ่มสูงขึ้นอย่างรวดเร็วและจะลดลงอย่างช้าๆ ในช่วงระยะเวลาสั้นๆ ทำให้สามารถสังเกตเห็นได้อย่างชัดเจน และค่าใช้จ่ายในการตรวจไม่แพงมากจนเกินไป ดังนั้นจึงมีความสำคัญต่อการวินิจฉัยภาวะการติดเชื้อของกระดูก ผ่าตัดเปลี่ยนข้อเข่าเทียม แต่ก็ยังพบว่าการใช้ ESR และ CRP เพื่อพิจารณาถึงภาวะการอักเสบติดเชื้อของกระดูก การผ่าตัดซึ่งไม่ขัดเจนพอ เมื่อจะมาว่าต่าหักกล้ามไฟเบอร์ จึงพยายามด้วยวิธีการอักเสบติดเชื้อกระดูกที่ต้องการผ่าตัดในกระดูกปูนที่ทำให้ ได้ ให้ความไว (sensitivity), ความถูกต้อง (specificity), positive predictive value, negative predictive value และความถูกต้อง (accuracy) เท่ากัน 1.0, 0.95, 0.89, 1.0 และ 97% ตามลำดับ โดยที่การเพิ่มนิ่นของ IL-6 สมมติฐานว่าภาวะการติดเชื้อในรูนแรงของกระดูกปูนที่ได้รับการผ่าตัดเปลี่ยนข้อเข่าและ ข้อสะโพกที่ผ่านมา ให้ความไวในการวินิจฉัยกับกระดูกปูนในภาวะต้องกล่าวไว้

โดยส่วนใหญ่แพทย์มักให้ความสำคัญที่ การตรวจดูภาวะการอักเสบติดเชื้อของกระดูกปูนในช่วงระยะเวลาต่อไป ไม่ใช่ในช่วงเวลาที่หักกล้ามไฟเบอร์ แต่สำหรับในกระดูกปูนที่ทำการเปลี่ยนข้อเข่าเทียมแล้ว การจะวินิจฉัยการอักเสบติดเชื้อเมื่อเป็นสิ่งสำคัญยิ่ง ถึงแม้ที่จะ ระยะเวลาในการผ่าตัดค่อนไปนานแล้วก็ตาม ที่มีการอักเสบติดเชื้อเกิดขึ้นอาจทำให้การรักษาผู้ป่วยยากขึ้น ด้านนี้การอักเสบรุนแรงมากก็อาจเป็นต้องได้รับการผ่าตัดซึ่งทำให้กระดูกปูนที่เสียหายและค่าใช้จ่ายในการ

รักษาทางน้ำ ดังนั้นหากสามารถประเมินการอักเสบของแพลงก์นหลังการผ่าตัดเมื่อถูกป่วยมาทำ การพิจารณา การรักษาได้เร็วจะช่วยให้แพทย์ที่จะรักษาป้องกัน การอักเสบของแพลงก์นหลังการผ่าตัดเกิดไห้น้อยลง เพื่อให้ถูกป่วยสามารถดำเนินชีวิตอย่างปกติได้เร็วขึ้น

เนื่องจากภาระที่ก่อมาความสับสนทั้งของ IL-6 กับค่า ESR, CRP และ อุณหภูมิที่วัดหนึ่งในเรื่องเข้าที่กันมา พบว่าไม่ได้ศึกษาล้ำหายใจของถูกป่วยขึ้นเช่นเดียวกัน ให้รับการผ่าตัดเปลี่ยนข้อเข่าเพียงเท่านั้น และส่วนใหญ่ ทำการอัจฉริยะในถูกป่วย osteoarthritis (OA) ร่วมกับถูกป่วย rheumatoid arthritis (RA) โดยศึกษารายงานช่วงสัปดาห์แรก หลังการผ่าตัดเท่านั้น ดังนั้นการศึกษาในครั้งนี้จึง ทำการศึกษาเรื่องความสับสนทั้งของ IL-6 กับค่า ESR, CRP และ อุณหภูมิที่วัดหนึ่งในเรื่องเข้าที่กันมา ในถูกป่วย osteoarthritis ที่ได้รับการผ่าตัดเปลี่ยนข้อเข่าเพียง ที่แม้จะร่วมกับผ่าตัด จนถึงกายหลังการผ่าตัด 6 เดือน เพื่อประเมินการที่นิ่วภายนหลังการผ่าตัดเปลี่ยน ข้อเข่าเพียง

### อุปกรณ์และวิธีการวิจัย

#### กลุ่มตัวอย่างที่ใช้ในการวิจัย

ผู้ป่วยที่ได้รับการผ่าตัดเปลี่ยนข้อเข่าเพียง จำกัด อยู่ในปีกิกส์ โรงพยาบาลอุทาหรณ์ สภากาชาดไทย จำนวน 49 ราย (ชาย 9 รายและหญิง 40 ราย) ที่ลงทะเบียนเข้าในในขั้นตอนแรก โครงการวิจัยนี้ได้เข้ารับ การพิจารณาขอรับรองจากคณะกรรมการจัดซื้อจัดจ้าง ศึกษาวิจัยในมนุษย์ของกองบัญชาการกองทัพไทย จุฬาลงกรณ์มหาวิทยาลัย

#### วิธีดำเนินการวิจัย

ในช่วงการผ่าตัดจะทำการเก็บน้ำข้อเข่าหลังการผ่าตัด ของถูกป่วยเพื่อนำไปตรวจวัดระดับ IL-6

การเก็บชิ้นไข้โดยเจาะเลือดในช่วงก่อนการผ่าตัด วันที่ 1-3, สัปดาห์ที่ 2, 6, 12 และ 24 กายหลังการผ่าตัด

เมื่อถูกป่วยมารับการตรวจพิจารณาที่คลินิกข้อเข่า เพื่อประเมินผลการผ่าตัดในสัปดาห์ที่ 2, 6, 12 และ 24 โดย ทำการตรวจวัดอุณหภูมิบริเวณข้อเข่าทั้ง 2 ข้าง ด้วย

เตอร์โมมิเตอร์ (IR Thermometer model: T560 จาก ษาร์ชูญเมริกา) แต่ละข้างทำการวัด 4 จุด

การตรวจวัดระดับ IL-6 ทำการตรวจวัดระดับ ของ IL-6 ใน ชิ้นไข้ ที่เก็บจากถูกป่วยที่ร่วมทดลองโดย Biolegend's ELISA MAX™ Set (บ. Biolegend จากษาร์ชูญเมริกา) ซึ่งจะใช้หลักการของ sandwich enzyme-linked immunosorbent assay

การตรวจวัด CRP ทำการตรวจวัดระดับของ CRP ใน ชิ้นไข้ถูกป่วยที่จะทดสอบ โดยสังเคราะห์ที่ ห้องปฏิบัติการ serology I หน่วยศูนย์หุ้นกันวิทยา โรงพยาบาลอุทาหรณ์ สภากาชาดไทย ซึ่งใช้หลักการ particle enhanced immunonephelometry โดยใช้ เครื่องตรวจวัดรายหอดัตโนมัติรุ่น BN Prospec (บ. Siemens Healthcare Diagnostics จาก ษาร์ชูญเมริกา)

การตรวจวัด ESR เป็นการวัดอัตราการเกิด Rouleaux formation ของเซลล์เม็ดเลือดแดงจาก whole blood ที่ได้จากถูกป่วย โดยทำการส่องตรวจไปปัจจุบัน ห้องปฏิบัติการ โลหิตวิทยา สำนักงานสาธารณสุข โรงพยาบาลอุทาหรณ์ โดยใช้เครื่องตรวจวัดรายหอดัตโนมัติรุ่น MICROsed-system (บ. Medcompare จาก ษาร์ชูญเมริกา)

#### การวิเคราะห์ข้อมูล

ทำการวิเคราะห์ข้อมูลโดยสถิติเชิงพรรณนา (descriptive statistic) โดยเสนอในรูปของ ค่าเฉลี่ย (mean) และ ค่าเบี่ยงเบนมาตรฐาน (standard deviation) ของทั้งน้ำหนักในน้ำปักราฟ รวมถึงการวิเคราะห์ทัวร์ สถิติเชิงอนุมาน (inferential statistic) เพื่อสูงปัจจุบันของ ประชากร ด้วย t-test ในการเปรียบเทียบระหว่างกลุ่ม 2 กลุ่ม

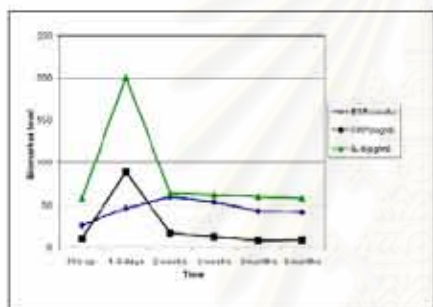
#### ผลการวิจัยและการอภิปรายผล

จากการตรวจวัดระดับตัวชี้วัดการอักเสบของถูกป่วยที่ ทำการผ่าตัดเปลี่ยนข้อเข่าเพียง พบว่า ค่าเฉลี่ยของ IL-6 จะสูงสุดในช่วง 1-3 วันหลังการผ่าตัดมีค่าอยู่ที่  $200.7 \pm$

115.9 pg/ml จากนั้นลดลงในสัปดาห์ที่ 2 หลังการผ่าตัด หลังจากสัปดาห์ที่ 6 ระดับของ IL-6 คงที่อย่างต่อเนื่อง

สำหรับ CRP มีค่าเฉลี่ยสูงสุด  $88.4 \pm 68.9$  mg/dl ในช่วง 1-3 วันหลังการผ่าตัด จากนั้นเริ่มลดลงต่อไปในสัปดาห์ที่ 2 และจะมีค่าใกล้เคียงกับค่าก่อนการผ่าตัดในเดือนที่ 6

ระดับของ ESR จะมีค่าเฉลี่ยสูงสุดในสัปดาห์ที่ 2 หลังการผ่าตัดนิ่องตู้ที่  $59.9 \pm 28.0$  mm/h แล้วเริ่มลดลง จนมีระดับใกล้เคียงกับค่าก่อนการผ่าตัดในช่วงเดือนที่ 6 หลังการผ่าตัด



รูปที่ 1: กราฟที่แสดงระดับการเปลี่ยนแปลงของ IL-6, ESR และ CRP ของผู้ป่วยที่ได้รับการผ่าตัดปลูกฟันข้อเข่าเพื่อในช่วงเวลาที่แตกต่างกัน

จากกรณีเปรียบเทียบด้วยรูปที่ 3 ด้าวต้องกว้าง (รูปที่ 1)

จะเห็นได้ว่าระดับ CRP และ IL-6 ในช่วง 1-3 วันหลังการผ่าตัด เพิ่มสูงมากกว่าค่าก่อนการผ่าตัด 2 และ 3 เท่า ตามลำดับ และมีระดับสูงสุดในช่วงอุบัติสูงสุด ได้เร็วกว่า ESR ซึ่งมีระดับสูงสุดในช่วงสัปดาห์ที่ 2 หลังการผ่าตัด หลังจากนั้นทั้ง ESR และ CRP จึงเริ่มลดลงใกล้เคียงกับค่าก่อนการผ่าตัด

จากการศึกษาที่ผ่านมาพบว่า IL-6 ส่วนมากจากเซลล์ macrophages, monocytes, fibroblasts และ T helper 2 lymphocytes เมื่อมีการแพลงเกิตซึ่งหลัง IL-6 จะไปกระตุ้นให้ตับเกิดการสร้าง CRP และ serum amyloid A protein ขณะเดียวกันการสร้างสารออกเสบอย่าง

เฉียบพลัน (acute inflammation) CRP ที่ถูกสร้างมาจากเซลล์ตับ (hepatocytes) ถูกควบคุมโดย proinflammatory cytokines ไฟล์ IL-6 และ IL-1 โดยมีหน้าที่ที่สำคัญในระบบภูมิคุ้มกันของ innate immune response หากจากนิรภัยที่อาจทำให้ลามาของเชื้อต่อเกิดขึ้น CRP จะไปกระตุ้นระบบคอมเพลเม้นต์ (complements) แต่เพิ่มกระบวนการ phagocytosis ซึ่งเป็นผลให้ระดับ IL-6 เพิ่มสูงขึ้นก่อน ซึ่งอาจเนื่องมาจากการผู้ป่วยส่วนใหญ่เป็นผู้สูงอายุ ดังนั้น อาจเดินทางอันส่วนมากมาจากการรักษา หลังจากนั้นผู้ป่วยที่มีการอักเสบของรากฟัน ๆ ของรากฟันที่สามารถทำให้ค่าพังค์ล่าสูงขึ้นได้ รวมทั้งขั้นที่ผู้ป่วยซึ่งไม่น้อยที่หากทำการผ่าตัดเข้าข้างที่เดือนไปแล้วข้อเข่าอักเสบซึ่งสามารถเกิดการลื่อนขึ้นได้อีก

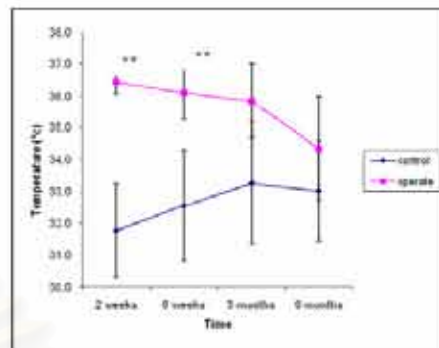
จากการศึกษาที่ดำเนินมาในปี พ.ศ. 2001 Laibo K. และคณะ ได้ทำการศึกษาการเพิ่มขึ้นของ CRP ในผู้ป่วย RA หลังจากการทำ TKA และ total hip arthroplasty (THA) จำนวน 37 รายเป็นเวลา 1 สัปดาห์ ถ้าหลังการผ่าตัด พบว่า CRP จะมีค่าสูงสุดในวันที่ 1 และ 2 ภายหลังการผ่าตัด โดยเพิ่มมากกว่าค่าก่อนการผ่าตัดประมาณ 7 เท่า หลังจากนั้นจะใช้เวลาประมาณ 1 สัปดาห์ CRP จะจะลดลง夷กับค่าก่อนการผ่าตัด ซึ่งใน การศึกษาครั้นนี้ไม่พบว่าผู้ป่วยมีการติดเชื้อแต่อาจได้ดังนั้นจึงเป็นปัจจัยที่พบว่ามีการเพิ่มขึ้นของ CRP ภายหลังการผ่าตัดในผู้ป่วย RA หลังจากการทำ TKA และ THA แต่ถือจะสาระออกฤทธิ์ได้เท่ากันกับค่าก่อนการผ่าตัดภายใน 1 สัปดาห์

ในปี พ.ศ. 2001 Bilgen O และคณะ ทำการศึกษาความเปลี่ยนแปลงของ CRP และ ESR ในผู้ป่วย primary osteoarthritis ที่ได้รับการผ่าตัดปลูกฟันซึ่งได้ศึกษาทั้งในกลุ่มเป็น TKA และ THA พบว่า ภายหลังการผ่าตัดทั้ง 2 กลุ่มนี้ที่ค่า CRP เพิ่มขึ้นอย่างรวดเร็วและจะสูงสุดในวันที่ 2 ภายหลังการผ่าตัด แต่ในผู้ป่วย THA จะเริ่มลดลง夷กับค่าก่อนการผ่าตัด ในวันที่ 21 และ TKA จะลดลงในเดือนที่ 2 ภายหลังการผ่าตัด ทั้ง ESR พบว่าทั้ง 2 กลุ่มนี้จะเพิ่มขึ้นสูงสุด ในวันที่ 5 ภายหลังการผ่าตัด สำหรับกลุ่ม THA พบว่า

ESR จะลดลงเมื่อหัวเข่ากลับก่อนได้รับการผ่าตัดในเดือนที่ 3 ภายในสิบวันหลังการผ่าตัด ส่วนในกลุ่ม TKA นั้นจะลดลงในเดือนที่ 9 กำหนดการผ่าตัด ตั้งแต่นั้นจะเห็นได้ว่า CRP มีเวลาต้นการเปลี่ยนแปลงที่ช้ากว่าเดือนต่อเดือนสูงค่าปักกิจได้ช้ากว่า ESR โดยที่ทั้งค่า CRP และ ESR ในผู้ป่วย TKA มีแนวโน้มสูงกว่า THA

ในปี พ.ศ. 2008 Park KK แนะนำหัวเข่าที่เกี่ยวพันกับ CRP และ ESR ในผู้ป่วย OA ที่ผ่านการผ่าตัด unilateral หรือ bilateral TKA ช่วงเวลาที่ใช้ในการศึกษาคือช่วงต้นการผ่าตัด หลังจากหัวเข่าที่ต้องผ่าตัด ในวันที่ 1, 2, 5, 7, 14, 42 และ 90 วัน โดยแบ่งกลุ่มผู้ป่วยออกเป็น 3 กลุ่ม คือ unilateral, first knee bilateral และ second knee bilateral พบว่าผู้ป่วยที่ 3 กลุ่มนี้รูปแบบของ CRP และ ESR ที่หัวเข่ากลับกันถือว่าคล้ายกัน CRP จะสูงขึ้นอย่างรวดเร็วไปด้วยสูงสุดในวันที่ 2 กำหนดการผ่าตัด ในวันที่ 42 กำหนดการผ่าตัดจะลดลงเหลือกว่าค่าปักกิจ และจะลดลงจนถึงค่าต่ำกว่าเดือนการผ่าตัดในวันที่ 90 ภายนหลังการผ่าตัด ส่วนค่าเฉลี่ยของ ESR นั้นจะขึ้นสูงสุดในวันที่ 5 กำหนดการผ่าตัดและลดลงจนถึงค่าต่ำกว่าเดือนการผ่าตัดในวันที่ 90 ภายนหลังการผ่าตัด แต่จากการศึกษาในครั้งนี้ที่ได้ให้พบว่ามีผู้ป่วยถึง 43% ที่ไม่เป็นไปตามรูปแบบดังกล่าวกว่าช่วงต้น

จากงานศึกษาของ Witz DC และคณะในปี พ.ศ. 2000 พบว่าผู้ป่วยที่ผ่านการผ่าตัด knee replacement (TKR) จะมีค่า IL-6 สูงที่สุดภายในหัวเข่าตั้งแต่ 12 ชั่วโมง และจะเริ่มลดลงหลังการผ่าตัด 24 ชั่วโมง ส่วน CRP จะขึ้นสูงสุดในวันที่ 2 หลังการผ่าตัด และเริ่มลดลงในวันที่ 3 และพบว่าในผู้ป่วยในกลุ่มนี้ ได้รับผลไม่ได้รับ non-steroidal anti-inflammatory drugs (NSAID) หน่วยไม่มีความแพ้ค่าต่ำกว่าค่าเฉลี่ยที่น้อยกว่าค่าปักกิจ ความเข้มข้นของ IL-6 นี้ ความเส้นทันท์กับระยะเวลาของการอักเสบโดยจะเพิ่มขึ้นเรื่อยๆ และลดลงได้เร็วกว่า CRP ซึ่งแสดงว่าการตรวจวัด IL-6 ในผู้ป่วยหลังผ่าตัด TKR สามารถคิดความการอักเสบได้ดีกว่าการตรวจวัด CRP.



รูปที่ 2: กราฟแสดงการเปลี่ยนแปลงของอุณหภูมิบริเวณเข่าทั้ง 2 ข้างของผู้ป่วยที่ได้รับการผ่าตัดเปลี่ยนหัวเข่าที่ 2 ช่วงเวลาที่แสดงค่าเฉลี่ยของอุณหภูมิที่ต้องเจ็บปวด (\*\* p < 0.001)

สำหรับอุณหภูมิบริเวณบริเวณเข่าทั้ง 2 พบว่าเข่าที่ 2 ที่ได้รับการผ่าตัดมีอุณหภูมิสูงขึ้นอย่างมีนัยสำคัญทางสถิติ ( $p < 0.001$ ) เมื่อเปรียบเทียบกับเข่าที่ไม่ได้รับการผ่าตัด (รูปที่ 2) และพบว่าความแตกต่างของอุณหภูมิบริเวณบริเวณเข่าทั้ง 2 เริ่มลดลงภายหลังสี่เดือนที่ 2 หลังการผ่าตัดและเข่าทั้ง 2 ข้างมีอุณหภูมิบริเวณเข่าที่ต้องเจ็บปวดในเดือนที่ 6 หลังได้รับการผ่าตัด และจะเห็นได้ว่าอุณหภูมิที่รักษาไว้ด้วยค่า SD นี้ค่อนข้างกว้างมาก อาจเกิดเนื่องมาจากการในผู้ป่วยแต่ละคนมีอุณหภูมิบริเวณเข่าที่ต้องเจ็บปวดต่างกันในแต่ละสภาวะแวดล้อมซึ่งเป็นผลให้อุณหภูมิบริเวณเข่าสามารถเปลี่ยนไปตามอุณหภูมิสภาวะแวดล้อมได้เช่นกัน ดังนั้นอุณหภูมิบริเวณบริเวณเข่าที่อาจสามารถช่วยในการประเมินภาวะการอักเสบได้เพียงเบื้องต้นเท่านั้น

จากงานศึกษาของ Melzer A และคณะ ในปี พ.ศ. 2005 ได้ทำการศึกษาความสัมพันธ์ของ CRP และอุณหภูมิบริเวณบริเวณเข่า โดยแยกกลุ่มผู้ป่วยที่เป็น OA และ RA พบว่าโดยผู้ป่วยกลุ่มนี้จะกลับมาตรวจที่คลินิกช้า จากการตรวจ พบว่าผู้ป่วยที่มีผลค่าปัจจัยระดับประเทศแทบทั้งหมด อุณหภูมิบริเวณเข่าที่ต้องได้รับการผ่าตัด และพบว่าผู้ป่วย TKA มีต่า อุณหภูมิบริเวณบริเวณเข่า สูงขึ้นในช่วงแรกหลังการผ่าตัดหลังจากนั้นจะลดลงสู่ปักกิจในสี่เดือนที่ 18 หลังการผ่าตัด

ส่วน CRP จะสูงขึ้นในสปคลาที่แรกหลังการผ่าตัด เช่นกัน แต่จะมีค่าลดลงไก้ล็อกเทิร์กับก่อนผ่าตัดใน สปคลาที่ 6 ซึ่งที่ 2 ปีจังดีมากกว่ามีการลดลงภายใน 12 สปคลาที่หลังการผ่าตัด ดังนั้น ค่า CRP และ อุณหภูมิ กัวหนันจะนิ่วเฉย เช่น เมื่อมีค่าสูงขึ้นสำหรับสหบันทุนให้ เรื่องว่ามีอาการแทรกซ้อนของการอักเสบจากการผ่าตัด เปลี่ยนข้อเท่าได้

จากการศึกษาหนึ่งของ Haidar SG และคณะ ในปี ค.ศ.2006 ที่ได้ทำการวัดอุณหภูมิที่กัวหนันบริเวณข้อเท่า พบว่า อุณหภูมิกัวหนันนั้นบริเวณเช่า ที่ทำการผ่าตัดจะสูงกว่าเมื่อทำการเบรียนเพื่อบันเข้าที่ไม่ได้รับการผ่าตัด โภคะมีความแพดก์มากกันยังถึงเกินที่ 6 หลังการผ่าตัด ซึ่งแสดงว่าการลดลงของ อุณหภูมิกัวหนันนั้นบริเวณเช่า บริเวณที่ได้รับการผ่าตัดจะดีกว่าเวลานานหลายเดือน กว่าจะลดลงเท่าเช่าเข้าไปปกติเต็ม แม้ว่าอุณหภูมิที่สูงอยู่ก็ไม่ได้พบว่ามีการติดเชื้อแต่อย่างใด

จากการวิจัยในครั้งนี้ได้ทำการตรวจหา IL-6 ใน ชิ้นไข่ของผู้ป่วยที่เข้ารับการผ่าตัดเปลี่ยนข้อเท่านั้น พบว่าระดับ IL-6 สรุปหากาขันหลังการผ่าตัด 1-3 วัน แสดงว่าไม่ใช่ systemic inflammation ที่มาจากการ local inflammation ของกลุ่มดังการผ่าตัดซึ่งจะตรวจสอบ ขึ้นด้านได้โดยการตรวจระดับ IL-6 ในน้ำไขข้อ (synovial fluid) แต่ด้วยเนื้อ恕จากการวิจัยในครั้งนี้มี ข้อจำกัดซึ่งไม่ได้เก็บน้ำไขข้อจากผู้ป่วยซึ่งไม่สามารถ แสดงให้เห็นถึงระดับ IL-6 ที่เปลี่ยนแปลงไปในช่วง ก่อนและหลังการผ่าตัดในน้ำไขข้อได้ แต่จากการวิจัย ของ Lisowska B และคณะ ในปี ค.ศ. 2007 ได้ ทำการศึกษาผู้ป่วย RA ที่ได้รับการผ่าตัดเปลี่ยนข้อเทียม โดยเบรียนเพื่อบันระดับ IL-6 และ IL-8 ใน serum และ drainage fluid ก่อนและหลังการผ่าตัด พบว่าระดับ IL-6 มีแนวโน้มสูงขึ้นทั้งใน serum และใน drainage fluid โดยจะสูงสุด 24 ชั่วโมงภายหลังการผ่าตัด ซึ่ง drainage fluid จะมีค่าสูงกว่าใน serum ทั่วระดับ IL-8 ใน drainage fluid จะเริ่มสูงขึ้นที่ 6 ชั่วโมง หลังการผ่าตัด แต่ใน serum ไม่มีการเปลี่ยนแปลง โดยที่ใน drainage fluid ระดับ IL-6 จะมีค่าสูงกว่า IL-8 อย่างมีนัยสำคัญที่

24 ชั่วโมงหลังการผ่าตัด ดังนั้น การวัดระดับไข้โดยไนท์ ใน drainage fluid จะบ่งบอกถึงการเกิด local inflammation จากการผ่าตัดได้ดีกว่าเมื่อบรีเยนเพียงแค่ใน serum เนื่องจากในผู้ป่วย RA จะมีการอักเสบเรื้อรัง ทำให้ระดับไข้ไนท์ในเลือดสูงก่อนที่จะได้รับการ ผ่าตัด จากการวิจัยนี้น้ำไขข้อและ drainage fluid น่าจะ ให้ผลใกล้เคียงกัน

เนื่องจากการวิจัยในครั้งนี้ผู้ทำการวิจัยที่ทำการ เปรียบเทียบ IL-6 กับตัวชี้วัดที่ใช้ในปัจจุบันคือ ESR และ CRP ซึ่งไม่ได้ทำการตรวจหาค่ามาตรฐานและ clinical outcome ดังนั้น ขอผู้ป่วย เช่น การตรวจนับเม็ด เหือดแบบสมบูรณ์ (Complete blood count) และ การศึกษาในอนามัยจะทำการตรวจนับเม็ดเหือดแบบ สมบูรณ์ รวมทั้งสารชีวเคมีของเลือดอื่น ๆ เพื่อวิเคราะห์ ความเสี่ยงที่เกี่ยวกับ IL-6 ESR CRP และ อุณหภูมิ กัวหนันบริเวณข้อเท่าต่อไป

#### สรุปผลการวิจัย

จากการวิจัยในครั้งนี้ได้ทำการผ่าตัดเปลี่ยนข้อเท่า เพื่อเป็นพนักงานระดับ IL-6 และ CRP สามารถนำมาใช้ในการประเมินภาวะการอักเสบภายในหลังการผ่าตัดเปลี่ยน ข้อเท่าเทียบได้ดีกว่า ESR เนื่องจากมีการเปลี่ยนแปลง ได้รวดเร็วท่า nondetectable อุณหภูมิกัวหนันบริเวณเช่า ซึ่งเป็นตัวชี้วัดสำหรับน้ำไข้จะประเมินภาวะการอักเสบได้ โดยตัวมีอุณหภูมิสูงขึ้นก็อาจบ่งชี้ว่ามีการอักเสบในบริเวณ ข้อเท่าแต่เมื่อจะตรวจว่าอุณหภูมิกัวหนันบริเวณเช่ามีการเปลี่ยนแปลงได้กันอุณหภูมิว่าจะคงและสกัดแผลดีขึ้น ซึ่งเป็นข้อจำกัดสำหรับการประเมินเมื่อต้องผ่าตัดนั้น

#### กิตติกรรมประกาศ

งานวิจัยนี้ได้รับการสนับสนุนจากทุนวิจัย วิชาการเกณฑ์สุนไหชน์ คอมมูเนที้ฟายคลาสต์ อุทาลจกรช์ นาวิทยาลัย คอมมูนิเคชั่นคุณภาพวิชาชีวเคมี และ ภาควิชาอุรือปีกิกส์ คอมมูเนที้ฟายคลาสต์ อุทาลจกรช์ นาวิทยาลัย หนองผู่ป่าเยาวราชสุนศรี 4, 5, 6 ประจำ 16 และ 17 รวมทั้ง ห้องปฏิบัติการ aerology I หน่วยกิตทุกหน่วยฯ ห้องปฏิบัติการ โลหิตวิทยา ฝ่ายเวชศาสตร์ชั้นสูง

ພ້ອມເຈດີບ ດັບຕະຫຼາມ  
ສະກາດຊາວໄທ

### ເອນດາວວິຊາວິຊາ

- Bilgen O, Atici T, Durak K, Karaemino G, Bilgen MS. 2001. C-reactive protein values and erythrocyte sedimentation rates after total hip and total knee arthroplasty. *J Int Med Res.* 29(1), 7-12.
- Di Cesare PE, Chang E, Preston CF, Liu CJ. 2005. Serum interleukin-6 as a marker of periprosthetic infection following total hip and knee arthroplasty. *J Bone Joint Surg Am.* 87(9), 1921-1927.
- Du Clos TW, Mold C. 2004. C-reactive protein: an activator of innate immunity and a modulator of adaptive immunity. *Immunol Rev.* 30, 261-277.
- Gabay C., Kushner I. 1999. Acute-phase proteins and other systemic response to inflammation. *N Engl J Med.* 340, 448-454.
- Haidar SG, Charity RM, Bassi RS, Nicoli P, Singh BK. 2006. Knee skin temperature following uncomplicated total knee replacement. *The Knee.* 13(6), 422-426.
- Kishimoto T. 1989. The biology of interleukin-6. *Blood.* 74, 1-10.
- Laiho K, Maenpaa H, H Kautiainen, Kauppi M, Kaarela K, Lehto M, Belt E. 2001. Rise in serum C reactive protein after hip and knee arthroplasties in patients with rheumatoid arthritis. *Ann Rheum Dis.* 60, 275-277.
- Larsson S, Thelander U, Friberg S. 1992. C-reactive protein (CRP) levels after elective orthopedic surgery. *Clin Orthop Relat Res.* 275, 237-242.

- Lisowska B, Maslinski W, Maldyk P, Zabek J, Baranowska E. 2007. The role of cytokine in inflammatory response after total knee arthroplasty in patients with rheumatoid arthritis. *Rheumatol Int.* 28(7), 667-71.
- Mehra A, Langkamer VG, Day A, Harris S, Spencer RF. 2005. C reactive protein and skin temperature post total knee replacement. *The Knee.* 12(4), 297-300.
- Moreschini O, Greggi G, Giordano MC, Nocente M, Margheritini F. 2001. Postoperative physiopathological analysis of inflammatory parameters in patients undergoing hip or knee arthroplasty. *Int J Tissue React.* 23, 151-154.

Mulvey TJ, Thronhill TS. 2001. Infected total knee arthroplasty. In: Insall JN, Scott WN, eds. *Surgery of the Knee.* Philadelphia, PA: Churchill Livingstone. 1875-1890.

Park KK, Kim TM, Chang CB, Yoon SW, Park KU. 2008. Normative Temporal Values of CRP and ESR in Unilateral and Staged Bilateral TKA. *Clin Orthop Relat Res.* 466, 179-188.

Swanson KC, Windsor RE. 2003. Diagnosis of infection after total knee arthroplasty. In: Callaghan JJ, Rosenberg AG, Rubash HE, Simonian PT, Wickiewicz TL. *The Adult Knee.* Philadelphia, PA: Lippincott Williams & Wilkins. 1485-1491.

Wirtz DC, Heller KD, Miltner O, Zilkens KW, Wolff JM. 2000. Interleukin-6: a potential inflammatory marker after total joint replacement. *Int Orthop.* 24, 194-196.

## **Association of IL-6 (-174) G/C Gene Polymorphism with Knee Osteoarthritis**

**Sittisak Honsawek,<sup>1,\*</sup> Aree Tanavalee<sup>1</sup>, Benjamad Deepaisarnsakul<sup>1</sup>, Manoon**

**Sakdinakiattikoon<sup>2</sup>, Pongsak Yuktanandana<sup>1</sup>, Vinai Parkpian<sup>1</sup>**

*<sup>1</sup>Faculty of Medicine, Chulalongkorn University, Bangkok 10330, Thailand*

*<sup>2</sup>Bangkok Metropolitan Administration General Hospital, Bangkok 10100, Thailand*

**Objectives:** Osteoarthritis is characterized by degeneration of cartilage. A single nucleotide polymorphism has been described at position -174 of IL-6 promoter region, leading to three possible genotypes, GG, GC, and CC. This polymorphism has been associated with incidence and/or prognosis of a variety of diseases including chronic inflammatory disorders. The purpose of this research was to study the association between IL-6 (-174) G/C polymorphism and susceptibility to and severity of knee osteoarthritis in a Thai population.

**Methods:** Genomic DNA was obtained from 44 patients with knee osteoarthritis and 100 ethnically matched healthy controls. Polymerase chain reaction-restriction fragment length analysis was used to identify G/C polymorphism at position -174 in the promoter region. Genotype distributions and allelic frequencies of IL-6 (-174) G/C polymorphism were compared between osteoarthritis patients and healthy controls. Thereafter, this association was investigated between patients and controls of the same sex. In addition, the standard Kellgren-Lawrence grading score were used to determine the radiological severity of the disease and their relationship with the IL-6 (-174) gene polymorphism was investigated.

**Results and conclusions:** Genotype distribution and allelic frequencies of (-174) G/C polymorphism in the IL-6 gene differed significantly between patients with knee osteoarthritis and controls ( $p<0.05$ ). The (-174) G/C polymorphism in the IL-6 gene may contribute to susceptibility to or severity of knee osteoarthritis in the Thai population. These findings support the notion that variations of genes encoding for cytokines, such as IL-6, could play a critical role in the series of events responsible for the pathogenesis of osteoarthritis.



Serum IL-6, C-reactive Protein, Erythrocyte Sedimentation Rate, and Knee Skin  
Temperature After Total Knee Arthroplasty

Sittisak Honsawek,<sup>1,\*</sup> Aree Tanavalee<sup>1</sup>, Benjamad Deepaisarnsakul<sup>1</sup>, Manoon  
Sakdinakiattikoon<sup>2</sup>, Srihatach Ngarmukos<sup>1</sup>, Pongsak Yuktanandana<sup>1</sup>

<sup>1</sup>*Faculty of Medicine, Chulalongkorn University, Bangkok 10330, Thailand*

<sup>2</sup>*Bangkok metropolitan Administration General Hospital, Bangkok 10100, Thailand*

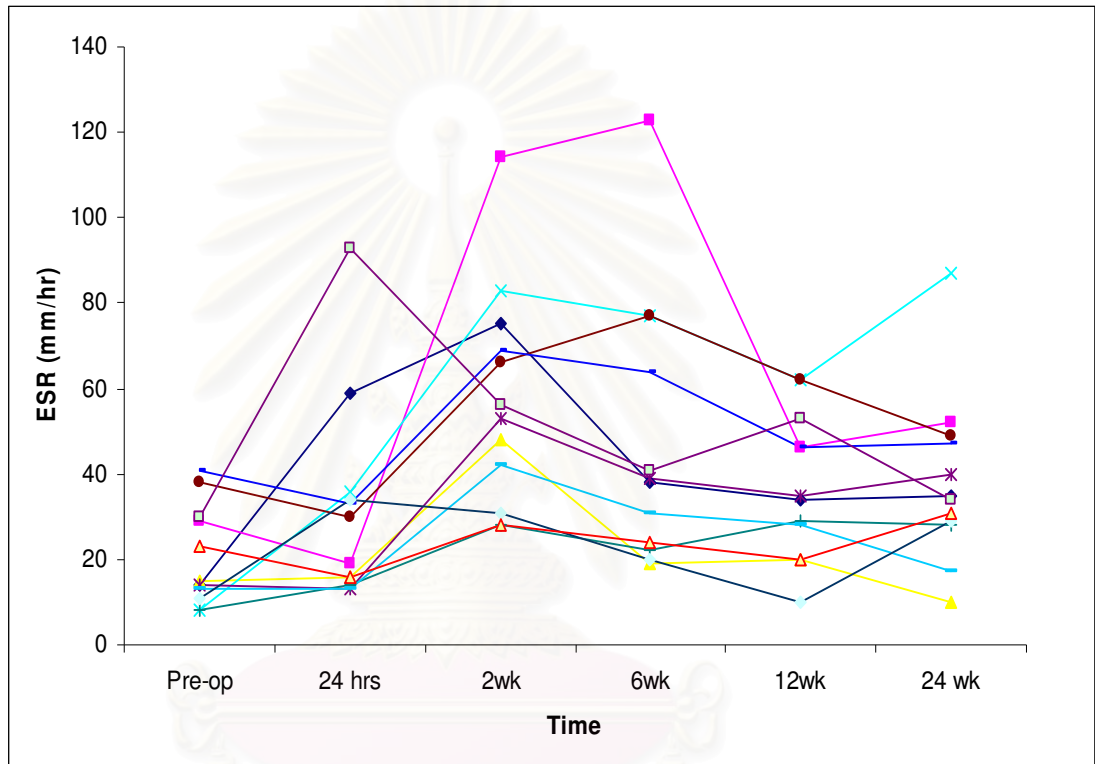
**Objectives:** Knee osteoarthritis is a common cause of severe pain and functional limitation. Total knee arthroplasty is an effective procedure to relieve pain, restore knee function, and improve quality of life for patients with end stage knee arthritis. The aim of this study was to investigate the inflammatory process in patients with severe osteoarthritis before surgery and in subsequent periods following total knee arthroplasty.

**Methods:** A prospective study of forty-nine patients undergoing primary total knee replacements was conducted. The patients were evaluated by monitoring serum interleukin-6 (IL-6), C-reactive protein (CRP), erythrocyte sedimentation rate (ESR), knee skin temperature, and clinical status. Measurements were carried out preoperatively and postoperatively at 2, 6, 12, and 24 weeks during follow up review in the knee clinic.

**Results and conclusions:** The serum IL-6 and CRP elevate in the first postoperative week but fall to pre-operative values at 2 weeks. Both remain within normal limits at 12 weeks. In addition, the ESR rises postoperatively and remains elevated up to 24 weeks. The difference in skin temperature between operated and contralateral knees had a mean value of +4.5 °C at 2 weeks. The mean value decreased to +3.5 °C at 6 weeks, +2.5 °C at 12 weeks, and +1.0 °C at 24 weeks. The difference in skin temperature decreases gradually but remains statistically significant up to 24 weeks after surgery. A sustained elevation in serum IL-6, CRP, ESR, and skin temperature must raise the concern of early complication.

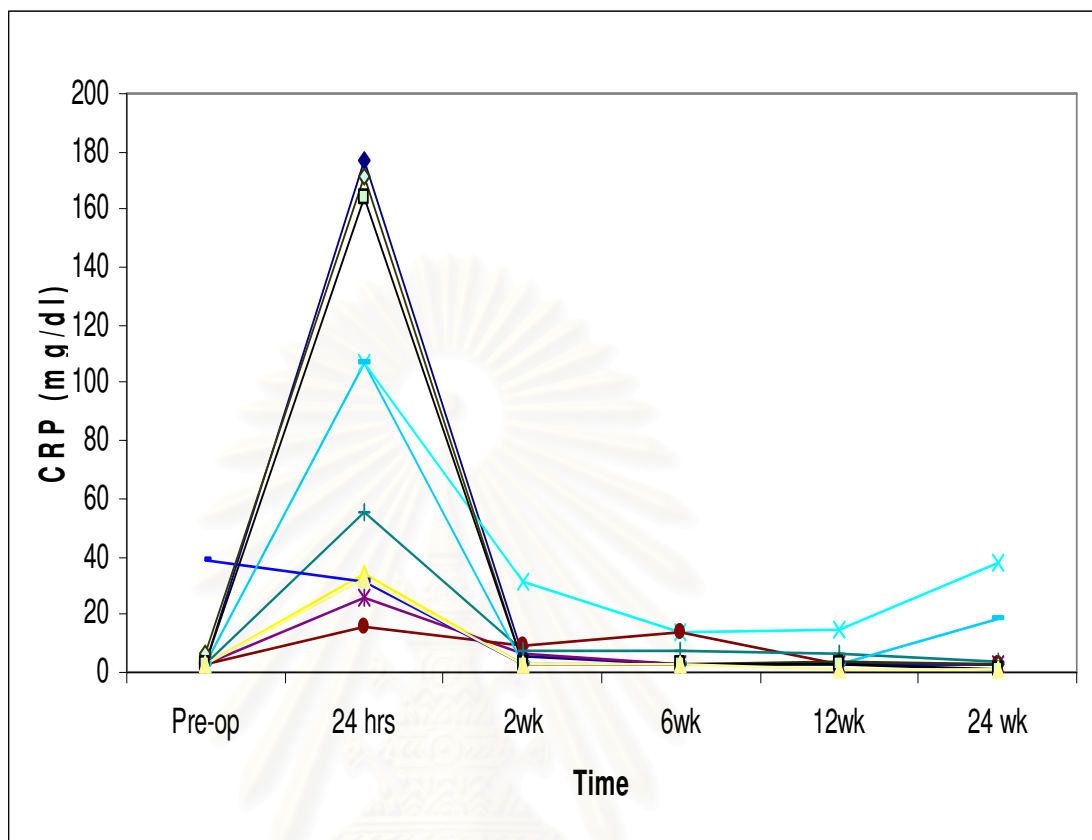
## ภาคผนวก จ

รูปแบบการเปลี่ยนแปลงของตัวชี้วัดต่าง ๆ ในผู้ป่วยแต่ละรายที่ได้รับการผ่าตัดเปลี่ยนข้อเข่าเทียม



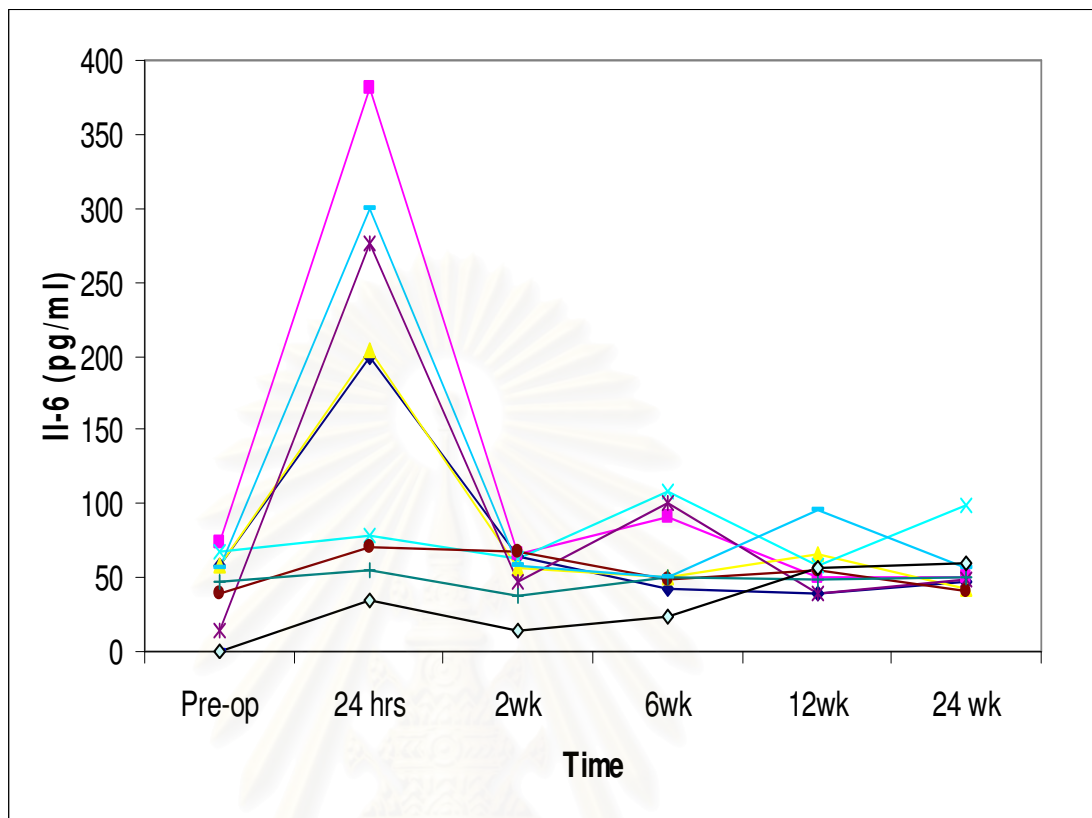
กราฟแสดงความเปลี่ยนแปลงของ ESR ในผู้ป่วยผ่าตัดเปลี่ยนข้อเข่าเทียม

สถาบันนวัตกรรม  
จุฬาลงกรณ์มหาวิทยาลัย



กราฟแสดงความเปลี่ยนแปลงของ CRP ในผู้ป่วยผ่าตัดเปลี่ยนข้อเข่าเทียม

สถาบันวิทยบริการ  
จุฬาลงกรณ์มหาวิทยาลัย



กราฟแสดงความเปลี่ยนแปลงของ IL-6 ในผู้ป่วยผ่าตัดเปลี่ยนข้อเข่าเทียม

สถาบันวิทยบริการ  
จุฬาลงกรณ์มหาวิทยาลัย

## ประวัติผู้เขียนวิทยานิพนธ์

ชื่อ – นามสกุล	นางสาวเบญจมาศ ดีเพศาดาสกุล
วัน เดือน ปีเกิด	3 มกราคม พ.ศ. 2523
สถานที่เกิด	โรงพยาบาลจุฬาลงกรณ์ สภากาชาดไทย กรุงเทพ
ประวัติการศึกษา	วิทยาศาสตรบัณฑิต (เทคนิคการแพทย์) มหาวิทยาลัยธรรมศาสตร์
การนำเสนอผลงาน	จัดทำบทความวิจัยและโปสเตอร์จากบางส่วนของวิทยานิพนธ์ เพื่อตีพิมพ์และนำเสนอผลงานวิจัยในการประชุมเสนอผลงานวิจัยระดับบัณฑิตศึกษาแห่งชาติ ครั้งที่ 12 ณ มหาวิทยาลัยขอนแก่น

สถาบันวิทยบริการ  
จุฬาลงกรณ์มหาวิทยาลัย